

ТИПОВЫЕ МАТЕРИАЛЫ ДЛЯ ПРОЕКТИРОВАНИЯ

903-01-258.87

РЕКОМЕНДАЦИИ ДЛЯ ПРОЕКТИРОВАНИЯ
КОТЕЛЬНЫХ И ПРОМЫШЛЕННЫХ ТЭЦ С ПРИМЕНЕНИЕМ
КТАНОВ-УТИЛИЗАТОРОВ

АЛЬБОМ I

Разработаны
проектным институтом
"Латгипропром"

Материалы утверждены
Госстроем Латвийской ССР.
Приказ от 22.01.88 № II

Главный инженер института

Золин, В.Озяров

Главный инженер проекта

Карн, Н.Кириллова

© ЦИТП Госстрой СССР, 1988

22967-01 2

СОДЕРЖАНИЕ

	Стр.
1. Введение	6
2. Описание конструкции и работы КТАНа	8
3. Описание типоряда КТАНов-утилизаторов	14
3.1. Номенклатура типового ряда КТАНов-утилизаторов и рекомендации по комплектации КТАНами котлов	15
3.2. Конструктивные решения типового ряда КТАНов-утилизаторов	20
3.2.1. Активная насадка	20
3.2.2. Орошающая камера	23
3.2.3. Сепарационное устройство	24
4. Рекомендации по установке КТАНов в котельных	42
4.1. Общие принципы проектирования	43
4.2. Определение потребителей теплоты КТАНов в котельных	45
4.3. Методика поверочного теплового расчёта КТАНов-утилизаторов	61
4.3.1. Исходные данные для поверочного теплового расчёта	61
4.3.2. Расчёт параметров дымовых газов на входе в КТАН	62
4.3.3. Теплобалансовый расчёт	64
4.3.4. Расчёт поверхности теплообмена	69
4.3.5. Поверочный тепловой расчёт КТАНов на ЭВМ	83

	Стр.
4.4. Аэродинамический расчёт газового тракта котлоагрегатов при установке КТАНов:	85
4.4.1. Методика аэродинамического расчёта	85
4.4.2. Методика расчёта аэродинамического сопротивления КТАНов	90
4.4.3. Пример расчёта аэродинамического сопротивления КТАНа - 4,5УГ	94
4.5. Рекомендации по проектированию контура орошающей воды:	96
4.5.1. Условия циркуляции орошающей воды	96
4.5.2. Выбор бака орошающей воды	102
4.6. Методика гидравлического расчёта блока насадки КТАНов из типоряда	104
4.7. Работа КТАНов-утилизаторов в газо-мазутных котельных	106
4.8. Установка взрывных клапанов, лестниц и площадок для обслуживания	110
5. Работа дымовых труб котельных при установке КТАНов-утилизаторов:	III
5.1. Характеристика проблемы	II2
5.2. Способы предотвращения конденсации влаги из дымовых газов на внутренних поверхностях газоходов и дымовых труб	II2
5.3. Методика определения условий возникновения конденсации в дымовой трубе	II4

5.4. Типовые условия работы КТАНов в котельных и возможность работы при этом дымовых труб в режимах без конденсации влаги	I19
5.5. Режимы работы котлов с КТАНами в разрезе года	I20
5.6. Выводы	I24
6. Рекомендации по определению экономической эффективности при установке КТАНов:	I26
6.1. Общие принципы определения экономической эффективности	I27
6.2. Определение капитальных вложений и годовых эксплуатационных расходов по варианту с использованием ВЭР:	I29
6.2.1. Определение капитальных вложений	I29
6.2.2. Определение годовых эксплуатационных расходов	I30
6.3. Определение приведенных затрат по базисному варианту	I31
6.4. Определение хозрасчётного экономического эффекта	I33
7. Примеры выполнения поверочного теплового расчёта	I34
8. Пример аэродинамического расчёта газового тракта котла с КТАНом	I46

	Стр.
9. Пример расчета экономической эффективности при установке КТАНа	164
9.1. Определение годового количества утилизированной теплоты и топлива	165
9.2. Определение дополнительного расхода электроэнергии	166
9.3. Определение экономической эффективности	167
9.3.1. Определение капитальных вложений	167
9.3.2. Определение годовых эксплуатационных расходов и приведенных затрат	168
9.3.3. Определение экономического эффекта	169
10. Изменение выходных параметров теплоносителей при изменении входных параметров теплоносителей в КТАНе-утилизаторе	170
II. Литература	179
Приложение I. Каплеулавливание в КТАНах	182

I. ВВЕДЕНИЕ

Отопительные и производственно-отопительные котельные и промышленные ТЭЦ, работающие на природном газе, теряют с уходящими продуктами сгорания топлива значительное количество теплоты. В атмосферу даже в лучших котельных с дымовыми газами выбрасываются не менее 13-18% теплоты, в том числе за счет скрытой теплоты водяных паров, содержащихся в газах, порядка 10-13%. Снижение этих потерь посредством установки утилизационных рекуперативных теплообменников весьма затруднительно и экономически не оправдано из-за больших габаритов, металлоёмкости и высокой стоимости этого оборудования.

Проблему более эффективного использования теплоты уходящих дымовых газов газифицированных котельных и промышленных ТЭЦ, существенного снижения потери теплоты с уходящими газами и соответствующего снижения расхода природного газа можно решить путём установки в котельных контактных аппаратов.

При охлаждении дымовых газов в контактных аппаратах экономия теплоты образуется как за счёт снижения температуры дымовых газов, так и за счёт теплоты конденсации водяных паров, содержащихся в дымовых газах. При сжигании жидкого или твердого топлива, содержащего сернистые соединения, необходимо учитывать, что охлаждение дымовых газов ниже точки росы приводит к конденсации паров серной кислоты. Поэтому при утилизации теплоты отходящих дымовых газов при сжигании этих видов топлива одновременно приходится решать вопросы борьбы с коррозией и проблемы, связанные с нейтрализацией и удалением образующихся кислых стоков. Решение этих проблем находится только в стадии исследований, поэтому

ГИП	Кириллов	Кириллов		903-01-258.87
Нач.отпд	Попов	Попов		
Н.конт	Шнитко	Шнитко		
Глспец	Ляшчин	Ляшчин		
Рук.гр	Меерзон	Меерзон		
Стинк.	Черников	Черников		
				Рекомендации для проектирования котельных и промышленных ТЭЦ с применением КТАМов-utiлизаторов
				Стадия Пист Пист
				1
				ЛАТГИПРОПРО
Копировано				22967-01 7 Формат А4

широкое внедрение контактных аппаратов для утилизации теплоты дымовых газов котельных рекомендуется в настоящее время только для газифицированных котельных.

Институтом "Латгипропром" совместно с Рижским политехническим институтом (РПИ) разработан новый тип контактных аппаратов - КТАНов (контактный теплообменник с активной насадкой).

КТАНы предназначаются для нагрева воды для различных нужд в температурном диапазоне от 5 до 50°C. КТАНы могут быть установлены в любой котельной, работающей на природном газе.

Применение КТАНов в газифицированных котельных позволяет повысить эффективность использования природного газа до 12% в зависимости от наличия потребителей горячей воды с температурой до 50°C.

С 1987 года Ленинабадским заводом газоаппаратуры ВНИПО "Союзпромгаз" начато серийное производство КТАНов-утилизаторов.

Первым серийно выпускаемым КТАНом является КТАН-0,8УГ.

До освоения серийного выпуска КТАНов других типоразмеров они могут быть изготовлены как нестандартизированное оборудование по рабочей документации, выполненной институтом "Латгипропром" Госстроя Латвийской ССР, представленной в серии 5.903-9 "Теплообменники контактные КТАН" выпуск 0, I...IO.

Институтом "Латгипропром" разработаны типовые проектные решения по утилизации теплоты дымовых газов в котельных с котлами КВ-ГМ и ДЕ, серийно выпускаемыми промышленностью, "Установка контактных теплообменников для утилизации теплоты дымовых газов (типа КТАН) в котельных с котлами КВ-ГМ и ДЕ" ТПР 903-1-0255.1.87..., ТПР 903-1-0255.9.87; ТПР 903-1-0256.1-87; 903-1-0256.2.87; ТПР 903-1-0257-87.

903-01-258.87

Лист
2

2. ОПИСАНИЕ КОНСТРУКЦИИ И РАБОТЫ
КТАНа

903-01-258.87

Лист

3

Контактный теплообменник с активной насадкой является аппаратом рекуперативно-смесительного типа. Он предназначен для утилизации теплоты дымовых газов.

КТАН состоит из корпуса, изготавливаемого из листовой стали, орошающей камеры, активной насадки, выполненной в виде пучка труб, с циркулирующим в них теплоносителем, и сепарационного устройства (рис.2.1).

В КТАНе организуются два независимых друг от друга потока воды: чистой воды, подогреваемой через поверхность активной насадки, и воды, которая нагревается в результате непосредственного контакта с уходящими дымовыми газами. Чистый поток воды протекает внутри трубок и отделен стенками трубок от загрязненной орошающей воды.

Через систему орошения, представляющую собой блок форсунок, распыливается орошающая вода. В результате непосредственного контакта с уходящими дымовыми газами, проходящими через орошающую камеру, вода нагревается. Поток орошающей воды используется для интенсификации передачи теплоты от дымовых газов чистому потоку воды, который протекает внутри трубок активной насадки.

Пучок трубок выполняет функцию насадки, предназначеннной для создания развитой поверхности контакта орошающей воды и дымовых газов. Одновременно такая поверхность, внутри которой циркулирует вода, участвует в теплообмене и в этом отношении является активной по сравнению с традиционными насадками (из колец Рашига, например).

Наружная поверхность активной насадки в КТАНе омывается дымовыми газами и орошается водой, что интенсифицирует теплообмен в насадке.

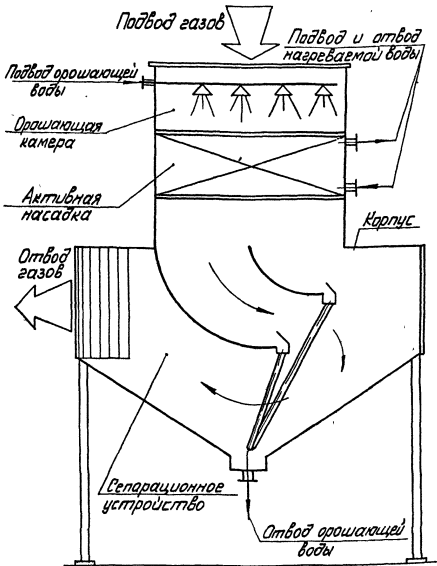


Рис. 2.1 Принципиальная схема КТАНа-утилизатора

903-01-258.87

лист
5

Копировано изображения 22987-01-11 формата А4

Теплота дымовых газов в КТАНе передается воде, протекающей в активной насадке, двумя путями: за счёт непосредственной передачи теплоты дымовых газов и орошающей воды и за счёт конденсации водяных паров, содержащихся в дымовых газах, на поверхности насадки.

При организации такого процесса тепломассообмена в КТАНе качество нагреваемой воды не зависит от состава дымовых газов.

Температура воды на выходе из насадки ограничивается температурой мокрого термометра дымовых газов. При сжигании природного газа с коэффициентом избытка воздуха $1,0 + 1,5$ температура мокрого термометра дымовых газов составляет $55 + 65^{\circ}\text{C}$. Поэтому температура воды на выходе из активной насадки обычно не превышает 50°C .

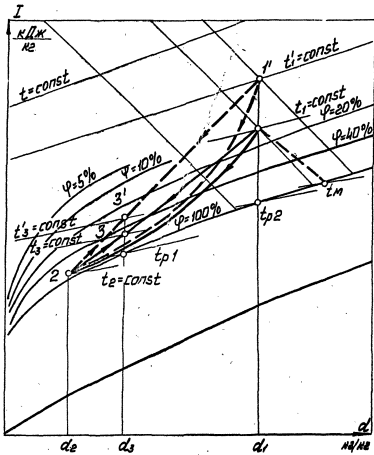
Дымовые газы, пройдя насадку, поступают в сепарационное устройство, в котором происходит отделение капель воды от дымовых газов. Из КТАНа дымовые газы выходят с относительной влажностью $95 + 100\%$, что не исключает возможность конденсации водяных паров из дымовых газов в газоотводящем тракте после КТАНа. Для устранения возможности конденсации влаги необходимо производить подсушку дымовых газов путём перепуска $10 + 15$ (или более) процентов дымовых газов помимо КТАНа и дальнейшего смешения их с дымовыми газами, охлажденными в КТАНе. Процесс охлаждения дымовых газов с разными начальными параметрами в КТАНе и процесс их дальнейшей подсушки изображены на рис.2.2.

В результате подсушки происходит уменьшение относительной влажности дымовых газов. Это позволяет допускать некоторое охлаждение дымовых газов в газоходах после КТАНа и в дымовой трубе без опасности конденсации водяных паров на их поверхностях.

903-01-258.87

Лист
6

Формат А4 22967-01 12



1-2; 1'-2' - процессы охлаждения в КТАНе,
2-3; 2'-3' - процессы подсушки дымовых газов

Рис. 2.2 Процессы охлаждения газов в КТАНе
в I-d диаграмме

903-01-258.87

Лист
7

Копировано 09:49 22.07.13 формат А4

Для бесперебойной подачи орошающей воды в контур системы орошения КТАНа включаются бак и насос. Орошающая вода собирается в нижней части КТАНа и самотёком стекает в бак. Из бака орошающая вода насосом подаётся к форсункам системы орошения.

903-01-258.87

Пист
8

Формат А4 22957-01 14

3. ОПИСАНИЕ ТИПОРЯДА КТАНОВ-УТИЛИЗАТОРОВ

Копировано

903-01-258.87

Лист

9

22967-01 15 Формат А4

3.1. Номенклатура типового ряда КТАНов-утилизаторов и рекомендации по комплектации КТАНами котлов

Типовой ряд КТАНов-утилизаторов теплоты дымовых газов разработан для котлов, работающих на природном газе.

Для котлов, теплопроизводительность которых лежит в интервале $0,23 + 116,3$ МВт ($0,2 + 100$ Гкал/ч), разработано десять типоразмеров КТАНов-утилизаторов. Основные технические характеристики КТАНов-утилизаторов приведены в таблице 3.1.

Расшифровка условного обозначения КТАНа на примере КТАНа-0,8УГ:

- КТАН - контактный теплообменник с активной насадкой;
- 0,8 - номинальная теплопроизводительность КТАНа в МВт;
- УГ - утилизатор газовый (т.е. устанавливаемый за котлами, сжигающими природный газ).

Для каждого КТАНа в таблице приведен диапазон возможных теплопроизводительностей, которые зависят от величины расхода и температуры направляемых в КТАН дымовых газов. Номинальные теплопроизводительности КТАНов-утилизаторов являются оптимальными для соответствующих типов котлоагрегатов. Номинальный расход нагреваемой воды в таблице 3.1 приведен для номинальной теплопроизводительности КТАНа при условии нагрева воды с 5°C до 50°C .

В таблице 3.1 указаны марки котлоагрегатов, за которыми рекомендуется устанавливать КТАНы-утилизаторы соответствующей теплопроизводительности при условии обеспечения их полной загрузки при работе котла на номинальную производительность. В том случае, если котел постоянно работает с пониженной теплопроизводительностью,

903-01-258.87	Пист
	10

рекомендуется требуемую теплопроизводительность КТАНа для выборе из типоряда принимать в размере 10% от фактической теплопроизводительности котла.

Точное значение теплопроизводительности КТАНа определяется при выполнении поверочного теплового расчёта.

Ниже в разделе 4.2 будет показано, что требуемая теплопроизводительность КТАНа определяется наличием потребителей воды, нагретой до температуры 50°C. Поэтому, когда нет возможности загрузить КТАН даже с учётом сторонних потребителей, для его выбора следует руководствоваться выводами раздела 4.2. Рекомендации по выбору КТАНов, основанные на этих выводах, приведены в таблице 3.2.

903-01-258.87

Пист

II

Таблица 3.1

Основные технические характеристики типового ряда КТАнов-утилизаторов и типы котлоагрегатов, соответствующие номинальной теплопроизводительности КТАнов

Типы котлоагрегатов		E-0,2/9Т; E-0,4/9Т; "Факел-0,63ТМ"	E-1-9Т-1; МЭК-7АГ-1; Браток-1; "Чекан-1"	E-2-5-0,9ТМ; E-2,5-13; РУ-1-6-1,4ТМ ДР-1-14ТМ	KB-TM-4; ДКАВР-4-13; ДР-6-5-14ТМ	KB-TM-6,5; ДКАВР-6,5- 13; ДР-10-14ТМ	KB-TM-10; ДКАВР-10- 13; ДР-16-14ТМ	E-35-40ТМ; KB-TM-20, ДКАВР-20-13; ДР-25-14ТМ	KB-TM-50; ДКАВР-30; ДР-50-14-40-ТМ	KB-TM-50; ДКАВР-40- 14-75-14-40- 14-100-14-24	KB-TM-100; ДКАВР-100; E-160-4
I	II	2	3	4	5	6	7	8	9	10	II
Марка	КТАН-0,05УТ; КТАН-0,25УТ	КТАН-0,5УТ	КТАН-0,6УТ	КТАН-1,5УТ	КТАН-2,3УТ	КТАН-4,5УТ	КТАН-6,7УТ	КТАН-10,5УТ	КТАН-14УТ	КТАН-17УТ	
Теплопроизводительность, МВт	0,006+0,01+ 0,6	0,01+ 0,1	0,03+ 0,3	0,06+ 0,6	0,1+ 1,0	0,2+ 1,7	0,3+ 3,0	0,5+ 6,0	0,7+ 7,0	1,4+	
Расход нагреваемой воды, $\frac{т}{ч}$ (номинальный)	1,0	2,0	4,9	9,6	15,5	28,8	44,0	85,5	115	231	
Температура нагреваемой воды:						5+20					
на входе											
на выходе							45+50				

Таблица 3.2

**Рекомендации по комплектации КТАНами котлов для различных
условий работы котельных**

Условия работы котельной	Марка котлов							
	2	3	4	5	6	7	8	9
I	E-2-5-0,9ИМ; PK-1-6; ДКВР-2-5-13; ДЕ-4-14ИМ	КВ-ТМ-4; ДКВР-4-13; ДЕ-6,5-14ИМ	КВ-ТМ-6,5; ДКВР-6-5-13; ДЕ-10-14ИМ	КВ-ТМ-10; ДКВР-10-13; ДЕ-16-14ИМ	E-25-40ИМ; КВ-ТМ-20-13; ДЕ-25-14ИМ	КВ-ТМ-30; ДКВР-35-13; E-50-14/40ИМ	КВ-ТМ-50; ДКВР-30-13; E-65-14/40ИМ;	КВ-ТМ-100; ДКВР-100; E-150-24
Водогрейные или пароводогрейные котельные в открытой системе тепло- снабжения или с централизованным горячим водоснабжением из котельной при Q пар $\leq 2,5$. Q вод паровые котельные с возвратом конденсата менее $20 + 25\%$	КТАН- -0,25УГ	КТАН- -0,5УГ	КТАН- -0,8УГ	КТАН- -1,5УГ	КТАН- -2,3УЗ	КТАН- -4,5УГ	КТАН- -6УГ	КТАН- -12УТ

903-01-258-87

14

Печ.

Продолжение таблицы 3.2

I	2	3	4	5	6	7	8	9
Водогрейные или паро-водогрейные котельные в закрытой системе теплоснабжения, в открытой системе теплоснабжения или с централизованным горячим водоснабжением из котельной при <u>Q пар</u> > 2,5, <u>Q вод</u> паровые котельные с возвратом конденсата больше 25%.								

3.2. Конструктивные решения типового ряда КТАнов-утилизаторов

Конструкция КТАнов-утилизаторов состоит из трёх основных узлов:

- орошающей камеры;
- активной насадки;
- сепарационного устройства.

Вход дымовых газов в КТАН осуществляется через орошающую камеру, в которой с помощью форсунок производится распыливание орошающей воды в дымовые газы. Затем дымовые газы поступают в активную насадку, представляющую собой один или несколько пакетов трубок, в которой происходит охлаждение газов и нагрев одного или нескольких потоков воды, протекающих внутри трубок. Отделение капельной влаги от дымовых газов и отвод их из КТАНа производится через сепарационное устройство.

Габаритные размеры КТАнов, а также их конструктивные и эксплуатационные характеристики представлены в таблице 3.3 и на рисунках 3.1 + 3.10.

3.2.1. Активная насадка

При конструировании типового ряда КТАнов ставилась задача максимальной унификации отдельных узлов различных аппаратов с целью упрощения изготовления КТАнов в заводских условиях. В соответствии с этим положением принят принцип разбивки конструкции на блоки, при этом отдельные блоки могут использовать для составления конструкций КТАнов различных типоразмеров.

903-01-258.87

Лист

15

Для активных насадок разработано 5 блоков. Два блока из этого количества являются индивидуальными конструкциями для КТАНа-0,5УГ и КТАНа-0,1УГ. Блоки активной насадки КТАНа-0,25УГ и КТАНа-0,8УГ позволяют образовать необходимую поверхность нагрева для упомянутых КТАНов, а также путём их удвоения составляется поверхность нагрева для КТАНа-0,5УГ и КТАНа-1,5УГ соответственно.

Начиная с теплопроизводительности 2,3 МВт и выше, активные насадки КТАНов состоят из базисного блока, имеющего следующие параметры:

- ширина - 582 мм;
- высота - 576 мм;
- длина - 2380 мм;
- число трубок - 100 шт.;
- диаметр и толщина стенок трубок - 32 x 2 мм;
- поверхность нагрева - 22,6 м².

Блок активной насадки представляет собой трубный пучок с шахматным расположением труб. Крепление труб к трубной доске выполняется на сварке. Для изменения движения нагреваемой воды при прохождении через насадку с внешней стороны к трубной доске привариваются коллекторы.

Активная насадка является одноходовой со стороны дымовых газов и многоходовой со стороны нагреваемой воды. Количество ходов по нагреваемой воде в одном блоке в зависимости от его величины колеблется от 10 до 22.

Принцип конструирования активной насадки основан на результатах анализа возможных потребителей воды, нагретой в КТАНах.

903-01-258.87	Лист 16
---------------	------------

Как показал анализ, в КТАНе в основном нагреваются потоки воды с двумя качественными характеристиками — исходная вода и химочищенная вода.

По требованиям водоподготовительного цикла подогрев исходной воды перед водоподготовительной установкой производится до 20⁰С. Поэтому активная насадка КТАНе составляется из двух частей по высоте. В нижней части насадки осуществляется подогрев исходной воды от 5 до 20⁰С, а в верхней части подогрев химочищенной воды — с 20⁰ до 50⁰С.

Для КТАНов с теплопроизводительностью с 0,10 МВт до 2,3 МВт активная насадка состоит из одного или двух блоков. Поверхность нагрева этих блоков разбита на две части. Нижняя часть блока рассчитана на подогрев исходной воды, а верхняя часть — для подогрева химочищенной воды.

Поверхность нагрева верхней части блока относится к поверхности нагрева нижней части как 5 к 3.

В КТАНе-0,5УГ ввиду его небольшой теплопроизводительности и габаритов активная насадка выполняется одним блоком без разбивки поверхности нагрева на нижнюю и верхнюю часть.

Для КТАНов теплопроизводительностью 2,3 МВт и выше в целях унификации модульные блоки располагаются в два ряда по высоте.

Таким образом, предусматривается возможность подачи в нижние блоки исходной воды, а в верхние — химочищенной воды.

Количество блоков по ширине КТАНе (в горизонтальном ряду) зависит от теплопроизводительности и составляет:

- для КТАНе-2,3УГ — 2 шт.;
- для КТАНе-4,5УГ — 3 шт.;

	Пист 903-01-258.87 22967-01 23 Формат А4
Копировал	

- для КТАНа-БУГ - 4 шт.;
- для КТАНа-ДУГ - 8 шт.

3.2.2. Орошающая камера

Размеры орошающей камеры в плане совпадают с размерами активной насадки. Внутри камеры расположены водяные коллекторы с форсунками.

Для возможности контроля качества распыла и работоспособности форсунок в стенки камеры встроены иллюминаторы.

Принцип конструирования орошающей камеры аналогичен принципу конструирования активной насадки и является блочным. Количество блоков и принцип их соединения такие же, как для блоков активной насадки.

Для блока системы орошения применяются угловые с тангенциальным входом воды форсунки типа У-І.

Данные форсунки при диаметре выходного отверстия $d = 6 \text{ мм}$ в зависимости от давления воды дают среднее или грубое распыление воды.

На рисунке 3.II показана характеристика форсунки У-І с $d = 6 \text{ мм}$.

Расход орошающей воды $G_{\text{ор}}$ для КТАНа определен по эмпирической формуле, полученной РНИИ:

$$G_{\text{ор}} = 1.7 + 2.2 \cdot S_{bx} \quad \text{кг/с,}$$

где:

S_{bx} — площадь входного сечения КТАНа, м².

Количество необходимых для КТАНа форсунок определено по следующей формуле:

$$n = \frac{G_{ap}}{q} \quad \text{шт.}$$

где q — расход воды через одну форсунку, кг/с (определен по рис. З.ИІ в зависимости от давления воды перед форсункой).

3.2.3. Сепарационное устройство

В КТАНах для отделения капельной влаги от дымовых газов использован двухступенчатый сепаратор. Испытания первых образцов КТАНов показали, что одноступенчатый сепаратор не обеспечивает требуемую эффективность работы по двум причинам:

- начальное влагосодержание газового потока превышает допустимое значение, необходимое для эффективной работы сепаратора;
- диаметр капель, поступающих в каплеуловитель, изменяется в большом диапазоне, то есть имеется достаточно большое количество капель, диаметр которых меньше допустимого для данного сепаратора.

Для устранения этих недостатков в окончательном варианте для КТАНа принят двухступенчатый сепаратор.

В качестве I ступени используется коленный сепаратор. В коленном сепараторе капельная влага из газа сепарируется под действием центробежных сил и, двигаясь по вогнутым поверхностям лопаток, стекает в лотки, откуда отводится в сливной патрубок.

В качестве II ступени применен вертикальный жалюзийный сепаратор, в котором применен инерционный способ каплеулавливания.

Лист

19

903-1-01-258.87

Сепаратор представляет собой изогнутые жалозийные каналы с углом раскрытия 120° . При изменении направления движения газового потока с помощью жалози капли под воздействием инерционной силы стремятся двигаться в прежнем направлении, что позволяет в дальнейшем выделить их из газового потока.

Расчёты показали, что для капель с d_k больше или равным 50 мкм эффективность каплеулавливания $\approx 100\%$.

Подробнее вопрос каплеулавливания изложен в приложении I.

903-01-258.87

Пист:
20

Таблица 3.3

Технические характеристики КТАНов - утилизаторов

Наимено- вание величин	Теплопро- изводитель- ность КТАНа	Годы использования	Температура нагреваемых воды		Температура выходящих газов		Расход процесси- онной воды	Расход нагрева- ющей воды	Габаритные размеры КТАНа		Удвоенное текущее потоки	Соотноше- ние потоков	Макси- мальная температура входящей воды	Мини- мальная температура входящей воды	Макси- мальная температура входящей воды	Мини- мальная температура входящей воды	Макси- мальная температура входящей воды	Мини- мальная температура входящей воды		
			по бре- зен- ку из КТАН	по бре- зен- ку из КТАН	по бре- зен- ку из КТАН	по бре- зен- ку из КТАН			по бре- зен- ку из КТАН	по бре- зен- ку из КТАН										
Обозначение	Дкт	V _r	t _b '	t _b	t _r '	t _r	Бор	Б _r	L	A	H	S _B [*]	S _r [*]	F	P _b	P _r	P _b	M		
Размерность	МВт	м ³ /ч	°К	°C	°C	°C	м ³ /ч	м ³ /ч	м	м	м	м ²	м ²	м ³	Па	МПа	кг			
КТАН-12У	12,0	10,32	35,9	5	50	140	40	13,8	57,7	64,2	231	3,785	5,792	5,520	4,9310 ³	4,61	382,0	675	0,026	12535
КТАН-6У	6,0	5,16	17,96	5	50	140	40	9,4	33,8	32,1	115	3,785	3,478	5,520	2,6610 ³	2,30	181,0	667	0,025	6675
КТАН-45У	4,5	3,87	13,44	5	50	140	40	6,7	24,1	23,9	85,5	3,785	2,409	5,240	1,8810 ³	1,73	135,8	689	0,024	4980
КТАН-2,3У	2,3	1,98	8,88	5	50	140	40	4,5	16,2	12,3	44,0	3,785	1,824	4,740	1,3410 ³	1,15	90,5	448	0,013	3235
КТАН-1,5У	1,5	1,29	4,50	5	50	140	40	3,5	12,6	8,0	28,8	2,662	1,750	4,153	1,1110 ³	0,78	624	493	0,019	2556
КТАН-0,8У	0,8	0,68	2,20	5	50	160	40	1,75	6,3	4,3	15,5	2,570	0,994	4,113	0,5510 ³	0,39	31,2	454	0,010	1458
КТАН-0,5У	0,5	0,43	1,38	5	50	160	40	1,2	4,3	2,7	9,6	1,704	1,344	3,300	0,3110 ³	0,35	25,0	286	0,018	1141
КТАН-0,25У	0,25	0,21	0,69	5	50	160	40	0,6	2,15	1,35	4,9	1,305	1,344	2,598	0,5410 ³	0,18	12,5	270	0,019	682
КТАН-0,1У	0,1	0,086	0,23	5	50	250	40	0,17	0,6	0,55	2,0	0,920	0,480	2,194	0,3510 ³	0,063	257	490	0,022	170
КТАН-0,05У	0,05	0,043	0,13	5	50	250	40	0,08	0,3	0,28	1,0	0,790	0,480	1,882	0,3310 ³	0,034	1,84	293	0,015	119

903-01-258.87

22967-01 27

903-01-258.87

Лист
22

Технические характеристики КТАНов-чугунизаторов

продолжение табл. 3.3

Марка КТАНа	N	Активная насадка		Число форсунок, изолиров. пф	Объем м ³	Поверхность покровного слоя м ²	вес КТАНа кг
		D _H × S, мм	п				
КТАН-0,05УГ	1	14×2	72	2	0,25	4,07	173,0
КТАН-0,1УГ	1	14×2	144	2	0,40	5,93	252,0
КТАН-0,25УГ	1	18×2	240	6	0,99	13,71	898,0
КТАН-0,5УГ	2	18×2	480	12	1,25	16,88	1435,0
КТАН-0,8УГ	1	25×2	256	24	1,55	20,36	2020,0
КТАН-1,5УГ	2	25×2	512	12	2,17	28,34	3225,0
КТАН-2,3УГ	2	32×2	400	28	3,31	42,96	4115,0
КТАН-4,5УГ	3	32×2	600	42	4,25	54,92	6306,0
КТАН-6УГ	4	32×2	800	56	5,12	70,44	8185,5
КТАН-12УГ	8	32×2	1600	112	8,21	105,6	15232,5

Для определения проходных сечений одного блока насадки необходимо приведенные в таблице значения разделить на число блоков в горизонтальном ряду (N).

N - число блоков насадки в одном горизонтальном ряду и число блоков системы орошения.

п - число трубок активной насадки;
 D_H , S - диаметр и толщина трубок насадки

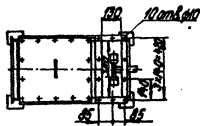
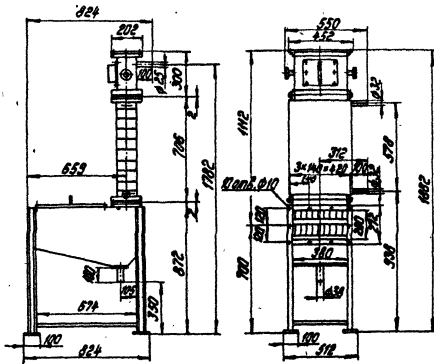


Рис. 3.1 КТАМ-0054г

903-01-258.87

WICR

23

22967-01 29 формат А4

наука и хобби

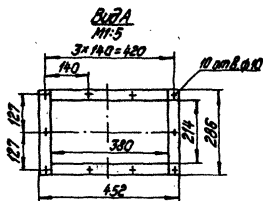
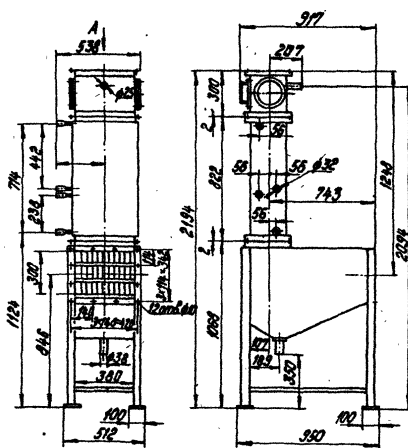


Рис. 3.2 КТАИ-0,14г

903-01-258.87

1000
24

22967-01 30 формат А1

копировано изображение

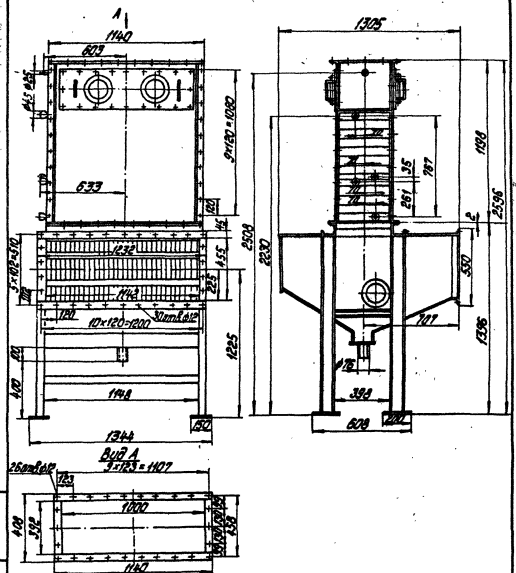


Рис. 3.3 КТАН-0,254г

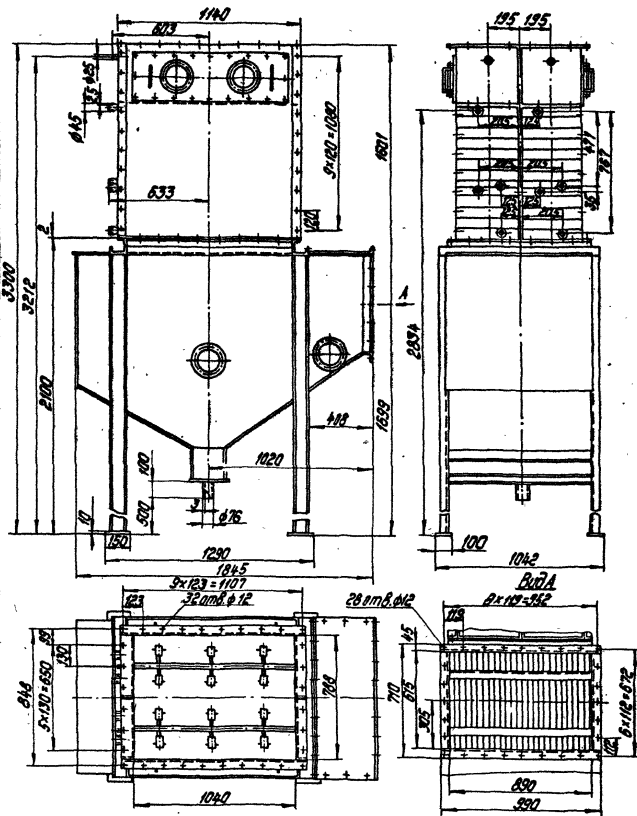
903-01-258.87

22967-01 31 формат А4

копировано Дзюковым

105

25



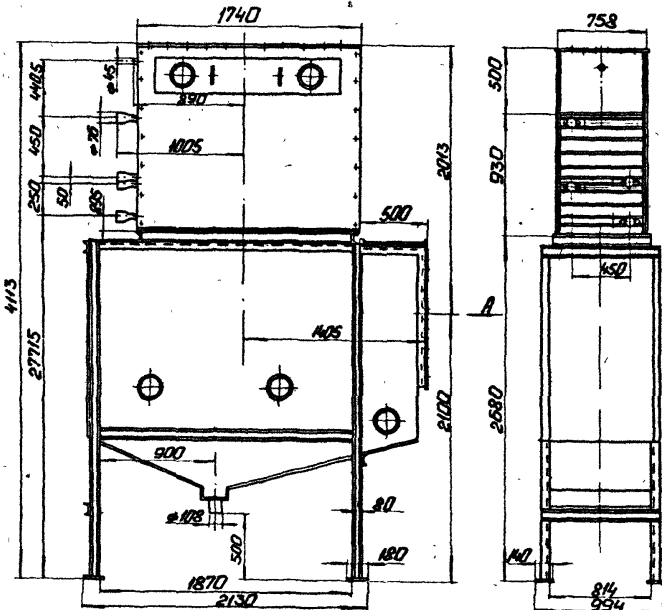
РУС. 3.4 КТАН-054Т

903-01-258.87

Лист
26

копировано
Южнокав

22967-01 32 формат А4



Buñ A

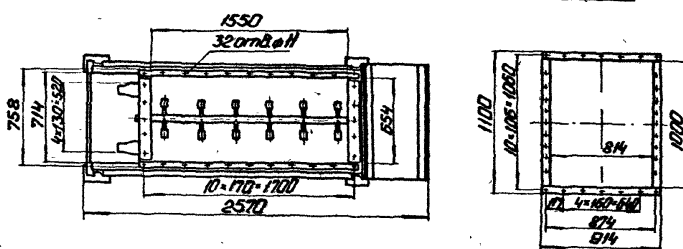


Рис. 3.5 КТАН-Д8УГ

9D3-01-258.87

Копировали: Р.Ф 22967-01 33 Формат А4

Лист
27

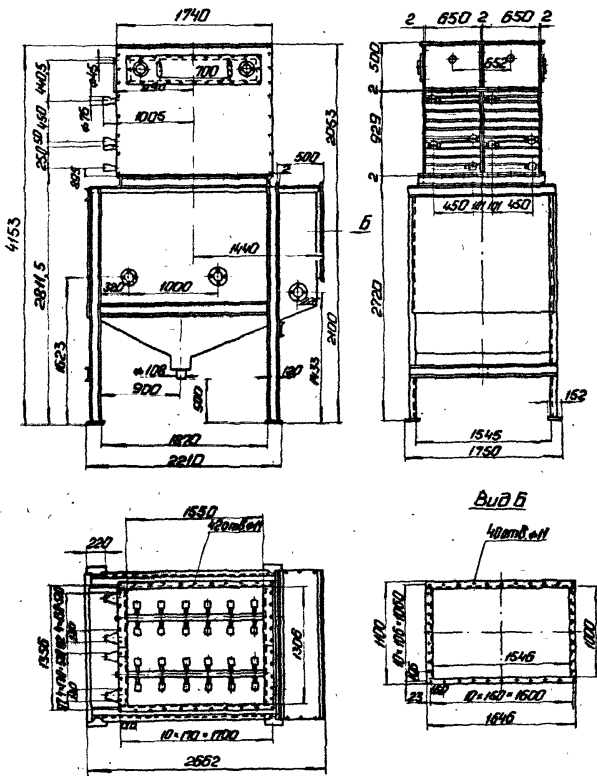


Рис. 3.6 КТАН-15 уг

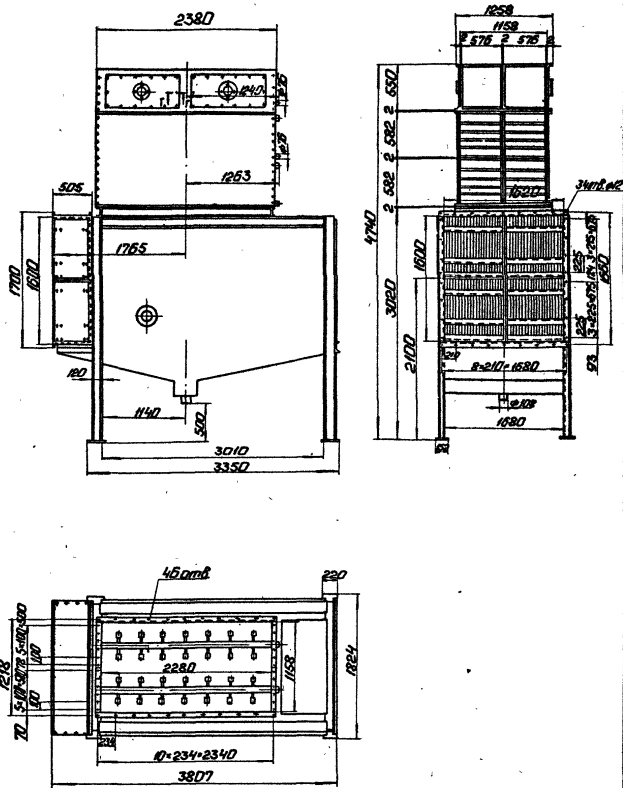
903-01-258.87

28

Копировано: 0.15

Формат А4

22967-01 34



РУС. 3.7 КТАН-2.3.4Т

903-01-258.87

Копировано: Р.Г. 22967-01 35 Формат А4

Лист
29

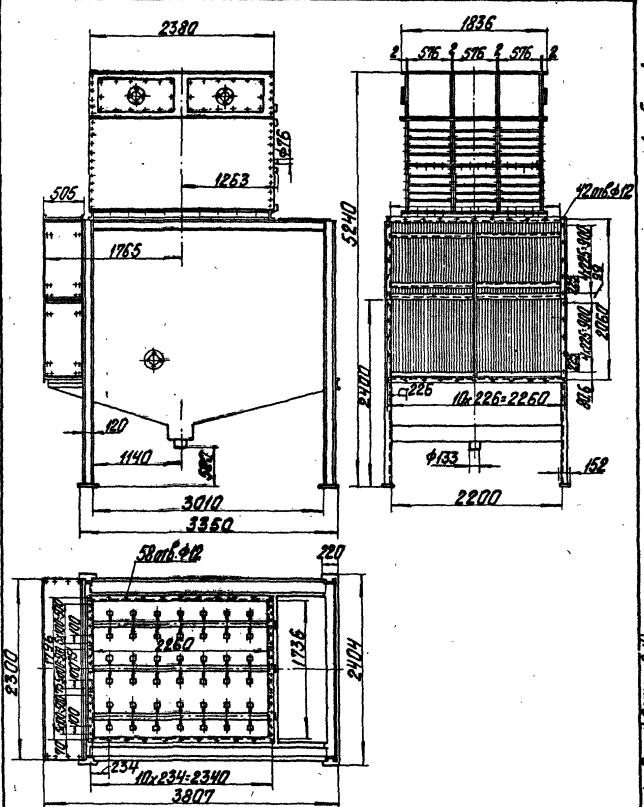


Рис. 3.8 КТАН-4,5 ўг

903-01-258.87

нчт
30

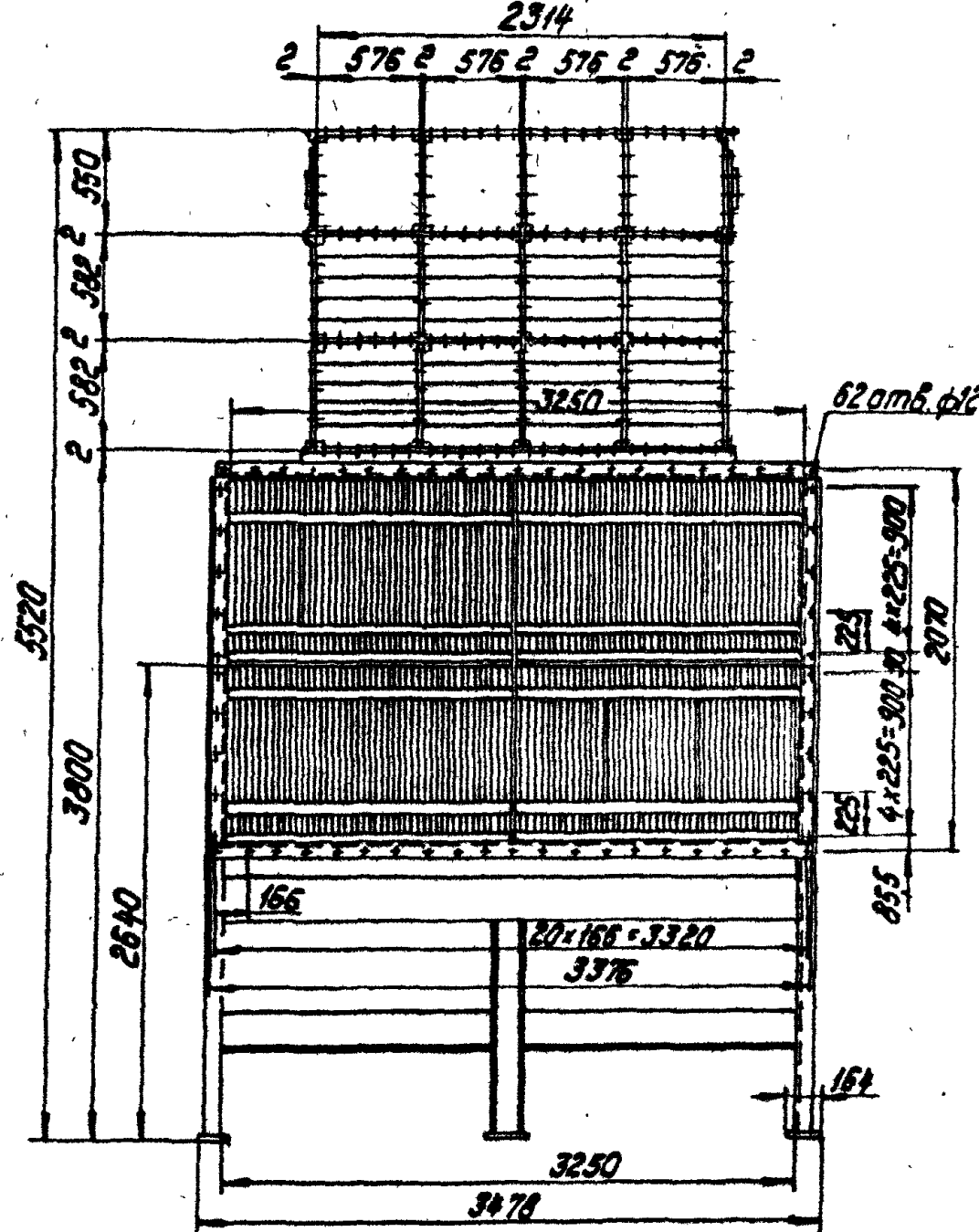


Рис. 39 КТАН-БУГ

903-01-258.87

Калининская

22967-01 37 формат А4

Лист
3

БУД А

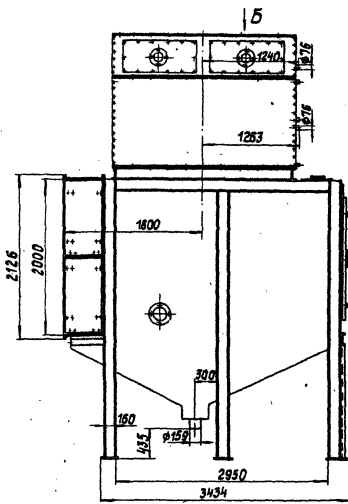


Рис. 3.9 КТАН-БУГ (продолжение)

903-01-258.87

Лист

32

Копировано с

Формат А4

22967-01 38

Вид Б

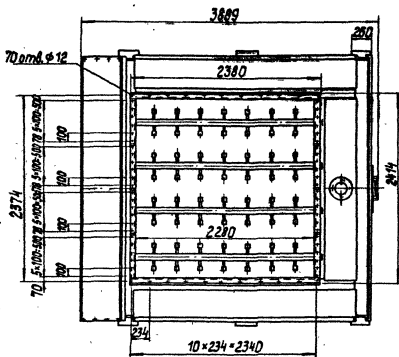


Рис.3.9 КТАН-6УГ (продолжение)

903 - 01 - 258.87	Лист 33
Копировано 22967-01	39
Формат А4	

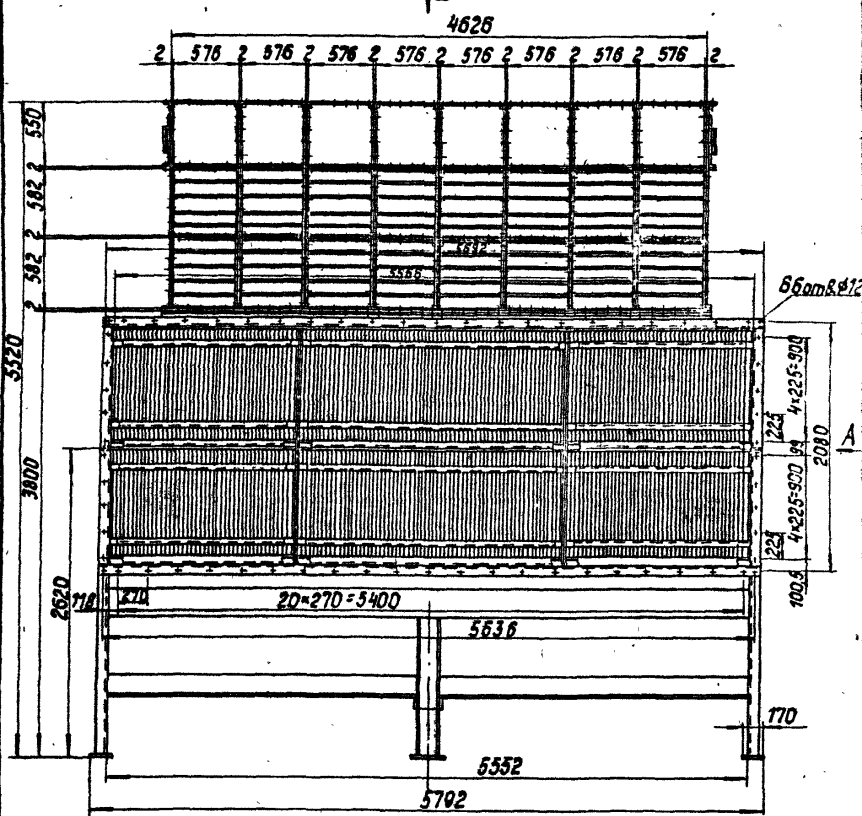


Рис. 310 КТАН - 12 УГ

903-01-258.87

34

Konupoban G

22957-01 40 Формат А4

Буд A

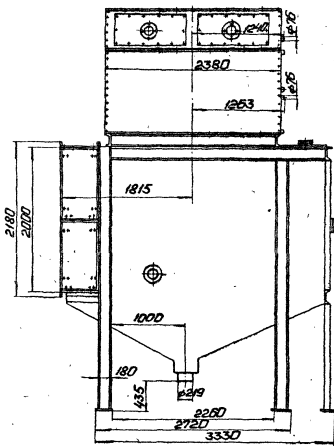


Рис. 3.10 КТАН - 12УГ
(продолжение)

903 - 01 - 258.87

Копировали: ФС 22967-01 41 формат А4

Лист
35

Вид 6

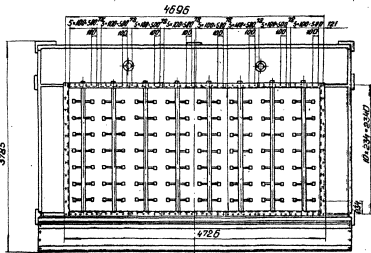


Рис. 3.10 КТАН-12 УГ (продолжение)

903-01-258.87

100cm
36

Копировали: Н.Д.

Формат А4 22967-01 42

4. РЕКОМЕНДАЦИИ ПО УСТАНОВКЕ КТАНОВ

В КОТЕЛЬНЫХ

903-01-258.87

Письм

37

4.1. Общие принципы проектирования

При установке КТАНов в котельной необходимо:

4.1.1. Первоначально определить возможных потребителей низкотемпературной теплоты КТАНов. Для этого необходимо выполнить теплобалансовый расчёт тепловой схемы котельной и определить конкретные потоки воды (их расходы и температуры), которые могут быть подогреты в КТАНах. Институтом "Латгипропром" проанализированы основные типы котельных с целью определения возможной загрузки КТАНов.

Результаты анализа и расчётов приведены в разделе 4.2. Величина тепловой мощности потребителей теплоты КТАНов в такой же мере обуславливает выбор КТАНов из типорада, как и теплопроизводительность котлоагрегата, за которым КТАН устанавливается.

4.1.2. Окончательно уточнить теплопроизводительность КТАНа путём выполнения поверочного теплового расчёта КТАНа и определения минимального расхода дымовых газов, пропускаемых по обводу КТАНа, обеспечивающего работу дымовой трубы без конденсации. Методика поверочного теплового расчёта КТАНа изложена в разделе 4.3, а запросы работы дымовых труб без конденсации влаги при работе котельных с КТАНами – в разделе 5.

4.1.3. При установке КТАНов-утилизатора необходимо выполнить аэродинамический расчёт газового тракта. Рекомендации по оптимальной установке КТАНов с точки зрения аэродинамики и таблица аэродинамических сопротивлений КТАНов приведены в разделе 4.4.

4.1.4. Установка КТАНов допускается как в помещении котельной, так и на открытом воздухе.

903-01-258.87

Лист

38

Формат А4 22967-01

При установке КТАН на открытом воздухе в случае его отключения (или останова котлоагрегата, за которым КТАН установлен), необходимо сдренировать воду из насадки КТАН и из подключенных к КТАНу трубопроводов.

4.1.5. КТАН-утилизатор обеспечивает расчётную производительность только при нормальной работе контура орошающей воды. Необходимо правильно выбрать диаметр сливной трубы для предотвращения залива нижней части КТАН и попадания орошающей воды в газоходы. В разделе 4.5 приведены результаты расчётов по выбору диаметра сливной трубы и бака орошающей воды.

4.1.6. Следует помнить, что поверхности активных насадок КТАНов из типоряда рассчитаны на подогрев воды с 5°C до 50°C. В случае подачи в КТАН расчётного расхода воды с температурой выше 5°C для получения номинальной теплопроизводительности поверхность нагрева КТАНа должна быть увеличена за счёт увеличения количества блоков насадки по высоте.

Так, для КТАНов, начиная с теплопроизводительности 2,3 МВт и выше, при подаче воды с температурой 20°C для достижения номинальной теплопроизводительности необходимо увеличить насадку по высоте КТАНа на I ряд блоков (что приведёт к возрастанию числа рядов блоков насадки по высоте с двух до трёх).

Результаты тепловых расчётов КТАНов при изменении входных параметров теплоносителей по сравнению с расчётными приведены в разделе 10.

903-01-258.87

Лист

39

4.2. Определение потребителей теплоты КТАНов в котельных

Правильный выбор требуемой теплопроизводительности КТАНов определяется не установленной мощностью котлоагрегатов, а наличием реальных потребителей горячей воды с температурой 50°C, получаемой в КТАНах за счёт утилизации дымовых газов.

Для того, чтобы типовой ряд КТАНов наиболее полно соответствовал имеющимся тепловым потребителям, был произведен анализ типовых и индивидуальных проектов котельных, в результате которого определены возможные потребители нагреваемой в КТАНах воды, их количественные и качественные характеристики и зависимость этих характеристик от установленной мощности котлоагрегатов.

Латгипропром выполнил теплобалансовые расчёты по котельным и произвел сравнение максимально возможной теплопроизводительности КТАНов, определяемой расходом и параметрами дымовых газов с тепловой мощностью возможных потребителей горячей воды,

Анализ тепловых схем котельных показал, что основными возможными потребителями теплоты, получаемой в КТАНах-utiлизаторах, являются:

- исходная и химочищенная вода для питания паровых котлов и подпитки водогрейных котлов и систем централизованного горячего водоснабжения;

- циркуляционная вода, используемая для подогрева подаваемого в котлоагрегаты дутьевого воздуха, в случае установки для этой цели в котельной КТАНов-воздухоподогревателей.

Теплобалансовые расчёты выполнены для котельных с котлами типа ДКВР и КВ-ГМ.

903-01-258.87	План 40
---------------	------------

Ввиду отсутствия на момент выполнения расчётов данных балансовых испытаний котлов типа ДЕ расчёты по этим котлам не производились, но их результаты должны быть аналогичны результатам расчётов для котлов типа ДКН.

Для котельных с чисто паровой нагрузкой расчёты выполнены для различных процентов возврата конденсата в котельную: при 25%, 50% и 80% возврата. В расчётах рассмотрены различные сочетания паровой (производственной) и водогрейной (отопительной) нагрузок:

- чисто паровая нагрузка;
- 25% паровой и 75% водогрейной нагрузки;
- 50 паровой и 50% водогрейной нагрузки.

Возможная теплопроизводительность КТАНа определена по следующей формуле:

$$Q_{KT} = \frac{Q_H^p \cdot \eta_K}{Q_H^p \cdot \eta_K + Q_{ab}(J_r'' - J_r') \cdot G_r^c} \cdot B \cdot \eta_{ab}(J_r'' - J_r') \cdot G_r^c, \text{ кВт} \quad (4.1)$$

где Q_H^p — низшая теплотворная способность топлива, кДж/км3;

η_K — к.п.д. котла;

η_{ab} — коэффициент, учитывающий долю расхода дымовых газов, перепускаемых помимо КТАНа по обводному газоходу, для подсушки дымовых газов, проходящих через КТАН;

J_r' — энталпия дымовых газов перед КТАНом-утилизатором, кДж/кг;

903-01-258.87	Лист 41
---------------	------------

G_r^c - массовый расход сухих дымовых газов на I м3 топлива (природного газа), кг/нм3;

\dot{V} - расход топлива на котёл при работе без КТАНа-утилизатора, нм3/с;

J_r'' - энтальпия дымовых газов после КТАНа-утилизатора, кДж/кг.

Расчёт расходов теплоты, идущей на подогрев подпиточной воды и воды, идущей на горячее водоснабжение, определен по методике, изложенной в /1/. При этом принято, что нагрузка горячего водоснабжения составляет 25% от нагрузки отопления и вентиляции. Расход тепла на нужды горячего водоснабжения определен для средней нагрузки горячего водоснабжения.

Расчёт количества теплоты, идущей для подогрева дутьевого воздуха, определен по следующей формуле:

$$Q_{\text{д}} = V_0 \cdot \rho_0 \cdot \alpha \cdot \dot{V} (J_r'' - J_b'), \quad \text{кВт} \quad (4.2),$$

где V_0 - теоретически необходимый расход воздуха, идущего на горение, нм3/нм3;

ρ_0 - плотность воздуха при нормальных условиях, кг/нм3;

α - коэффициент избытка воздуха перед горелками;

\dot{V} - расход топлива для котла, нм3/ч;

J_b'' - энтальпия воздуха после КТАНа-воздухоподогревателя, кДж/кг;

J_b' - энтальпия воздуха перед КТАНом-воздухоподогревателем, кДж/кг.

Теплота, получаемая дутьевым воздухом в КТАНе-воздухоподогревателе, включает в себя две составляющие - физическую теплоту и теплоту, вносимую в воздух за счёт паров орошающей воды. Экономия топлива в котельной при нагреве воздуха в КТАНе-воздухоподогревателе получается только за счёт увеличения вносимой в котёл физической теплоты воздуха, поэтому при анализе потребителей теплоты КТАНе-утилизатора учтена только эта составляющая. Теплота, вносимая в нагреваемый воздух парами орошающей воды, является балластной и служит только для интенсификации процесса теплообмена в КТАНе-воздухоподогревателе. Одновременно следует отметить, что внесение в нагреваемый дутьевой воздух паров воды снижает содержание в дымовых газах окислов азота и тем самым уменьшает загрязнение атмосферного воздуха.

В настоящее время отсутствуют экспериментальные данные о снижении выхода окислов азота при установке КТАНов-воздухоподогревателей, но данные /2/ и /3/ позволяют с уверенностью говорить о целесообразности дополнительного увлажнения дутьевого воздуха. Расчёты по определению возможных потребителей теплоты КТАНов-утилизаторов выполнены для двух режимов работы - для расчётного (максимального) режима и среднеотопительного режима, когда котлы работают на пониженных нагрузках.

Для водогрейных котлов этот режим соответствует 60% номинальной нагрузки, эта же величина принята и для паровых котлов. При работе котлов на пониженных параметрах температура газов на выходе из котлов понижается, и соответственно понижается возможная тепlop производительность КТАНов.

903-01-258.87

Лист

43

Расход теплоты на подогрев воздуха в среднеотопительном режиме понижается из-за уменьшения расхода топлива (следовательно и воздуха) на котёл, а также из-за увеличения температуры воздуха, подаваемого в КТАН-воздухоподогреватель. Расход теплоты для подогрева подпиточной воды и воды для нужд горячего водоснабжения будет одинаков как для расчётного, так и для среднеотопительного режима, так как он зависит только от объёма тепловой сети и связанных с этим объёмом потерь, а также от расчётной нагрузки горячего водоснабжения, которая не зависит от температуры наружного воздуха. Результаты теплобалансовых расчётов КТАНов представлены в таблицах 4.1 + 4.6, из которых видно, что для чисто водогрейных котельных (таблицы 4.1 и 4.2) расход теплоты на горячее водоснабжение при соотношении $\vartheta_{ГВ} = 0,25 \cdot \vartheta_{OB}$ значительно выше, чем возможная теплопроизводительность КТАНа, поэтому в открытых системах теплоснабжения и в системах с централизованным горячим водоснабжением из котельной (четырехтрубная система) КТАНы имеют полную загрузку только за счёт одного потребителя - системы горячего водоснабжения.

В водогрейных котельных, работающих в закрытых системах теплоснабжения, расход теплоты на подогрев подпиточной воды составляет около 30 + 35% от возможной теплопроизводительности КТАНа в среднеотопительном режиме и всего 14-17% в расчётном режиме.

Для этих котельных встаёт вопрос о более эффективном использовании утилизированной теплоты. Установка КТАНов-воздухоподогревателей для нагрева дутьевого воздуха котлов позволяет частично решить этот вопрос.

Так, подогрев в расчётном режиме дутьевого воздуха до 20°C позволяет использовать около 20% теплоты, получаемой в КТАНе-тилизаторе.

В среднеотопительном режиме этот процент несколько ниже и составляет около 15%. Суммарная нагрузка КТАнов, устанавливаемых в водогрейных котельных, работающих в закрытых системах теплоснабжения, составляет $35 + 50\%$ от возможной теплопроизводительности в зависимости от режима работы котельной.

Аналогичная картина наблюдается для котельных с чисто паровыми нагрузками (таблицы 4.2 и 4.3). Суммарная нагрузка КТАнов, устанавливаемых в таких котельных, зависит от процента возврата конденсата, включает к себе нагрузку на подогрев питательной воды и нагрузку на подогрев дутьевого воздуха и составляет:

- при возврате конденсата $80\% \sim 30-35\%$ от возможной теплопроизводительности КТАнов;
- при возврате конденсата $50\% \sim 50-60\%$ от возможной теплопроизводительности КТАнов;
- при возврате конденсата $20\% \sim 70-80\%$ от возможной теплопроизводительности КТАнов.

Для котельных с паровой и водогрейной нагрузкой (таблицы 4.5 и 4.6) степень загрузки КТАнов зависит от соотношения видов нагрузки, процента возврата конденсата, режима работы котельной и колеблется в широких пределах:

- от 30 до 70% для закрытых систем теплоснабжения;
- от 55 до 190% для открытых систем теплоснабжения.

На основании проведенных расчётов можно сделать вывод, что в открытых системах теплоснабжения и в системах с централизованным горячим водоснабжением КТАны, устанавливаемые в чисто водогрейных котельных и в пароводогрейных котельных, при соотношении нагрузок

903-01-258.87

Лист

45

$\varrho_{\text{пар}}/\varrho_{\text{вод}} \leq 50/50\%$, имеют полную загрузку во всех режимах работы. В пароводогрейных котельных в среднеотопительном режиме КТАНы имеют полную загрузку и при меньшей чем 50% доле водогрейной нагрузки из общей нагрузки котельной.

В водогрейных и пароводогрейных котельных, работающих в закрытых системах теплоснабжения, а также в чисто паровых котельных КТАНы недогружены. Процент недогрузки колеблется в широких пределах в зависимости от условий работы котельной и лежит в пределах от 20 до 70%.

Для таких котельных можно рекомендовать установку за котлами КТАНов меньшего типоразмера, соответствующих имеющейся тепловой нагрузке, или установку КТАНов не за всеми котлами с возможностью переключения КТАНа с одного котла на другой. Однако в этом случае надо обращать особое внимание на режим работы котельной в течение года для того, чтобы получить максимально возможное количество теплоты за счёт утилизации даже при останове отдельных котлоагрегатов.

Возможные схемы подключения КТАНов по нагреваемой воде приведены на рисунках 4.1 и 4.2.

В проведенных теплобалансовых расчётах учтены только возможные потребители утилизированной в КТАНах теплоты, имеющиеся в котельной, и не учтены возможные сторонние потребители воды, нагретой до 50°C. Такими потребителями могут быть: технологическое горячее водоснабжение промышленных предприятий; вода, используемая в системах теплоснабжения тепличных и парниковых хозяйств, в том числе промышленных; вода для нужд промышленного рыбоводства на теплых водах; вода для нужд теплоснабжения открытых и закрытых плавательных бассейнов; вода для мойки улиц и транспортных средств /4/.

903-01-258.87	Лист 46
---------------	------------

Формат А4 22967-01 52

При привязке КТАНов к местным условиям эти потребители могут дополнять или даже заменять основных потребителей теплоты, учтенных в приведенных выше расчётах, при соответствующем технико-экономическом обосновании, которое в значительной степени зависит от расстояния, на которое сторонний потребитель удален от котельной, в которой установлены КТАНы.

В котельных, работающих в закрытых системах теплоснабжения, остаток теплопреизводительности КТАНа может быть использован для подогрева обратной сетевой воды системы теплоснабжения. Однако подогрев обратной сетевой воды в КТАНах в течение отопительного периода в большинстве случаев не представляется возможным, так как её температура выше или сравнима с максимально-возможной температурой подогрева воды в КТАНе. Поэтому снижение температуры обратной сетевой воды по сравнению с настоящим уровнем является значительным резервом экономии топлива, так как позволяет полностью загрузить теплоутилизационное оборудование. Так, снижение температуры обратной сетевой воды в системе теплоснабжения до 20°C позволит полностью загрузить КТАН только за счёт указанного потребителя.

903-01-258.87

Лис

47

Копировал

22967-01 53 Формат А4

Таблица 4.1

Теплоизделийный расчет по возможным потребителям теплоты, Кт/ч
в водогреющей котельной. Нагрузка катка 100%. Расчетный режим.

Наименование		Раз- мер- ность	Типы котлов						
			КВ-ГМ- ЧБ-150						
Теплопроизводительность катка, Qк	MВт	4,65	7,56	11,63	23,28	35,0	58,2	116,3	
Возможная теплопроизводительность Кт/ч, Qкт	MВт	0,573	0,936	1,54	3,33	4,93	8,7	13,4	
Потребители котельной для закрытой системы теплоснаб- жения	Расход теплоты на подо- грев подпиточной воды (в МВт или в % от Qкт)	MВт	0,093	0,15	0,23	0,47	0,7	1,16	2,33
	%	15	16	14	14	14	17	17	
	Расход теплоты на подо- грев дутьевого воздуха (в МВт или в % от Qкт)	MВт	0,135	0,206	0,32	0,64	0,961	1,56	3,11
	%	23	22	20	19	19	23	23	
	Итого (в МВт или в % от Qкт)	MВт	0,23	0,36	0,55	1,1	1,66	2,72	5,43
	%	39	38	39	33	33	40	40	
Потребители котельной для открытой си- стемы гре- ния или котельной с централизован- ным го- рением	Расход теплоты на подогрев подпиточной воды или воды для централизованного го- рения водоснабжения (в МВт или в % от Qкт)	MВт	0,549	1,06	1,63	3,26	4,88	8,14	16,28
	%	113	114	100	90	100	121	121	

Кодированный документ

Формат А4 22967-07

3023-01-258.87

48

Изготовлено в соответствии с нормами

Теплобалансовый расчет по возможным потребителям теплоты АТАНа
в однодревиной котельной нагрузка котла 60% от名义альной. Среднеотапливательный режим. Таблица 4.2

Наименование	раз- мер- ность	типы котлов							
		КВ-74- 465-500	КВ-74- 755-500	КВ-74- 1165-500	КВ-74- 23,25-500	КВ-74- 350-500	КВ-74- 500-500	КВ-74- 11,63-500	
Теплопроизводительность котла, Вт	МВт	2,79	4,54	6,98	13,96	20,93	34,89	69,78	
Возможная теплопроизводительность АТАНа, Вт	МВт	0,286	0,468	0,76	1,60	2,43	3,49	6,86	
Потребители котельной для закрытой системы теплоснаб- жения	расход теплоты на подогрев подпиточной воды (8 МВт или 6 % от Q _{кп})	МВт	0,093	0,15	0,23	0,47	0,69	1,16	2,33
	%		32,5	32,5	30,8	29	29	33	34
	расход теплоты на подогрев дутьевого воздуха (8 МВт или 6 % от Q _{кп})	МВт	0,047	0,073	0,113	0,227	0,338	0,555	1,105
	%		16	16	15	14	14	15,9	16
	Итого (8 МВт или 6 % от Q _{кп})	МВт	0,14	0,224	0,345	0,692	1,036	1,716	3,43
	%		48,5	48,5	45,8	43	43	48,9	50
Котельная для открытой системы теплоснаб- жения	расход теплоты на подогрев подпиточной воды или воды для централизованного горячего водоснабжения (8 МВт или 6 % от Q _{кп})	МВт	0,549	1,05	1,63	3,25	4,88	8,14	16,28
	%		227	227	216	203	200	233	234

Таблица 4.3

Теплобалансовый расчет по возможным потребителям теплоты ктамо
в котельной с чисто паровой нагрузкой. Расчетный режим.

Наименование	Размер- ность	Число котлов					
		ДКВР- -2,5-13	ДКВР- -4-13	ДКВР- -6,5-13	ДКВР- -10-13	ДКВР- -20-13	ДКВР- -35-13
Теплопроизводительность котла, Вк	МВт	2,49	3,39	6,48	9,89	18,51	34,9
Возможная теплопроизводительность ктамо, Вкт	МВт	0,320	0,512	0,814	1,29	2,27	5,11
Расход теплоты на подогрев питательной воды при возв- врате конденсата: (в МВт или % от Qкт)	80%	МВт 0,04 % 12	0,063 12	0,102 12,5	0,15 12	0,293 13	0,52 10
	50%	МВт 0,098 % 30	0,157 30	0,256 30	0,387 30	0,733 32	1,308 25
	25%	МВт 0,147 % 46	0,235 46	0,384 47	0,593 46	1,10 48	1,965 38
Расход теплоты на подогрев дутьевого воздуха (в МВт или % от Qкт)	МВт 0,07 % 22	0,11 22	0,179 22	0,279 21	0,512 22	0,983 19	
	80%	МВт 0,209 % 34	0,173 34	0,281 34,5	0,426 33	0,805 35	1,506 29
	50%	МВт 0,167 % 52	0,267 52	0,435 52	0,662 51	1,24 54	2,29 44
	25%	МВт 0,216 % 68	0,345 68	0,563 69	0,868 67	1,611 70	2,948 57
Итого при возврате конденсата (в МВт или % от Qкт)							

903-01-258-300

50

Теплобалансовый расчет по возможным потребителям теплоты КТАН
в котельной с чисто паровой нагрузкой.
Нагрузка котла 60% от名义альной

Таблица 4.4

Наименование	РДЗ- МЭР- НОСТЬ	типы котлов					
		ДКВР- -2,5-13	ДКВР- -4-13	ДКВР- -6,5-13	ДКВР- -10-13	ДКВР- -20-13	ДКВР- -35-13
Теплопроизводительность котла, Вт	МВт	1,49	2,4	3,88	5,93	11,16	22,1
Возможная теплопроизводительность КТАН, Вт	МВт	0,14	0,23	0,38			
расход теплоты на подогрев питательной воды при возрате конденсата в МВт или % от Qкт	80%	МВт	0,023	0,037	0,062	0,106	0,174
	%		16	16	16	16	13
	50%	МВт	0,058	0,098	0,16	0,079	0,44
	%		42	42	42	40	34
расход теплоты на подогрев дутьевого воздуха в МВт или % от Qкт	25%	МВт	0,088	0,146	0,24	0,42	0,86
	%		63	63	63	60	50
	80%	МВт	0,026	0,04	0,064	0,098	0,187
	%		18	18	16,6	15	15
Итого при возрате конденсата в МВт или % от Qкт	80%	МВт	0,049	0,077	0,126	0,204	0,362
	%		34	34	32,6	31	28
	50%	МВт	0,084	0,137	0,227	0,177	0,629
	%		60	60	58,6	57	59
25%	МВт	0,114	0,186	0,308	0,516	0,85	1,528
	%		81	81	79,6	78	65

903-01-258.87

22957-01 57 формат А4

Таблица 45

Теплобалансовый расчет по возможным потребителям теплоты ктана в котельной с паровой и водогрейной нагрузкой.

Нагрузка котлов 100%

Наименование	размерность	Соотношение нагрузок котельной		
		25/25	50/50	25/75
<i>Потребители котельной в зоне отопления теплоносительных (включая зернуку ктана)</i>	расход теплоты на подпитку т.с. и питание котлов при возврате конденсата	80 %	11	13
		50 %	25	22
		25 %	35	30
	расход теплоты на подогрев зернышки	%	20	20
		80 %	31	33
		50 %	45	42
	Итого при возврате конденсата	25 %	55	50
	расход теплоты на подпитку тел. сеть	%	27	54
	расход теплоты на подогрев зерна зернушевого вазука	%	20	20
	расход теплоты на питание паровых котлов при возврате конденсата	80 %	9	6
<i>Потребители котельной в открытий системе теплоносительных (включая зернуку ктана)</i>		50 %	22,5	15
		25 %	34	23
		80 %	56	80
		50 %	69,5	89
	Итого при возврате конденсата	25 %	81	97
	расход теплоты на подпитку тел. сеть	%	27	54
	расход теплоты на подогрев зерна зернушевого вазука	%	20	20
	расход теплоты на питание паровых котлов при возврате конденсата	80 %	9	6
		50 %	22,5	15
		25 %	34	23

905-01-258.87

Лист

52

Таблица 4.6

Теплобалансовый расчет по возможным потребителям теплоты КТАНа в котельной с паровой и водогрейной нагрузкой. Среднеотопительный режим.
Нагрузка кипела 60% от номинальной

Наименование	Соотношение нагрузок котельной Δ пар / Δ вода, %				
	95/25	50/50	25/75		
Потребители котельной в закрытой системе теплоснабжения (8 процентных единиц от базовой нагрузки зданий КТАНа)	расход теплоты на подпитку Т.С. и питание котлов при возврате конденсата	80	23	26	29
		50	41	38	36
		25	56	48	40
	расход теплоты на подогрев дутьевого воздуха	15	15	15	
	Итого при возврате конденсата	80	38	44	44
		50	56	53	51
		25	71	63	55
	расход теплоты на подпитку тепл. сети	68	125	187	
	расход теплоты на подогрев дутьевого воздуха	15	-	-	
	расход теплоты на питание паровых котлов при возврате конденсата	80	12	8	-
		50	30,5	21	-
		25	46	31	-
	Итого при возврате конденсата	80	95	133	187
		50	114,5	146	187
		25	129	156	187

903-01-258.87

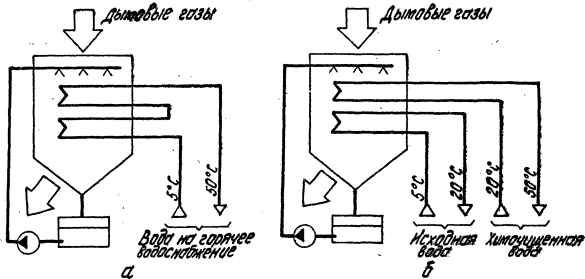
п.км

53

903-01-258.87
конструкция подключения

54
4600

форма А4 29250-01



* При необходимости химической обработки воды для централизованного горячего водоснабжения подключение КТАНа следует производить по схеме б.

Рис. 4.1 Схемы подключения КТАНа-утилизатора.

а*-б в котельной с централизованной системой горячего водоснабжения;
б - в котельной с открытой или закрытой системами теплоснабжения.

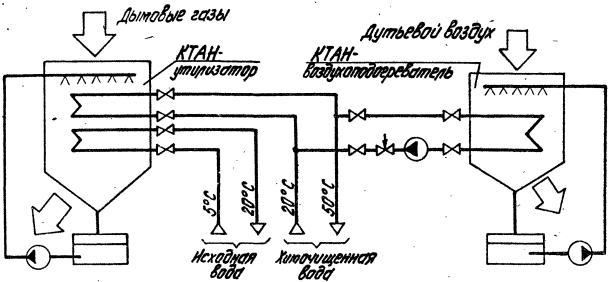


Рис. 4.2. Схема подключения КТАН-воздухоподогревателя

903-01-258.37
22967-01 61 формат А4

4.3. Методика поверочного теплового расчёта КТАНов-утилизаторов

Перед проведением поверочного теплового расчёта следует в соответствии с изложенными выше рекомендациями выбрать из типоряда требуемый типоразмер КТАНа.

Поверочный тепловой расчёт выбранного из типового ряда КТАНа-утилизатора можно условно разбить на три части:

- 1) расчёт параметров дымовых газов на входе в КТАН,
- 2) теплобалансовый расчёт,
- 3) расчёт поверхности теплообмена.

В процессе поверочного расчёта добиваются совпадения значения расчётной поверхности нагрева с поверхностью нагрева, выбранного из типового ряда КТАНа-утилизатора, путём изменения параметров дымовых газов и воды на выходе из КТАНа при заданных начальных температурах.

Расчёт ведется методом последовательных приближений на максимальную тепловую нагрузку.

Расчёт состава и параметров газов на входе в КТАН в процессе проверочного теплового расчёта выполняется один раз и при последующих уточнениях не повторяется.

4.3.1. Исходные данные для поверочного теплового расчёта

Необходимые для расчёта исходные данные:

- по котлоагрегату, за которым устанавливается КТАН;
- t_r - температура дымовых газов за котлом, $^{\circ}\text{C}$;
- α - коэффициент избытка воздуха за котлом (данные берутся на основании теплового расчёта котлоагрегата);

903-I-01-258.87

Прил
56

Формат А4 22967-01 62

- \dot{V} - расход топлива на котёл, м³/с;
- по параметрам дымовых газов и сжигаемого топлива:
- Q_n^p - нижняя теплотворная способность топлива, кДж/кг;
- ρ_f^c - плотность сухого топлива, кг/м³;
- теоретические объёмы продуктов горения на 1 м³ топлива при нормальных условиях:
- V_{CO_2} - объём трехатомных газов, м³/м³;
- V_{N_2} - объём азота, м³/м³;
- $V_{H_2O}^v$ - объём водяных паров, м³/м³;
- V_o - объём воздуха, теоретически необходимый для горения 1 м³ топлива, м³/м³;
- d_f - влагосодержание воздуха, идущего на горение, кг/кг с.в.
(при отсутствии данных $d_f = 0,01$ кг/кг с.в.).

Теоретические объёмы продуктов горения определяются по методике, изложенной в /9/ по конкретному составу природного газа, выдаваемому эксплуатирующей организацией газового хозяйства для проектирования.

Данные по параметрам нагреваемой в КТАНе воды включают в себя:

- i - количество нагреваемых потоков воды;
- G_i - расход каждого " i " -го потока воды, кг/с;
- $t_{i\text{вх}}, t_{i\text{вых}}$ - температуры каждого " i " -го потока воды на входе в КТАН и на выходе из КТАНа.

4.3.2. Расчёт параметров дымовых газов на входе в КТАН

Объём водяных паров в дымовых газах на 1 м³ топлива определяется по формуле:

903-01-258.87

Письт

57

$$V_{H_2O} = V_{H_2O}^0 + [1,6 \alpha (d\delta - 0,01) + 0,0161 \cdot (\alpha - 1) \cdot V_0] \text{ м}^3/\text{м}^3 \quad (4.3.1),$$

где $d\delta$ - влагосодержание воздуха, кг/кг с.в.;

$V_{H_2O}^0$ - теоретический объём водяных паров в дымовых газах при $\alpha = 1$, м³/м³.

Объём дымовых газов на 1 м³ топлива:

$$V_r = V_{NO_2} + V_{N_2} + V_{H_2O} + (\alpha - 1) \cdot V_0 \text{ м}^3/\text{м}^3 \quad (4.3.2),$$

где

V_{NO_2} - объём трехатомных газов, м³/м³;

V_{N_2} - объём азота, м³/м³;

V_0 - объём воздуха, м³/м³;

α - коэффициент избытка воздуха.

Массовый расход сухих дымовых газов на 1 м³ топлива:

$$G_r^c = V_{NO_2} \rho_{NO_2} + V_{N_2} \rho_{N_2} + V_0 \rho_0 (\alpha - 1) \text{ кг/м}^3 \quad (4.3.3),$$

где

$\rho_{NO_2}, \rho_{N_2}, \rho_0$ - плотности трехатомных газов, азота и воздуха, кг/м³:

$$\rho_{NO_2} = 1,96; \rho_{N_2} = 1,25; \rho_0 = 1,29.$$

Массовый расход влажных дымовых газов на 1 м³ топлива:

$$G_r = \rho_r^c + V_0 \cdot 1,306 \cdot \alpha (1 + d\delta - 0,01) \text{ кг/м}^3 \quad (4.3.4).$$

где

ρ_r^c - плотность сухого топлива, кг/м³;

$d\delta$ - влагосодержание воздуха при подаче его в котёл, кг/кг с.в., при отсутствии данных $d\delta = 0,01 \frac{\text{кг}}{\text{кг с.в.}}$

903-01-258.87	ПИСТ
	58

Влагосодержание дымовых газов на входе в КТАН:

$$d' = \frac{G_r - G_r^c}{G_r^c}, \text{ кг/кг с.г.} \quad (4.3.5).$$

Энталпия дымовых газов на входе в КТАН:

$$J' = c_{cr} \cdot t'_r + d' \cdot (C_n \cdot t'_r + r), \text{ кДж/кг с.г.} \quad (4.3.6),$$

где

C_{cr} – теплёмкость сухих газов, которую в расчётах можно принять $C_{cr} = 1$ кДж/кг · °С;

C_n – теплёмкость пара принимается $C_n = 1,97$ кДж/кг · °С;

r – внутренняя теплота парообразования принимается

$$r = 2491 \text{ кДж/кг.}$$

4.3.3. Теплобалансовый расчёт

Порядок теплобалансового расчёта КТАНа-утилизатора зависит от соотношения возможной теплопроизводительности КТАНа и имеющейся тепловой нагрузки потребителей воды, нагреваемой в КТАНе. Рекомендации по загрузке КТАНов возможными потребителями приведены в разделе 4.2. В том случае, когда возможная теплопроизводительность КТАНа ниже имеющейся тепловой нагрузки, расчёт ведётся следующим образом.

I. Задается температурой дымовых газов за КТАНом – t_g'' и коэффициентом, учитывающим обвод дымовых газов помимо КТАНа – η об. (рекомендуется для первоначального расчёта принимать температуру $t_g'' = 40^\circ\text{C}$).

По таблице 4.7 определяют энталпию J_g'' и влагосодержание d_g'' дымовых газов на выходе из КТАНа в зависимости от t_g'' .

Лист

59

903-01-258.87

Коэффициент, учитывающий обвод дымовых газов – γ об., должен обеспечить после смешения дымовых газов, выходящих из КТАНа и дымовых газов, проходящих помимо КТАНа, такую температуру, при которой исключается конденсация водяных паров из дымовых газов в газоходах и в дымовой трубе. Рекомендуемые значения коэффициента обвода и методика его определения приведены в разделе 5 настоящих рекомендаций.

В тех случаях, когда КТАН устанавливается за одним из нескольких работающих в котельной котлов, коэффициент γ об. принимается равным – 0,9 и, следовательно, 10% дымовых газов пойдут помимо КТАНа. Такой величины отвода дымовых газов достаточно для предотвращения конденсации водяных паров из дымовых газов на участке от КТАНа до общего для нескольких или всех котлов котельной борова.

2. Определяется теплопроизводительность КТАНа со стороны дымовых газов. Если теплопроизводительность котла при установке КТАНа не меняется:

$$Q_{KT} = \bar{G}_r^c \cdot \Delta J \cdot B \cdot \eta_{ob} \quad , \text{ кДж/ч (4.3.7).}$$

В том случае, когда теплопроизводительность котла уменьшается за счёт покрытия части нагрузки котла КТАНом:

$$Q_{KT} = \frac{Q_H^p \cdot \eta_K}{Q_H^p \cdot \eta_K + \eta_{ob} \cdot \Delta J \cdot \bar{G}_r^c} \cdot B \cdot \bar{G}_r^c \cdot \Delta J \quad , \text{ кДж/ч (4.3.8),}$$

где

$\Delta J = (J_r' - J_r'')$ – разность энталпии дымовых газов на входе в КТАН и выходе из КТАНа, кДж/кг;

B – расход топлива на котёл без установки КТАНа;

η_K – к.п.д. котла;

Q_H^p – низшая теплота сгорания топлива, кДж/м3.

903-01-258.87	Лист 60
---------------	------------

Таблица 4.7.

Параметры дымовых газов на выходе из КТАН

Температура дымовых газов t_g , °C	Влагосодержание дымовых газов α , кг/кг	Энтальпия дымовых газов I , кДж/кг
25	0,018	70,95
30	0,024	91,46
35	0,032	117,25
40	0,044	153,46
45	0,056	189,92
50	0,078	252,5
55	0,102	320,73

903-01-258.87

документ

61

Величину ΔJ также можно определить по nomogrammам 4.I, зная величину t_g' , t_g'' и d' .

3. Определяется расход нагреваемой воды:

$$G_B = \frac{Q_{KT} \cdot 0,98}{C_B \cdot (t_B'' - t_B')} , \text{ кг/с} \quad (4.3.9),$$

где

t_B', t_B'' – температуры нагреваемой воды на входе в КТАН и выходе из КТАНа, $^{\circ}\text{C}$;

$$C_B = 4,186 \text{ кДж/кг} \cdot ^{\circ}\text{C} \text{ – теплоёмкость воды.}$$

4. Если тепловая нагрузка имеющихся в котельной потребителей нагретой в КТАНе воды ниже возможной теплопроизводительности КТАНа, то первоначально определяется теплопроизводительность КТАНа по нагреваемой воде:

$$Q_{KT} = C_B \cdot G_B \cdot (t_B'' - t_B') \cdot \frac{10^3}{0,98} , \text{ кДж/ч} \quad (4.3.10).$$

5. Затем, задаваясь температурой дымовых газов за КТАНом t_g'' , определяют величину $\eta_{об}$ об. по следующим формулам:

– если теплопроизводительность котла при установке КТАНа не меняется:

$$\eta_{об} = \frac{Q_{KT}}{G_p \cdot \Delta J \cdot B} \quad (4.3.11);$$

– если теплопроизводительность котла при установке КТАНа снижается на долю теплопроизводительности КТАНа:

$$\eta_{об} = \frac{A_K \cdot \eta_K \cdot Q_{KT}}{\Delta J \cdot G_p \cdot (B \cdot Q_H'' \cdot \eta_K - Q_{KT})} \quad (4.3.12).$$

903-01-258.87

Лист
62

6. Формулы 4.3.9 и 4.3.10 приведены для случая, когда в КТАНе производится нагрев только одного потока воды, однако конструкция любого КТАНа из типового ряда, кроме КТАНа-0,5УГ, позволяет нагреть в нем не менее двух потоков воды различного качества. Возможное количество потоков, которое можно нагреть в КТАНе, определяется числом блоков активной насадки (см.рис.3.1 + 3.10). При нагреве в КТАНе нескольких потоков воды с различными температурами необходимо соблюдать правило, согласно которому потоки воды с меньшей температурой направляются в нижние слои насадки КТАНа, а потоки с большей температурой - в верхние слои.

Теплопроизводительность КТАНа в этом случае определяется по формуле:

$$Q_{Kt} = \left(\sum_{i=1}^{j_K} C_B \cdot G_i'' (t_i'' - t_i'^{''}) + \sum_{i=1}^{j-K} C_B \cdot G_k^b (t_i^{b''} - t_i^b) \right) \cdot \frac{10^3}{0,98}, \text{ кДж/ч} \quad (4.3.13),$$

где

j - число потоков воды, нагреваемых в верхних блоках насадки;
 K - число потоков воды, нагреваемое в нижних блоках насадки;
- индекс "н" относится к потокам воды, подаваемым в нижние блоки насадки;

- индекс "в" относится к потокам воды, подаваемым к верхние блоки насадки;

G_i - расход i -го потока нагреваемой в КТАНе воды, кг/с;
 $t_i'^{''}$ - температуры i -го потока нагреваемой воды на входе в КТАН и выходе из КТАНа.

7. Для возможности определения требуемой поверхности нагрева для КТАНа, в котором нагревается несколько потоков воды, требуется определить средневзвешенные температуры воды и её эквивалентный расход.

903-01-258.87

Пись

63

Средневзвешенная температура воды на входе в КТАН:

$$t_0' = \frac{\sum_{i=1}^{i=K} G_i'' t_i''}{\sum_{i=1}^{i=K} G_i''}, {}^{\circ}\text{C} \quad (4.3.14).$$

Средневзвешенная температура воды на выходе из КТАНа:

$$t_0'' = \frac{\sum_{i=1}^{i=K} G_i'' t_i''}{\sum_{i=1}^{i=K} G_i''}, {}^{\circ}\text{C} \quad (4.3.15).$$

Эквивалентный расход воды, нагреваемой в КТАНе:

$$G_b = \frac{Q_{kr} \cdot 0,98}{c_b(t_0'' - t_0') \cdot 10^3}, \text{ кг/с} \quad (4.3.16).$$

4.3.4. Расчёт поверхности теплообмена

I. Определяется объёмный расход дымовых газов в активной насадке КТАНа:

$$V = V_r \cdot B \cdot \eta_{ad} \cdot \frac{273 + t_g^{cp}}{273}, \text{ м}^3/\text{с} \quad (4.3.17),$$

где

t_g^{cp} — средняя температура дымовых газов в насадке, ${}^{\circ}\text{C}$.

Среднюю температуру дымовых газов в насадке рекомендуется принимать равной $t_g^{cp} = 70 {}^{\circ}\text{C}$, близкой к температуре мокрого термометра.

903-01-258.87

Лист

64

Формат А4 22967-01

Из № подп. Подпись и дата Взам. №

2. Скорость дымовых газов в активной насадке рассчитывается по формуле:

$$w_r = \frac{V}{S_r^{np} \cdot 3600}, \text{ м/с} \quad (4.3.18),$$

где

S_r^{np} — проходное сечение активной насадки по дымовым газам, м², выбирается по таблице 3.1.

3. Аналогично определяется скорость нагреваемой в КТАНе воды:

$$w_b = \frac{G_b}{S_b^{np} \cdot 3600}, \text{ м/с} \quad (4.3.19),$$

где

S_b^{np} — проходное сечение КТАНа по нагреваемой воде, м², выбирается по таблице 3.1.

4. Коэффициент теплоотдачи со стороны дымовых газов к насадке α_r зависит от скоростей дымовых газов и нагреваемой воды, определяется по nomogramme 4.2 или по формуле:

$$\alpha_r = 110 \cdot w_r^{0,8} \cdot w_b^{0,2}, \frac{\text{Вт}}{\text{м}^2 \cdot ^\circ\text{C}} \quad (4.3.20).$$

5. Коэффициент теплоотдачи от трубок насадки к нагреваемой воде α_b определяется по nomogramme 4.3 в зависимости от скорости w_b и средней температуры t_b^{op} нагреваемой воды и внутреннего диаметра трубок насадки d_b или по формулам:

$$\alpha_b = (1400 + 18 \cdot t_b^{op} - 0,035 \cdot t_b^{op^2}) \frac{w_b^{0,8}}{d_b^{0,2}}, \frac{\text{Вт}}{\text{м}^2 \cdot ^\circ\text{C}} \quad (4.3.21),$$

где

$$t_b^{op} = \frac{t_b' + t_b''}{2}.$$

903-01-258.87

Письмо

65

22967-01 7/Формат А4

6. Коеффициент теплопередачи определяется по формуле:

$$K = \frac{C}{\frac{1}{\alpha_r} + \frac{\delta}{\lambda} + \frac{1}{\alpha_b}} \quad \frac{\text{Вт}}{\text{м}^2 \cdot \text{°С}} \quad (4.3.22),$$

где

C – коэффициент, учитывающий наружные и внутренние загрязнения трубок;

– для химочищенной воды $C = 0,9 + 1,0$;

– для исходной воды $C = 0,8 + 0,9$;

– δ – толщина стенки трубы, м;

– λ – теплопроводность трубы, $\lambda = 45 \frac{\text{Вт}}{\text{м} \cdot \text{°С}}$.

7. Рассчитывается логарифмическая разность температур теплоносителей:

$$\Delta t_L = \frac{(t_r' - t_b'') - (t_r'' - t_b')}{\ln \frac{(t_r' - t_b'')}{(t_r'' - t_b')}} \quad , \text{°С} \quad (4.3.23).$$

8. Требуемая поверхность нагрева активной насадки КТАНа определяется по формуле:

$$F = \frac{Q_{KT}}{K \cdot \Delta t_L} \quad , \text{м}^2 \quad (4.3.24).$$

Полученную поверхность сравнивают с поверхностью КТАНа, если при этом

$$\left| \frac{F - F_{KT}}{F_{KT}} \right| \leqslant 0,05 \quad (4.3.25),$$

где

F_{KT} – поверхность нагрева КТАНа, м^2 (см.табл.3.1), то считается, что расчётная и фактическая поверхности практически совпадают и расчёт окончен.

В противном случае необходимо, изменяя входные параметры теплоносителей, добиваться выполнения неравенства 4.3.25.

В том варианте, когда тепловая нагрузка потребителей превышает возможную теплопроизводительность КТАНа, необходимо задаваться новыми значениями температуры дымовых газов.

При изменении температуры дымовых газов необходимо действовать следующим образом:

– если расчётное значение поверхности нагрева превышает фактическое (F больше F_{kt}), то необходимо повысить температуру дымовых газов на выходе из КТАНа, тогда теплопроизводительность КТАНа понизится и соответственно уменьшится расход нагреваемой воды.

При этом необходимо помнить, что охлаждение дымовых газов в КТАНе должно происходить с конденсацией водяных паров, поэтому температура дымовых газов на выходе из КТАНа не должна превышать $50 + 55^{\circ}\text{C}$:

– если расчётное значение поверхности нагрева меньше фактического (F меньше F_{kt}), необходимо понизить температуру дымовых газов на выходе из КТАНа, при этом теплопроизводительность КТАНа повысится и соответственно увеличится расход нагреваемой воды.

Примеры тепловых расчётов КТАНов приведены в разделе 7.

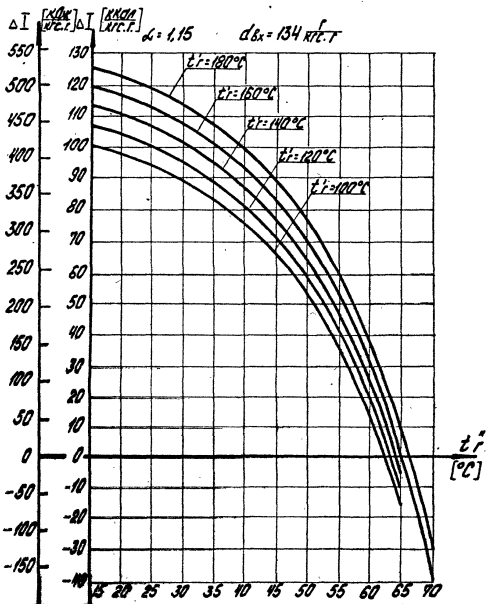
В случае, когда тепловая нагрузка потребителей ниже возможной теплопроизводительности КТАНа, необходимо для выполнения неравенства изменять коэффициент, учитывающий обвод дымовых газов, при этом изменяется температура дымовых газов за КТАНом, а теплопроизводительность КТАНа остаётся неизменной.

Изменение значения коэффициента обвода дымовых газов производится следующим образом:

903-01-258-87

Пист

67



Номограмма 4.1. Определение разности энталпии
сырьевых газов на входе в КТАН
и на выходе из КТАН.

903-01-258.87

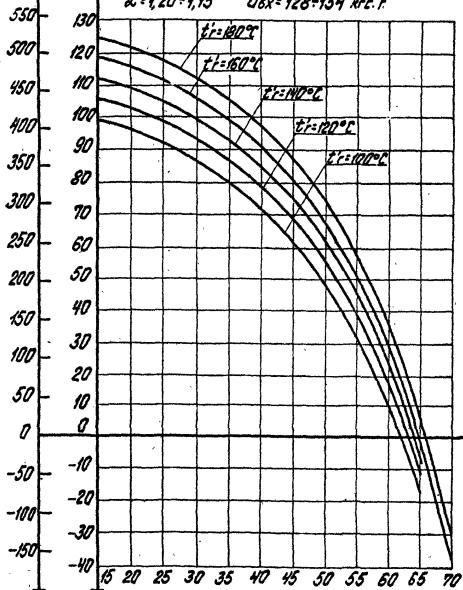
Испол.
68

копировано с диска

Формат А4 22967-01

$\Delta \bar{I}$ [КДж]
[КГ.С.Т.]

$$d = 1,20 \div 1,15 \quad d_{8x} = 128 \div 134 \text{ КГ.С.Т.}$$



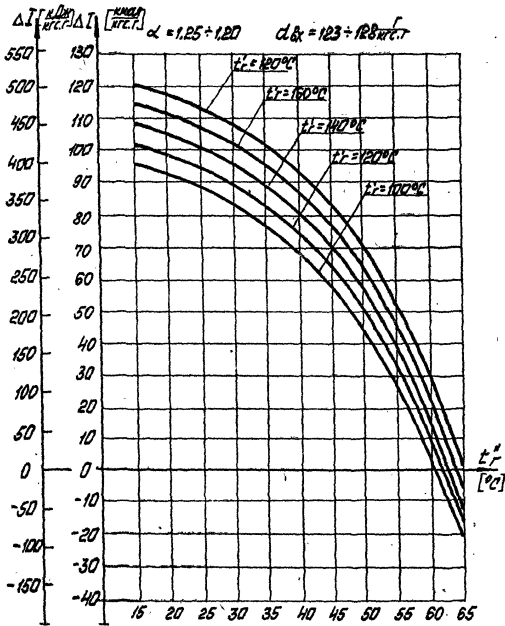
Номограмма 4.1. Определение разности энталпии
(продолжение) вытесненных газов на входе в КТАН
и на выходе из КТАН.

903-01-258.87

22967-01 75

Формат А4

Лист
69



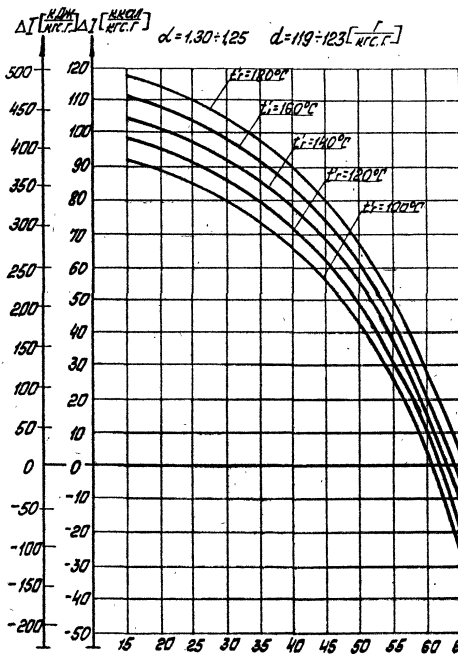
Номограмма 4.1 Определение разности энталпий (продолжение) вымобых газов на входе в КТАН и на выходе из КТАН.

903-01-258.87

Лист
70

Копировано с

формат А4 22957-01



Номограмма 4.1. Определение разности энталпии
 (продолжение) дымовых газов при входе в КТАН
 и на выходе из КТАН.

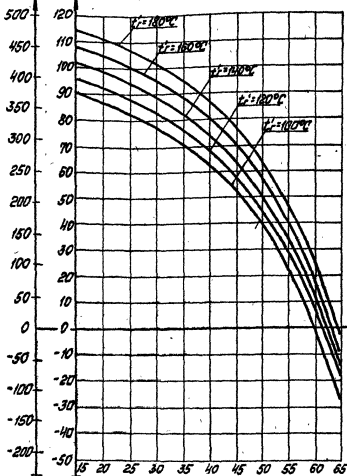
903-01-258.87

дисп

71

22967-01 77 Формат А4

$$\Delta I \left[\frac{\text{KJ/KM}}{\text{KJ/KP}} \right] \Delta I \left[\frac{\text{KJ/KM}}{\text{KJ/KP}} \right] \quad \alpha = 1.35 \div 1.30 \quad d = 115 \div 119 \left[\frac{\text{KJ/KM}}{\text{KJ/KP}} \right]$$



Номограмма 4.1. Определение разности энталпии
дымовых газов на входе в КТАН
и на выходе из КТАН

903-01-258.87

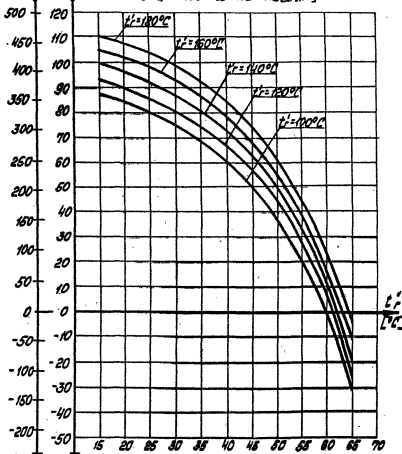
Лист
72

Копировано с Марса

Формат А4 22957-01

$\Delta T_{\text{вход}}^{\text{ном}} \Delta T_{\text{выход}}$

$$\alpha = 1.4 \div 1.35 \quad d = 110 \div 115 \text{ [м/с]} \text{ [с]}$$

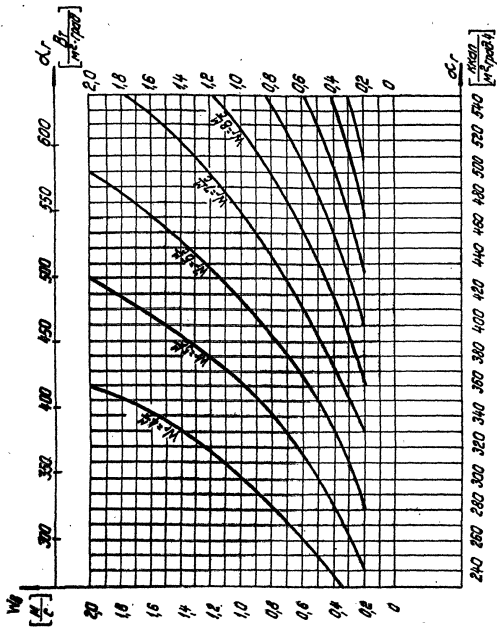


Номограмма 4.1. Определение разности энталпий (проблажение) дымовых газов на входе в КТАН и на выходе из КТАН.

903-01-258.87

Исполн

73

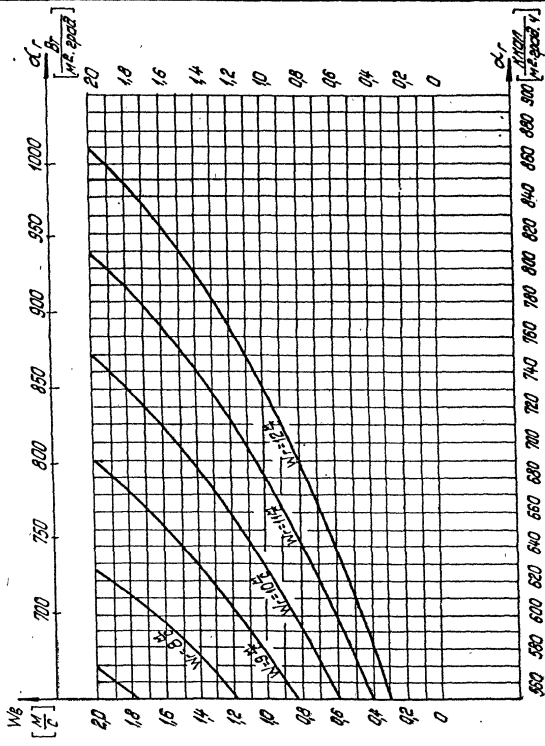


Номограмма 4.2. Определение коэффициента теплоотдачи от дымовых газов к трубкам насадки.

903-01-258.87

Лист
74

Формат А4 22967-01



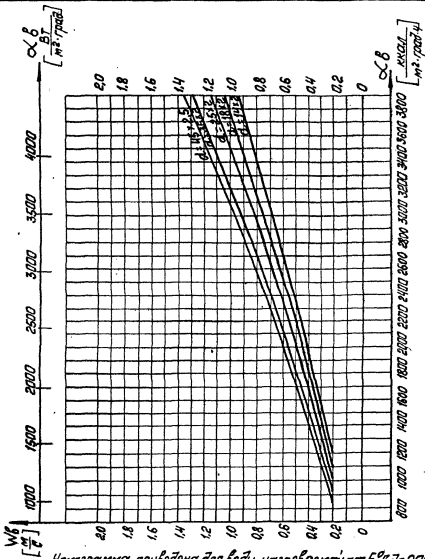
Номограмма 4.2. Определение коэффициента теплоотдачи (продолжение) от дымовых газов к трубкам насадки.

903-01-258.87

Лист

75

22967-01. 81 Формат А4



Номограмма приведена для воды нагреваемой от 5°C до 20°C, в случае нагрева воды от 20°C до 50°C $\alpha_B = \alpha_B' \times 1.227$.

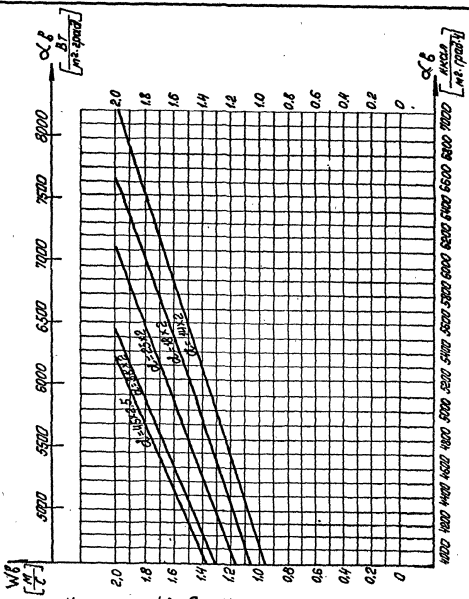
Номограмма 4.3. Определение коэффициента теплоотдачи от воды к трубкам насадки.

903-01-258.87

Лист
76

Копировано с х/ф

формат А4 22967-01



Номограмма 4.3. Определение коэффициента теплоотдачи от воды к трубкам насадки.
(продолжение)

903-01-258.87

22967-01 83 формат А4

Лист
77

- если F больше F_{kt} , увеличиваем коэффициент обвода, тем самым увеличивая расход дымовых газов через КТАН и уменьшая расчётную поверхность нагрева;
- если F меньше F_{kt} , уменьшаем коэффициент обвода, что в свою очередь ведёт к уменьшению расхода дымовых газов через КТАН и увеличению расчётной поверхности нагрева.

4.3.5. Проверочный тепловой расчёт КТАНов на ЭВМ

Для облегчения проведения проверочного теплового расчёта КТАНов Латгипропромом разработана программа расчёта на ЭВМ. Программа расчёта КТАНов имеет название "КТАН", написана на языке программирования *FORTRAN-4*, реализована на базе МИНИ-ЭВМ СМ-4.

Программа теплового расчёта КТАНов предназначена для:

- полуавтоматического выбора КТАНа из типоряда путём выбора и дальнейшего проверочного расчёта двух типоразмеров КТАНов. При этом номинальная теплопроизводительность одного из выбранных КТАНов больше, а второго КТАНа - меньше расчётной;
- проверки КТАНа из типоряда по конкретным исходным данным.

Входные данные программы:

- марка котла;
- расход топлива на котёл, м3/с;
- температура дымовых газов на входе в КТАН, °С;
- температура дымовых газов на выходе из КТАНа, °С;
- массовый удельный расход сухих дымовых газов, кг/м3;
- массовый удельный расход влажных дымовых газов, м3/м3;
- влагосодержание дымовых газов на выходе из КТАНа, кг/кг;
- доля дымовых газов, проходящих через КТАН;

903-01-258.87	Лист
	78

- температура воды на входе в КТАН, °С;
- температура воды на выходе из КТАНа, °С.

В программе предусмотрены 3 режима работы:

- 1 - выбор КТАНа;
- 2 - проверка КТАНа;
- 3 - конец.

Программа содержит по 10 значений следующих характеристик КТАНов из типоряда: теплопроизводительность, МВт; проходное сечение по воде, м²; проходное сечение по дымовым газам, м²; внутренний диаметр трубок насадки, м; поверхность теплообмена, м²; марка КТАНа.

Режим выбора служит для полуавтоматического выбора КТАНа из типоряда путём поверочного расчёта двух типоразмеров теплообменников, значение теплопроизводительности которых одного - больше, а другого - меньше.

Режим проверки служит для расчёта КТАНа из типоряда по конкретным исходным данным.

Режим "конец" служит для окончания работы.

Выходные программы:

- тип котла;
- доля дымовых газов, проходящих через КТАН;
- температура дымовых газов, °С;
- расход топлива, м³/с;
- объём дымовых газов, м³/с;
- марка КТАНа;
- проходное сечение по воде, м²;
- проходное сечение по дымовым газам, м²;
- поверхность нагрева, м²;

903-01-258.87

Пист

79

- температура дымовых газов на выходе из КТАНа, °С;
- теплопроизводительность КТАНа (I прибл.), МВт;
- теплопроизводительность КТАНа, МВт;
- коэффициент теплопередачи, Вт/м² ·°С;
- поверхность теплообмена (I прибл.), м²;
- поверхность теплообмена, м²;
- уточненная температура дымовых газов на выходе из КТАНа, °С;
- уточненный коэффициент теплопередачи, Вт/м² ·°С;
- скорость воды в насадке, м/с;
- скорость дымовых газов, м/с.

4.4. Аэродинамический расчёт газового тракта котлоагрегатов при установке КТАНов

4.4.1. Методика аэродинамического расчёта

При проектировании котельных с КТАНами или при установке КТАНов в существующих котельных необходимо выполнить аэродинамические расчёты газовых трактов котлоагрегатов для правильного выбора дымососов.

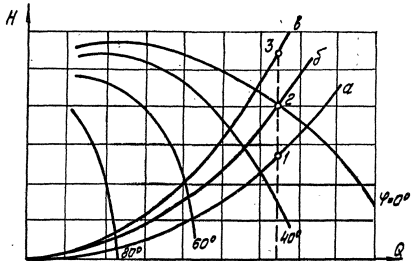
Аэродинамические расчёты выполняются по общепринятой методике, изложенной в /10/.

Возможны два случая включения КТАНов в газовый тракт котлоагрегатов с точки зрения аэродинамики:

- установка КТАНа по ходу дымовых газов после дымососа;
- установка КТАНа по ходу дымовых газов перед дымососом.

В обоих случаях, в варианте установки котла с КТАНом по сравнению с вариантом установки котла без КТАНа, аэродинамическое

903-01-258.87	лист
	80



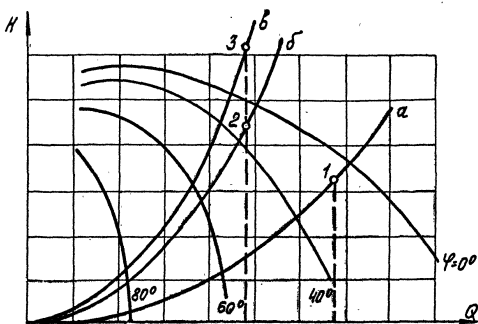
- а - характеристика газового тракта при установке карты без КТАН;*
- б, в - характеристика газового тракта при установке КТАН за вентилем*

Рис. 4.3 · Характеристика вентиля

903-01-258.87

лист

81



a - характеристика газового тракта при установке котла без КТАН;

b, b' - характеристика газового тракта при установке КТАН передымососом

Рис. 4.4 Характеристика дымососа

903-01-258.87

Лист
82

копировал Куб.

22967-01 88 формат А

сопротивление газового тракта возрастает, так как некоторое снижение аэродинамического сопротивления участка тракта от КТАНа до дымовой трубы, вызванное уменьшением объёмного расхода дымовых газов при их охлаждении в КТАНе, меньше, чем аэродинамическое сопротивление КТАНа с подключающими его газоходами и снижение самотяги дымовой трубы.

Примеры характеристик газового тракта и дымососа для перечисленных случаев включения КТАНов в газовый тракт показаны на рисунках 4.3 и 4.4.

На рисунке 4.3 показаны характеристики при установке КТАНа за дымососом. Возможны два варианта работы дымососа при внесении в тракт дополнительного аэродинамического сопротивления за счёт КТАНа. В первом варианте (характеристика газового тракта "б") дымосос имеет достаточный запас по напору для преодоления возросшего сопротивления (расчётная точка "2" не выходит за пределы характеристики). Во втором варианте (характеристика газового тракта "в") возросшее сопротивление превышает имеющийся у дымососа запас по напору (расчётная точка "3" выходит за пределы характеристики). В этом случае имеющийся дымосос не может развить необходимый напор, поэтому рекомендуется или заменить двигатель дымососа на двигатель с большим числом оборотов, или перейти к другому типу дымососа.

На рисунке 4.4 показаны характеристики дымососа и газового тракта при установке КТАНа перед дымососом.

В этом случае, кроме увеличения сопротивления газового тракта, происходит также уменьшение объёмного расхода дымовых газов, проходящих через дымосос за счёт их охлаждения в КТАНе.

903-01-258.87

Лист

83

Паровые и водогрейные котлы, для которых разработан типовой ряд КТАНов-утилизаторов, обычно комплектуются дымососами типа ДН. Характеристика Q - H этих дымососов показывает, что с ростом производительности дымососа Q создаваемый дымососом напор H сильно уменьшается. Снижение объёмной производительности дымососа за счёт охлаждения дымовых газов в КТАНе создаёт дополнительный запас по напору по сравнению с расчётной точкой, характеризующей работу дымососа без КТАНа (точка "1" на рис.4.4). Опыт Латгипропрома по разработке большого количества установок КТАнов на различных объектах показывает, что в подавляющем большинстве случаев при установке КТАнов перед дымососом существующие или комплектуемые с котлами дымососы обеспечивают требуемый напор (точка "2" на рис.4.4). В случае, если аэродинамическое сопротивление газового тракта при установке КТАНа сильно возрастет (например, из-за большой сложности и протяжённости подключающих газоходов) и дымосос не может развить требуемый напор (точка "3" на рис.4.4), необходимо или заменить двигатель дымососа или сам дымосос. Так как подобные случаи крайне редки, то вариант установки КТАНа перед дымососом является предпочтительным как с точки зрения использования существующего оборудования, так и с точки зрения экономии электроэнергии.

Подробная методика полного аэродинамического расчёта газового тракта в данной работе не приводится, так как является общепринятой.

Приведены только методика расчёта аэродинамического сопротивления КТАНа и пример расчёта газового тракта при установке КТАНа-4,5УГ за котлом ГМ-50-І4 (раздел 8).

4.4.2. Методика расчёта аэродинамического сопротивления КТАНов

Аэродинамическое сопротивление КТАНа складывается из сопротивлений участков прохода дымовых газов через орошающую камеру, активную насадку и сепарационное устройство.

В данном разделе даётся методика расчёта аэродинамического сопротивления КТАНа с примером расчёта аэродинамического сопротивления КТАНа-4,5УГ при пропуске через него номинального расхода дымовых газов. Результаты расчётов аэродинамических сопротивлений КТАНов приведены в таблице 4.8.

I. Сопротивление орошающей камеры Δh_k состоит из сопротивления гребенок разводки трубопроводов Δh_{rp} и сопротивления орошающего пространства камеры Δh_{op} .

Сопротивление гребенок трубопроводов, подводящих воду к форсункам камеры, выражается формулой, /II/:

$$\Delta h_{rp} = 0,1 \cdot Z \cdot \frac{v_r^2 \cdot \rho}{2g} = Q_1 \cdot Z \cdot h_g , \text{ Па} \quad (4.4.1),$$

где

Z - число рядов форсунок, для КТАНов $Z = I$;

v_r - скорость газов в орошающей камере, м/с;

ρ - плотность дымовых газов, кг/м³;

g - ускорение свободного падения, $g = 9,83 \text{ м/с}^2$.

Для КТАНов при номинальном расходе дымовых газов $v_r \approx 5 \text{ м/с}$ и температуре $t_r \approx 100^\circ\text{C}$ по рис.УП-2 из /10/ $h_g \approx 12,3 \text{ Па}$,

$$\Delta h_{rp} = 0,1 \cdot I \cdot 12,3 = 1,23 \text{ кг/м}^2.$$

903-01-258.87

Пист

85

Сопротивление орошающего пространства камеры связано с работой факелов разбрызгиваемой воды. Из /II/:

$$\Delta h_{op} = 120 \cdot \eta_H \cdot \mu \cdot P \quad \text{Па} \quad (4.4.2),$$

где

P - давление перед форсунками, МПа, для форсунок КТАНа

$P = 0,2 \text{ МПа};$

η_H - коэффициент, учитывающий направление орошения форсунок.

В худшем случае, когда все форсунки направлены против движения дымовых газов $\eta_H = 0,13$;

μ - коэффициент орошения, характеризующий отношение расхода орошающей воды к расходу дымовых газов, кг/кг.

Для КТАНов $\mu \approx 2 \text{ кг/кг}$

$$\Delta h_{op} = 120 \times 0,13 \times 2 \times 0,2 = 61,2 \text{ Па.}$$

Итого $\Delta h_K = \Delta h_{fp} + \Delta h_{op} = 1,23 + 61,2 \approx 62 \text{ Па.}$

2. Сопротивление участка прохода дымовых газов через активную насадку Δh_{an} является определяющим.

Активная насадка представляет собой пакет трубок, расположенных в шахматном порядке.

Сопротивление шахматного пучка Δh_{ap} определяется по формуле /10/:

$$\Delta h_{ap} = \Delta h_{fp} \cdot C_S \cdot C_d \cdot (Z + 1) \quad \text{Па} \quad (4.4.3).$$

Так как при орошении шахматного пучка происходит увеличение сопротивления пакета за счёт уменьшения проходного сечения и трения жидкости принято по рекомендациям /15/:

903-01-258.87

Пист
86

$$\Delta h_{an} = 1,5 \cdot \Delta h_{usp} \quad , \text{Па} \quad (4.4.4).$$

3. Сопротивление сепарационного устройства Δh_c складывается из сопротивления центробежного сепаратора Δh_{cs} и сопротивления жалюзийного сепаратора Δh_{jc} .

$$\Delta h_c = \Delta h_{jc} + \Delta h_{cs} \quad , \quad (4.4.5).$$

Сопротивление жалюзийного сепаратора выражается формулой /II/:

$$\Delta h_{jc} = \xi_c \cdot \frac{v_c^2 \cdot \rho}{2g} = \xi_c \cdot h_g \quad , \text{Па} \quad (4.4.6),$$

где

$\xi_c = 12,5$ – величина коэффициента местного сопротивления определяется по данным /II/;

v_c – скорость дымовых газов в сепараторе, м/с;

h_g – динамическое давление, Па, определяется по рис. УП-2 /10/ в зависимости от температуры и скорости дымовых газов в сепараторе.

Сопротивление центробежного сепаратора Δh_{cs} рассматривается как поворот на 180° и на основании /10/ определяется по формуле:

$$\Delta h_{cs} = B \cdot C \cdot K \cdot \xi \cdot h_g \quad , \text{Па} \quad (4.4.7),$$

903-01-258.87

Письм

87

903-01-258-87

88

Формат А4 22967-01

Таблица результатов аэродинамического расчета КТАНов-утилизаторов
таблица 48

Тип КТАН	Расход воздуха при давлении 0,1 кПа	Сопротивление движущей потоку для анс		Сопротивление движущей потоку в вак.		Сопротивление вентилируемого канала для анс		Суммарное сопротивление КТАН в вак.	
		кгс/м ²	МПа	кгс/м ²	МПа	кгс/м ²	МПа	кгс/м ²	Па
КТАН-12УГ	35,9	6,3	62,0	45,7	44,0	17,0	16,0	69	675
КТАН-6УГ	17,95	6,3	62,0	47,7	46,0	14,0	13,0	68	567
КТАН-4,5УГ	13,44	6,3	62,0	46,5	45,0	15,7	15,0	69	669
КТАН-2,3УГ	6,88	6,3	62,0	29,5	28,5	10,1	9,0	45	448
КТАН-1,5УГ	4,50	6,3	62,0	20,3	19,0	23,4	23,0	50	493
КТАН-0,8УГ	2,20	6,2	61,5	20,2	19,0	19,6	19,5	45	454
КТАН-0,5УГ	1,38	6,2	61,0	17,8	17,0	3,0	4,0	29	286
КТАН-0,25УГ	0,69	6,2	61,0	13,8	13,0	2,6	2,4	28	270
КТАН-0,1УГ	0,23	6,2	61,0	39,5	38,0	4,3	4,2	50	490
КТАН-0,05УГ	0,13	6,2	62,0	20,5	20,0	3,3	3,0	30	293

где

β - коэффициент, учитывающий угол поворота, по рис.УП-16
/10/ для $\alpha = 180^\circ$, $\beta = 3,0$;

C - коэффициент, учитывающий форму поворота, по рисунку
УП-17 /10/;

$K_{\Delta\xi}$ - произведение, учитывающее плавность поворота, по ри-
сунку УП-15 /10/, для $r/b = 0$ $K_{\Delta\xi} = 1,4$;

hg - динамическое давление, Па.

4. Суммарное сопротивление КТАНа, как уже указывалось выше,
равно:

$$\Delta h_{KT} = \Delta h_K + \Delta h_{an} + \Delta h_C , \text{ Па} \quad (4.4.8).$$

4.4.3. Пример расчёта аэродинамического сопротивления КТАНа=4,5УГ

I. Исходные данные:

- температура дымовых газов перед КТАНом, $t_1 = 140^\circ\text{C}$;
- температура дымовых газов в насадке, $t_2 = 90^\circ\text{C}$;
- температура дымовых газов в сепараторе, $t_3 = 40^\circ\text{C}$.

Геометрические размеры активной насадки:

- поперечный шаг трубок, $S_1 = 50 \text{ мм}$;

903-01-258.87

Пист

89

- продольный шаг трубок, $S_2 = 52$ мм;
- наружный диаметр трубок, $d_H = 32$ мм;
- число трубок по глубине пакета, $\lambda = 20$ шт.

Проходное сечение по газам:

- активная насадка, $S_r = 1,73$ м²;
- жалюзийный сепаратор, $S_r = 4,4$ м²;
- центробежный сепаратор, $S_r = 1,32$ м².

2. Сопротивление орошающей камеры:

на основании вышеизложенной методики

$$\Delta h_K = 61,8 \text{ Па}$$

3. Сопротивление активной насадки:

расход газов через активную насадку

$$V_r = 13,44 \times \frac{90+273}{273} = 17,9 \text{ м}^3/\text{с};$$

скорость газов через активную насадку.

$$w = \frac{17,9}{1,73} = 10,3 \text{ м/с.}$$

По полученным значениям $\delta_1 = 1,56$, $\delta_2 = 1,63$ и nomogrammам рисунка УП-7 /10/ определяем:

$$C_d = 1,0; \quad C_g = 1,2; \quad \Delta h_{sp} = 12,0 \text{ Па}$$

Сопротивление шахматных пучков:

$$\Delta h_{шп} = 12,0 \times 1,0 \times 1,2 \times (20 + 1) = 30,1 \text{ Па.}$$

Сопротивление активной насадки:

$$\Delta h_{ac} = 1,5 \times 30,1 = 452 \text{ Па.}$$

4. Сопротивление сепарационного устройства.

Расход газов через жалюзийный сепаратор:

$$V_r = 13,44 \times \frac{40+273}{273} = 15,4 \text{ м}^3/\text{с.}$$

903-01-258.87

Лист
90

Скорость газов в сепараторе:

$$w_r = \frac{15,4}{4,4} = 3,5 \text{ м/с.}$$

Динамическое давление:

$$h_g = 6,96 \text{ Па.}$$

Сопротивление жалозийного сепаратора:

$$\Delta h_{xc} = 12,5 \times 6,96 = 87 \text{ Па.}$$

Расход газов в центробежном сепараторе:

$$V_r = \frac{15,4}{2} = 7,7 \text{ м}^3/\text{с.}$$

Скорость газов в центробежном сепараторе:

$$w_r = \frac{7,7}{1,32} = 5,8 \text{ м/с.}$$

Динамическое давление по рис.УП-2: $h_g = 19,1 \text{ Па.}$

По графикам рис.УП-15, УП-16, УП-17 /10/ определяются коэффициенты: $B = 3,0$; $C = 0,83$; $K_d = 1,4$.

Сопротивление центробежного сепаратора:

$$\Delta h_{xc} = 3 \times 1,4 \times 0,83 \times 19,1 = 68 \text{ Па.}$$

Сопротивление сепарационного устройства:

$$\Delta h_c = 87 + 68 = 155 \text{ Па.}$$

5. Общее сопротивление КТАНа:

$$62 + 452 + 155 = 669 \text{ Па.}$$

4.5. Рекомендации по проектированию контура орошающей воды

4.5.1. Условия циркуляции орошающей воды

На рисунке 4.5 показана схема работы контура орошающей воды КТАНа. Насосом (поз.3) орошающая вода из бака (поз.2) подается на КТАН в орошающую камеру, где разбрызгивается центробежными форсунками. Орошающее устройство сконструировано таким образом,

903-01-258.87

Лист

91

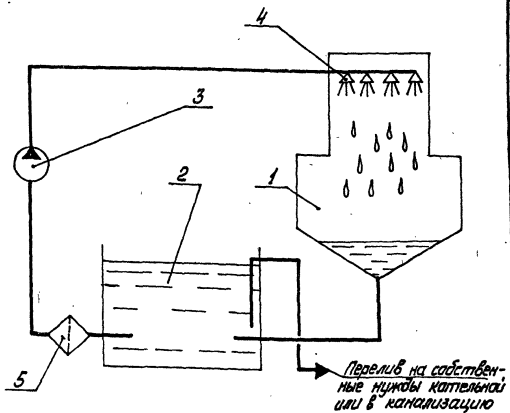


Рис. 4.5. Система циркуляции орошающей воды в КТАНе-уптилизаторе.

903-01-258.87

Лист
92

Копировано с сайта

Формат А4 22967-01

чтобы принятое количество форсунок и их производительность обеспечивали равномерную оптимальную плотность орошения, равную 6-8 м³/ч воды на 1 м² сечения насадки.

После прохода через активную насадку и сепарационное устройство орошающей воды собирается в нижней части сепарационного узла КТАНа, откуда через сливную трубу самотеком направляется в бак орошающей воды. Излишки орошающей воды, образующиеся за счет конденсации водяных паров из дымовых газов в КТАНе, сливаются из бака орошающей воды в канализацию или используются в цикле котельной. Количество сконденсированной из дымовых газов воды можно определить по формуле:

$$G_K = G_r^c \cdot B \cdot (d' - d''), \text{ кг/с} \quad (4.5.1),$$

где G_r^c – расход сухих дымовых газов, кг/м³;

B – расход топлива на котел, м³/с;

d', d'' – влагосодержание дымовых газов на входе в КТАН и выходе из КТАНа, кг/кг с.г.

В случае, когда разность уровней воды в нижней части сепарационного узла КТАНа и бака орошающей воды значительна ($> 0,5$ м), то выбор диаметра сливной трубы не представляет большой сложности, так как имеется достаточный запас по напору. На практике же нередко КТАН устанавливается на одном уровне с баком орошающей воды.

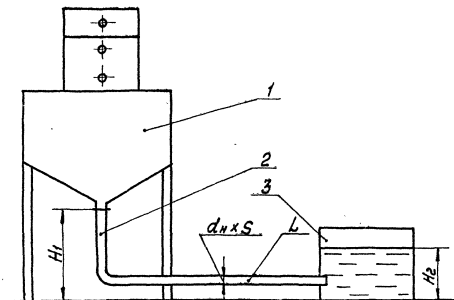
Поэтому обеспечить достаточный запас воды в баке и достаточно большую разность уровней воды в КТАНе и в баке не представляется возможным. При этом минимальный диаметр сливной трубы должен обеспечить нормальную циркуляцию орошающей воды при минимальной разности уровней воды в КТАНе и в баке.

В противном случае возможно заполнение сепарационного устройства водой и возникновение аварийной ситуации. На рис.4.6 показана

903-01-258.87

Лист

93



1 - КТАН - утилизатор;
 2 - сливная труба;
 3 - бак системы орошения

Рис. 4.6 Расчёчная схема для определения диаметра сливной трубы

903-01-258.87

Лист
94

Копировано с МАКС

Формат А4 22967-01 10

расчетная схема для определения скорости в сливном трубопроводе и его диаметра. Уравнение для расчета составлено из условия, что потери давления в сливной труbe не превышают разности уровней воды на выходе из КТАНа и в баке:

$$\Delta H = H_1 - H_2 = \left(\frac{\lambda \cdot l}{d} + \sum \xi \right) \cdot \frac{V^2}{2 \cdot g}, \quad \text{м (4.5.2),}$$

где ΔH – разность уровней, м;

l, d – длина и внутренний диаметр сливной трубы, м;

$\sum \xi$ – сумма коэффициентов местных сопротивлений;

V – скорость воды в сливной труbe, м/с;

λ – коэффициент гидравлического трения.

Коэффициент гидравлического трения определяется в общем случае по формуле Альтшуля:

$$\lambda = 0,11 \left(\frac{K_9}{d} + \frac{68}{Re} \right)^{0,25} \quad (4.5.3),$$

где K_9 – коэффициент шероховатости для стальных сварных труб, умеренно заржавевших $K_9 = 0,5 \cdot 10^{-3}$ м (табл. 3.1 /14/).

Скорость воды в сливной труbe рассчитана при фиксированных значениях ΔH и d , а также при длине сливной трубы $l=10$ м и 20 м. При этом в расчете принимаются следующие значения коэффициентов местных сопротивлений (на основании /14/):

- выход из КТАНа в трубу - $\xi_1 = 0,5$;
- поворот на 90° - $\xi_2 = 0,4$;
- вход в бак орошения - $\xi_3 = 1,0$.

При длине трубопроводов 10 м принимаются три поворота на 90° , при длине 20 м – 6 поворотов на 90° . В таблице 4.9 даны сводные результаты расчета критической скорости воды в сливном трубопроводе для различных разностей уровней и диаметров трубопроводов.

Полученные скорости являются минимальными для проектирования участ-

	Лист
	95

903-01-258.87

95

Таблица 4.9

Значения критической скорости воды
в сливной трубе

Диаметр сливной трубы d_s (мм)	$\Delta H_1 = 0,100 \text{ м}$		
	v (м/с)	v (м/с)	v (м/с)
200	$\frac{0,70}{0,65}$	$\frac{0,99}{0,78}$	$\frac{1,22}{0,96}$
150	$\frac{0,66}{0,55}$	$\frac{0,93}{0,72}$	$\frac{1,08}{0,88}$
125	$\frac{0,62}{0,48}$	$\frac{0,83}{0,68}$	$\frac{1,01}{0,77}$
100	$\frac{0,58}{0,47}$	$\frac{0,77}{0,63}$	$\frac{0,94}{0,76}$
80	$\frac{0,54}{0,40}$	$\frac{0,76}{0,57}$	$\frac{0,86}{0,69}$
65	$\frac{0,49}{0,48}$	$\frac{0,70}{0,52}$	$\frac{0,77}{0,64}$
50	$\frac{0,44}{0,36}$	$\frac{0,62}{0,46}$	$\frac{0,69}{0,56}$
32	$\frac{0,35}{0,28}$	$\frac{0,49}{0,36}$	$\frac{0,54}{0,44}$
20	$\frac{0,27}{0,21}$	$\frac{0,38}{0,27}$	$\frac{0,47}{0,34}$

В числителе даны значения скоростей для сливной трубы $\ell=10\text{м}$, в знаменателе - для сливной трубы $\ell=20\text{м}$.

ка контура орошения от КТАНа до бака орошающей воды. В таблице 4.10 приведены диаметры сливной трубы для КТАНов из типоряда. Рекомендуется придерживаться разности уровней $\Delta H = 0,2\text{ м}$.

4.5.2. Выбор бака орошающей воды.

Основное назначение бака – создать необходимый запас воды для нормальной эксплуатации насоса системы орошения. При пуске насоса необходимо, чтобы емкости бака было бы достаточно для момента возврата воды от КТАНа. Для расчета объема бака необходимо знать длину трубопроводов и их диаметр. При этом принимается, что участок от форсунок КТАНа до сливной трубы орошающей воды проходит не более чем за 30 секунд.

Время цикла, за которое орошающая вода возвращается в бак, складывается из времени прохождения нагнетательной трубы системы орошения, времени прохождения сливной трубы системы орошения и времени прохождения участка от форсунок до сливной трубы. Расчеты показывают, что достаточно иметь 1-2-минутный (в зависимости от длины трубопроводов) запас орошающей воды в баке. Ниже в таблице 4.11 даются рекомендации по применению стандартных баков в зависимости от расхода орошающей воды. При этом принимается, что бак и КТАН установлены на одном уровне и отметка низа поддона в КТАНе для сбора орошающей воды – 0,4+0,6 м. Необходимо также отметить следующий момент: в КТАНах-утилизаторах постоянно происходит конденсация водяных паров, содержащихся в дымовых газах, что приводит к росту уровня воды в баке. Для того, чтобы сепарационный узел КТАНа не оказался бы залит водой, необходимо установить в баке перелив на отметке, соответствующей разности уровней воды на выходе из КТАНа и в баке орошающей воды, обеспечивающей нормальную циркуляцию орошающей воды.

903-01-258.87

Лист

97

Таблица 4.10

Значения рекомендуемых диаметров сливной трубы

Наименование	$\Delta H_1 = 0,100 \text{ м}$	$\Delta H_2 = 0,200 \text{ м}$	$\Delta H_3 = 0,300 \text{ м}$
	$d_y (\text{мм})$	$d_y (\text{мм})$	$d_y (\text{мм})$
КТАН - 12УГ	<u>200</u> 200	<u>200</u> 200	<u>150</u> 200
КТАН - 6УГ	<u>150</u> 150	<u>125</u> 150	<u>125</u> 125
КТАН - 4,5УГ	<u>125</u> 150	<u>125</u> 125	<u>100</u> 125
КТАН - 2,3УГ	<u>125</u> 125	<u>100</u> 100	<u>100</u> 100
КТАН - 1,5УГ	<u>100</u> 100	<u>100</u> 100	<u>80</u> 80
КТАН - 0,8УГ	<u>80</u> 80	<u>65</u> 80	<u>65</u> 65
КТАН - 0,5УГ	<u>65</u> 65	<u>50</u> 65	<u>50</u> 65
КТАН - 0,25УГ	<u>50</u> 50	<u>40</u> 50	<u>40</u> 40
КТАН - 0,14УГ	<u>32</u> 32	<u>25</u> 25	<u>25</u> 25
КТАН - 0,05УГ	<u>25</u> 25	<u>20</u> 25	<u>20</u> 20

В числителе даны значения рекомендуемых диаметров для сливной трубы $\ell = 10 \text{ м}$, в знаменателе — для сливной трубы $\ell = 20 \text{ м}$.

903-01-258.87

лист
98

Копировано с дж

формат А4 22967-01

Таблица 4.11

Выбор бака орошающей воды в зависимости от расхода воды

Расход орошающей воды, м ³ /ч	Объем бака, м ³ ОСТ 34-42-395-77
10+20	1,0
20+40	2,5
40+60	6,3

4.6. Методика гидравлического расчета блока насадки КТАНов из типоряда

Общее сопротивление блока насадки состоит из:

- сопротивления участка входа подводящей трубы в коллектор;
 - сопротивления трубной насадки;
 - сопротивления участка входа в отводящую трубу из коллектора.
- I) Сопротивление участка входа подводящей трубы в коллектор.

Сопротивление участка входа подводящей трубы определяется по формуле:

$$\Delta h_1 = \xi_{под} \cdot \frac{W_{под}^2}{2 \cdot g \cdot V_{ср}} , \text{ Па} \quad (4.6.1),$$

где $W_{под}$ - скорость воды в подводящей трубе, м/с;

$V_{ср}$ - средний удельный объем нагреваемой воды, м³/кг;

g - ускорение свободного падения $g = 9,81$ м/с²;

$\xi_{под}$ - коэффициент сопротивления входа подводящей трубы в коллектор насадки, определяемый из /12/:

$$\xi_{под} = 1,3$$

2) Сопротивление трубной насадки определяется по формуле:

903-01-258.87

Лист

99

$$\Delta h_2 = \sum \xi \cdot \frac{W_{tr}^2}{2 \cdot g \cdot v_{tr}} , \quad \text{Па} \quad (4.6.2),$$

где W_{tr} - средняя скорость в трубах, м/с;

$\sum \xi$ - суммарный коэффициент сопротивления трубной насадки, определяемый как:

$$\sum \xi = \xi_{bx} + \xi_{bkh} + \xi_{pob} + \lambda_{tr} \quad (4.6.3),$$

где ξ_{bx} - коэффициент сопротивления входа в трубы /13/

$$\xi_{bx} = 1,0,$$

ξ_{bkh} - коэффициент сопротивления выхода из трубок /13/

$$\xi_{bkh} = 1,0,$$

ξ_{pob} - коэффициент сопротивления поворотов в трубной насадке:

$$\xi_{pob} = n \cdot \xi'_{pob} \quad (4.6.4),$$

где n - число поворотов в трубной насадке;

ξ'_{pob} - коэффициент сопротивления одного поворота на 180° , при выходе из одной секции теплообменника в другую через промежуточную камеру /13/

$$\xi'_{pob} = 2,5,$$

λ_{tr} - коэффициент сопротивления трения в трубках насадки:

$$\lambda_{tr} = \lambda \cdot \frac{\ell}{d_3} \quad (4.6.5),$$

где d_3 - внутренний диаметр трубок насадки, м;

ℓ - общая длина хода воды, м

$$\ell = \ell_{tr} \cdot z \quad (4.6.6),$$

где ℓ_{tr} - длина трубы;

z - число рядов трубок по вертикали;

λ - коэффициент гидравлического трения:

$$\lambda = 0,11 \cdot \left(\frac{K_3}{d_3} + \frac{68}{Re} \right)^{0,25} \quad (4.6.7),$$

где K_3 - эквивалентная равномерно-зарисистая обсолютная шероховатость,

для сварных труб по /14/

$$K_3 = 0,1 \text{ мм} = 0,0001 \text{ м},$$

Re - число Рейнольдса.

3) Сопротивление участка входа в отводящую трубу из коллектора

ра

$$\Delta h_3 = \xi_{ot} \cdot \frac{W_{or}^2}{2g \cdot \nu_{cp}} , \text{ Па} \quad (4.6.8),$$

где W_{or} - скорость воды в отводящей трубе, м/с;

ξ_{ot} - коэффициент сопротивления выхода из коллектора насадки в отводящую трубу, из /12/ $\xi_{ot} = 0,4$.

Суммарное гидравлическое сопротивление КТАНа по какому-либо потоку воды будет складываться из суммарного сопротивления блоков насадки, через которые проходит поток и сопротивления трубопроводов перепуска потока воды из одного блока насадки в другой.

В таблице 4.12 приведены результаты гидравлических расчетов КТАНов из типоряда.

4.7. Работа КТАНов-утилизаторов в газомазутных котельных

КТАНЫ-утилизаторы, включенные в разработанный типовой ряд предназначены для установки в газифицированных котельных. Однако в соответствии с действующими нормами и правилами, подавляющее большинство котельных, работающих на газе, имеют и резервный вид топлива - мазут. Длительность работы котельных на мазуте зависит от выделяемого лимита природного газа и колеблется в широких пределах - от нескольких дней в году до нескольких месяцев. При отключении КТАНов в котельной необходимо предусмотреть дополнительные теплообменники, дублирующие нагрев потоков воды в КТАНах.

В разработанной конструкции КТАНа-утилизатора отсутствуют элементы, необходимые для работы на дымовых газах, образующихся при сжигании мазута - отсутствуют антакоррозийные покрытия актив-

903-01-258.87

Лист

101

Гидравлические характеристики блока насадки

Таблица 4.12

Типоряд КТАНов	Число ряд- дов трубок в блоке насадки	Диаметр трубок	Суммарный коэффициент сопротивления блока насадки	Скорость течения теплоноси- теля	Суммарное гидравлическое сопротивление блока насадки
	Σ	$d_{\text{их}} \times S$ мм	Σ	W м/с	МПа $k_{\text{гс}}/\text{см}^2$
КТАН-12УГ	10	32x2	28,42	1,3	0,026 0,260
КТАН-6УГ	10	32x2	28,45	1,29	0,026 0,260
КТАН-4,5УГ	10	32x2	28,51	1,27	0,024 0,250
КТАН-2,3УГ	10	32x2	29,96	0,91	0,013 0,140
КТАН-1,5УГ	10	25x2	32,73	0,72	0,009 0,091
КТАН-0,8УГ	10	25x2	32,18	0,78	0,010 0,105
КТАН-0,5УГ	14	18x2	48,54	0,86	0,018 0,190
КТАН-0,25УГ	14	18x2	48,39	0,88	0,019 0,196
КТАН-0,1УГ	14	14x2	42,76	1,01	0,022 0,226
КТАН-0,05УГ	18	14x2	60,67	0,71	0,015 0,157

ной насадки и корпуса КТАНа, не решен вопрос удаления из контура орошения кислого конденсата дымовых газов. Поэтому при переходе котельной на работу на резервном виде топлива - мазуте установленные в котельной КТАны-утилизаторы необходимо плотно отключить от газового тракта и пропустить дымовые газы по обводному газоходу непосредственно в дымовую трубу. Необходимо отметить, что отключение КТАнов должно быть герметичным, иначе даже небольшое количество дымовых газов, содержащих сернистый ангидрид, может попасть в КТАН и охладиться на холодных поверхностях нагрева ниже точки росы ($\sim 140^{\circ}$ при сжигании мазута). При таком охлаждении из дымовых газов будет выпадать кислый конденсат, который вызовет интенсивную коррозию, и, как следствие, КТАН-утилизатор выйдет из строя. Процесс коррозии будет наиболее интенсивным при установке КТАНа вне помещения котельной на открытом воздухе.

Устанавливаемые обычно на газовоздухопроводах клапаны ПГВУ не обеспечивают плотного отключения газового тракта, так как между створками клапана и корпусом, как правило, всегда имеются зазоры.

Плотного отключения газоходов надежнее всего можно добиться путем установки заглушек. Установка заглушек на подводящих газопроводах КТАнов-утилизаторов малой и средней мощности не вызывает особой трудности, однако для крупных КТАнов (КТАН-4,5УГ; 6УГ; 12УГ) заглушки имеют значительные габариты и массу и их установка весьма трудоемка.

Для таких КТАнов как вариант решения может быть предложено отключение КТАНа обычными клапанами и создание в КТАНе и газоходе на участке между клапанами избыточного давления, достаточного для предотвращения пропуска дымовых газов через отверстия в клапанах. Необходимое избыточное давление можно создать путем подвода неболь-

903-01-258.87

Лист

103

22967-01 109 Формат А4

шого количества воздуха от напорной стороны дутьевого вентилятора.

Также учитывая то, что газовый тракт котлоагрегатов работает до дымососа под разрежением, можно создать небольшие подсосы воздуха (например открыть смотровые лючки в КТАНе) и тем самым надежно отключить КТАН по дымовым газам.

При обратном переходе котельной с работы на мазуте на сжигание природного газа, до включения КТАНа-утилизатора в работу необходимо выдержать некоторое время (устанавливаемое в процессе эксплуатации) для очистки газового тракта от сажистых частиц, содержащих окислы серы.

Необходимость указанных мероприятий не только затрудняет эксплуатацию КТАНов, но и снижает эффективность их работы, так как во время работы котельной на мазуте теплота уходящих дымовых газов не используется и имеет место переког топлива. Этого положения можно избежать, если для котельных малой и средней мощности отказаться от резервного топлива, а неравномерности в поступлении природного газа сглаживать за счет сжигания резервного топлива – мазута только на крупных теплоисточниках – районных котельных мощностью выше 100+150 Гкал/ч и ТЭЦ. В этом случае на крупных теплоисточниках становится экономически оправданной установка устройств для очистки дымовых газов от сернистого ангидрида. Одним из элементов этих устройств может быть КТАН соответствующей конструкции, который наряду с очисткой дымовых газов будет выполнять и свою функцию теплоутилизатора. Такой подход к решению проблемы позволяет добиться не только круглогодичной экономии топлива на газомазутных и газовых котельных, но и значительно снизить загрязнение атмосферного воздуха промрайонов и городов за счет экономически оправданной очистки дымовых газов.

903-01-258.87	Лист 104
---------------	-------------

4.8. Установка взрывных клапанов, лестниц и площадок для обслуживания.

В соответствии с "Правилами устройства и безопасной эксплуатации паровых и водогрейных котлов" КТАны являются экономайзерами (п. I-2-8). Поэтому в верхней части подводящего газохода КТАНа согласно разделу 2-4 "Правил..." должны устанавливаться взрывные предохранительные клапаны.

В процессе работы КТАны не требуют постоянного наблюдения и обслуживания, однако с целью профилактики или выяснения причин возникающих неполадок требуется производить их периодический осмотр. Осмотр подлежат фланцевые соединения с целью проверки их герметичности, а также форсунки, которые в случае засорения должны прочищаться. Для возможности осмотра форсунок через смотровые окна, расположенные на значительной высоте, КТАны должны оборудоваться площадками и лестницами в соответствии с разделом 8-6 "Правил...". Количество площадок и лестниц и их размещение определяются проектом установки аппаратов.

903-01-258.87

Пист

105

5. РАБОТА ДЫМОВЫХ ТРУБ КОТЕЛЬНЫХ
ПРИ УСТАНОВКЕ КТАНОВ-УТИЛИЗАТОРОВ

903-01-258.87

ПИСТ
I06

5.1. Характеристика проблемы

При установке КТАНов в котельных, работающих на природном газе, возникает проблема предотвращения конденсации влаги в газоходах, дымососах и, главным образом, в дымовых трубах. Решение этой проблемы имеет важное значение с точки зрения эксплуатационной надежности котельной.

Несмотря на то, что за КТАНами дымовые газы охлаждаются до $30+50^{\circ}\text{C}$ и частично осушаются, при этом их влагосодержание с $100+130 \text{ г/кг}$ сухих газов уменьшается до $30+60 \text{ г/кг}$, а температура точки росы снижается при этом с $50+60^{\circ}\text{C}$ до $30+40^{\circ}\text{C}$, вероятность конденсации водяных паров на внутренних стенках боровов и дымовой трубы в случае установки КТАНов сохраняется также, как в котельных без них.

В данном разделе приведены способы борьбы с явлением конденсации влаги в газоходах и дымовых трубах, дана методика расчета температуры внутренней стенки дымовой трубы. На примере реальных типовых проектов котельных и дымовых труб проведен расчет температуры внутренней стенки дымовой трубы при установке в этих котельных КТАНов из типового ряда.

5.2. Способы предотвращения конденсации влаги из дымовых газов на внутренних поверхностях газоходов и дымовых труб

Для предотвращения конденсации влаги из дымовых газов должны быть выполнены следующие условия:

- отсутствие надземных неизолированных газоходов в газоотводящем тракте;
- отсутствие значительных подсосов холодного воздуха в газоотводящем тракте;

Лист

107

903-01-258.87

– отсутствие грунтовых вод в газоходах и борове при их подземном расположении;

– уменьшение длины газоотводящего тракта (на практике установлено, что оптимальная длина газоходов должна равняться $l/4$ высоты дымовой трубы /16/).

Определяющими параметрами, влияющими на конденсацию влаги из дымовых газов в дымовой трубе, являются температура, скорость и влагосодержание дымовых газов. Температура и скорость дымовых газов определяют условия теплообмена от дымовых газов к наружному воздуху, а влагосодержание определяет температуру точки росы на поверхности дымовой трубы.

Поэтому все последующие расчеты и рекомендации сводятся к определению граничных (допустимых) значений температур, скоростей и влагосодержаний дымовых газов, обеспечивающих режим работы дымовой трубы без конденсации влаги. Наиболее простым и легко осуществимым мероприятием по увеличению температуры дымовых газов в дымовой трубе при установке КТАНов в котельных является байпасирование части уходящих газов помимо КТАНа. Однако байпасирование части газов приводит к уменьшению теплопроизводительности КТАНа и недостаточной их осушке, поэтому этот метод не всегда может дать положительный эффект.

В некоторых случаях может оказаться рациональным подмешивание к газам небольшого количества горячего воздуха /17/ из верхней зоны котельного зала с температурой более 40°C , или воздуха после калориферов, если они на котлах установлены.

Преимущество подмешивания горячего воздуха заключается в том, что воздух имеет более низкое влагосодержание, чем дымовые газы, уходящие из котельного агрегата. Поэтому подмешивание горячего

903-01-258.87

Лист
108

воздуха снижает влагосодержание и относительную влажность уходящих после КГАНа газов и увеличивает разность ($t_{yx} - t_p$). Если вышеперечисленные способы не приводят к режиму работы дымовой трубы без конденсации влаги, то конструкция дымовой трубы должна предусматривать возможность отвода образующегося конденсата в нижней части дымовой трубы, а внутренняя поверхность кладки трубы должна быть покрыта гидроизоляцией. То же относится и к боркам.

Как вариант возможна установка металлической дымовой трубы с устройством тепловой изоляции по наружной поверхности для предотвращения охлаждения дымовых газов по высоте трубы и с нанесением термостойкого противокоррозийного покрытия на внутреннюю и наружную поверхности трубы.

5.3. Методика определения условий возникновения конденсации в дымовой трубе

Конденсация влаги в дымовой трубе возможна, если температура внутренней стенки трубы (t'_{cr}) ниже температуры точки росы (t_p) дымовых газов. Чтобы не происходила конденсация влаги из уходящих дымовых газов на внутренней поверхности дымовой трубы необходимо, чтобы температура внутренней поверхности футеровки дымовой трубы была больше температуры точки росы дымовых газов на 5°C /16/.

Для определения (t'_{cr}) пользуются уравнениями /18/:

$$t'_{cr} = t_r - \frac{q}{\alpha_1}; \quad q = K \cdot (t_r - t_\delta), \quad (5.1)$$

$$t'_{cr} = t_r - \frac{K \cdot (t_2 - t_\delta)}{\alpha_1} \quad (5.2)$$

где t'_{cr} — температура внутренней стенки дымовой трубы, °С;

- t_r - средняя температура газов в дымовой трубе, $^{\circ}\text{C}$;
 K - коэффициент теплопередачи от газов к наружному воздуху, $\text{Вт}/\text{м}^2\text{C}$
 α , - коэффициент теплоотдачи от газов к стенке дымовой трубы, $\text{Вт}/\text{м}^2\text{C}$
 q - удельный тепловой поток, $\text{Вт}/\text{м}^2$;
 t_b - температура наружного воздуха, $^{\circ}\text{C}$.

При прохождении дымовых газов через дымовую трубу происходит их охлаждение, при этом их температура определяется по формуле /16/:

$$t_r = t_b + (t_o - t_b) \cdot e^{-\frac{q d x}{c \sigma}} \quad (5.3),$$

- где t_r - средняя температура газов в дымовой трубе, $^{\circ}\text{C}$;
 t_b - температура наружного воздуха, $^{\circ}\text{C}$;
 t_o - температура дымовых газов на входе в дымовую трубу, $^{\circ}\text{C}$;
 d - внутренний диаметр трубы, м;
 K - коэффициент теплопередачи, $\text{Вт}/\text{м}^2\text{C}$;
 X - расстояние расчетного сечения от входа в трубу, м;
 C - теплоемкость дымовых газов, $\text{Дж}/\text{кг}\cdot^{\circ}\text{C}$;
 G - расход дымовых газов, кг/с.

Массовый расход дымовых газов за котлом определяется по формуле:

$$G = G_r^c \cdot \frac{B_K \cdot (1 + d_{g.r.})}{1000}, \text{ т/ч} \quad (5.4),$$

- где G_r^c - масса сухих дымовых газов, кг/м³;
 B_K - расход топлива на котел, м³/с;
 $d_{g.r.}$ - влагосодержание дымовых газов на выходе из котла, кг/кг с.г.

903-01-258.87	ПМСТ
	IIО

Коэффициент теплоотдачи от дымовых газов к стенке дымовой трубы и коэффициент теплопередачи через стенку дымовой трубы определяются как:

$$\alpha_1 = \frac{Nu \cdot \lambda}{d_1} \quad , \quad (5.5)$$

где Nu - критерий Нуссельта;

λ - коэффициент теплопроводности дымовых газов, Вт/м² °С;

d_1 - средний диаметр дымового канала в пределах расчетной зоны, м.

Критерии Нуссельта и Рейнольдса находятся из выражений:

$$Nu = 0,032 \cdot Re^{0,8} \cdot Pr^{0,3} \left(\frac{d_1}{h} \right)^{0,054}; \quad Re = \frac{w \cdot d_1}{\nu} \quad (5.6),$$

где w - средняя скорость дымовых газов в пределах расчетной зоны, м/с;

ν - коэффициент кинематической вязкости дымовых газов, м²/с;

Re - критерий Рейнольдса;

Pr - критерий Прандтля;

h - высота расчетной зоны, м.

По /16/ при отношении $\frac{d}{d_H} < 0,1$

$$K = \frac{1}{\frac{1}{d_1} + \sum_{i=1}^n \frac{d_i}{\lambda i} + \frac{1}{d_2}} \quad (5.7)$$

где d - толщина стенки дымовой трубы, м;

d_H - наружный диаметр дымовой трубы, м;

α_2 - коэффициент теплоотдачи от дымовой трубы к наружному воздуху, Вт/м² °С;

при высоте трубы $h > 0$ $\alpha_2 = 23$ Вт/м² °С

при $h > 20$ м $\alpha_2 = 35$ Вт/м² °С

при $h > 80$ м $\alpha_2 = 46,5$ Вт/м² °С;

903-01-258.87

Письмо

III

$\sum_{i=1}^n \frac{\delta_i}{\lambda_i}$ - термическое сопротивление слоев стенки дымовой трубы, м².°С/Вт.

По /18/:

- для кирпичных труб $\sum_{i=1}^n \frac{\delta_i}{\lambda_i} = 1,34$ м².°С/Вт;

- для железобетонных труб $\sum_{i=1}^n \frac{\delta_i}{\lambda_i} = 0,94$ м².°С/Вт.

Для определения температуры точки росы дымовых газов (по $J-d$ диаграмме) необходимо знать их влагосодержание и температуру.

При байпасировании части дымовых газов помимо КТАНа, влагосодержание и температура после смешения определяются по формулам:

$$d_{cm} = (\bar{G}_{ktan} \cdot d_{ktan} + \bar{G}_{per} \cdot d_k) / \bar{G}_{cm}, \quad (5.8)$$

$$t_{cm} = (\bar{G}_{ktan} \cdot t_{uyx} + \bar{G}_{per} \cdot t_k) / \bar{G}_{cm}, \quad (5.9)$$

где

\bar{G}_{ktan} - расход дымовых газов за КТАНом, кг/с;

\bar{G}_{per} - расход дымовых газов по перепуску, кг/с;

\bar{G}_{cm} - расход дымовых газов после смешения, кг/с;

d_{ktan} - влагосодержание дымовых газов за КТАНом, кг/кг с.г.;

d_k - влагосодержание дымовых газов за котлом, кг/кг с.г.;

t_{uyx} - температура дымовых газов за КТАНом, °С;

t_k - температура дымовых газов за котлом, °С.

Процесс теплообмена в дымовой трубе происходит следующим образом:

при малых скоростях дымовых газов образуется пристенный ламинарный слой, толщина которого меняется в зависимости от скорости потока дымовых газов, при этом чем меньше скорость, тем больше толщина слоя, чем больше скорость, тем меньше толщина слоя.

При определенных скоростях дымовых газов ($Re = 10^4 + 5 \cdot 10^5$) про-

903-01-258.87

Лист
II2

исходит переход ламинарного слоя в пристенный турбулентный (назовем эту скорость критической) и выравнивание t_r и t_{cr}' . В режимах с малыми скоростями выравниванию t_r и t_{cr}' препятствует термическое сопротивление пристенного ламинарного слоя.

Из этого следует, что для обеспечения режима работы дымовой трубы без конденсации влаги необходимо поддерживать w газов больше w_{cr} .

Однако, увеличение скорости дымовых газов в дымовой трубе может привести к возникновению избыточного статического давления в верхней части дымовой трубы, где скорости дымовых газов максимальные. При больших скоростях дымовых газов в дымовой трубе создается избыточное статическое давление, дымовые газы проникают через швы футеровки в зону холодных температур, где происходит образование конденсата. Это приводит к интенсивному намоканию и разрушению кладки ствола. Таким образом, следует избегать как низких, так и высоких скоростей дымовых газов в дымовой трубе. Основываясь на данные реальных обследований дымовых труб в /16/ и определенных в этой работе минимальных скоростей дымовых газов при выходе из дымовой трубы ($w > 6 \text{ м/с}$) и минимальных температур на внутренней поверхности дымовой трубы (t_{cr}' больше $(t_p + 5^\circ\text{C})$), предлагается критерий $Re \cdot Q$, учитывающий скорость дымовых газов при выходе из дымовой трубы, температуру внутренней стенки дымовой трубы и точку росы:

$$Re = \frac{w \cdot d_0}{\nu}; \quad Q = \frac{t_{cr}' - t_p}{t_{cr}'}$$

$$Re \cdot Q = \frac{w \cdot d_0}{\nu} \cdot \frac{(t_{cr}' - t_p)}{t_{cr}'},$$

903-01-258.87

Пист

II3

- где w - скорость дымовых газов на выходе из дымовой трубы, м/с;
 d_0 - внутренний диаметр устья дымовой трубы, м;
 ν - коэффициент кинематической вязкости дымовых газов, м²/с;
 $t'_{ст}$ - температура внутренней стенки дымовой трубы, °С;
 t_p - точка росы дымовых газов в дымовой трубе, °С.

Используя данные /16/ можно установить граничные значения критерия $Re \cdot Q = 2,2 \cdot 10^4$, выше которого режим работы дымовых труб без конденсации влаги гарантирован.

5.4. Типовые условия работы КТАНов в котельных и возможности работы при этом дымовых труб в режимах без конденсации влаги

Для выявления возможности работы дымовых труб котельных с КТАНами в режимах без конденсации влаги (повышение температуры дымовых газов осуществляется путем байпасирования части дымовых газов помимо КТАНа) рассмотрена серия типовых проектов котельных.

Расчеты проведены исходя из следующих предположений:

- загрузка КТАНов при работе котельной в закрытой системе теплоснабжения может быть обеспечена за счет собственных нужд котельной на 60%;
 - загрузка КТАНов при работе котельной в открытой системе теплоснабжения может быть обеспечена за счет собственных нужд котельной на 100%. Кроме того, определяется процент загрузки КТАНа, при котором в дымовой трубе еще не происходит конденсация влаги, то есть когда $t'_{ст}$ больше или равно ($t_p + 5^{\circ}\text{C}$).
- По вышеприведенной методике составлен алгоритм расчета и разра-

903-01-258.87	Прил
	II4

ботана программа расчета определения температуры внутренней стени дымовой трубы при различных режимах работы котельной.

Для климатических условий, принимаемых для типового проектирования, характерны следующие температуры:

$t_{\text{нв}}$ – расчетная температура наружного воздуха -30°C (максимальный режим работы дымовой трубы);

$t_{\text{нр}}^{per}$ – температура наружного воздуха в точке перелома температурного графика $+1,0^{\circ}\text{C}$ (минимальный режим работы дымовой трубы);

$t_{\text{срот}}$ – средняя температура наружного воздуха за отопительный период $-5,7^{\circ}\text{C}$ (номинальный режим работы дымовой трубы).

Для этих условий были выполнены расчеты дымовых труб для различных типовых проектов. Результаты расчетов теплообмена в дымовой трубе для одного из типовых проектов приведены на рис.5.1.

Как показывают результаты расчета, наиболее тяжелые условия работы дымовой трубы наблюдаются в режиме точки перелома температурного графика; при этом запас по температуре составляет 11°C при перепуске 40%.

5.5. Режим работы котлов в котельной с КТАНами в разрезе года

Для котельных, работающих без КТАНов, Латгипропром провел исследование по определению оптимального режима работы котлов в разрезе года.

Наиболее экономичным является покрытие переменной в разрезе года тепловой нагрузки всеми котлами котельной.

Экономический эффект образуется как за счет экономии топлива при работе котла на пониженных нагрузках, так и за счет работы тягодутьевых машин в области более высокого к.п.д.

903-01-258.87

Пист

II5

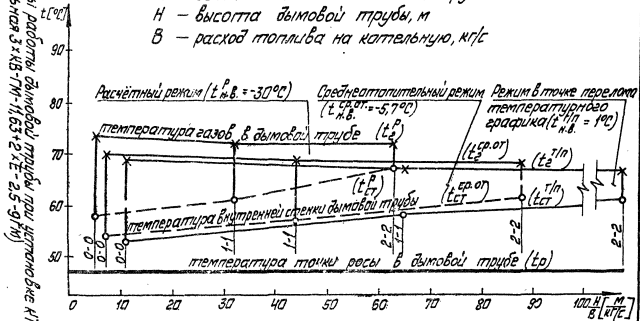
903 - 01 - 258.87

115

Рис. 5.1. Режимы работы вымойки при чистке котельной
(котельная 3xКВ-17М-11.63+2ХЕ-2.5-9М)

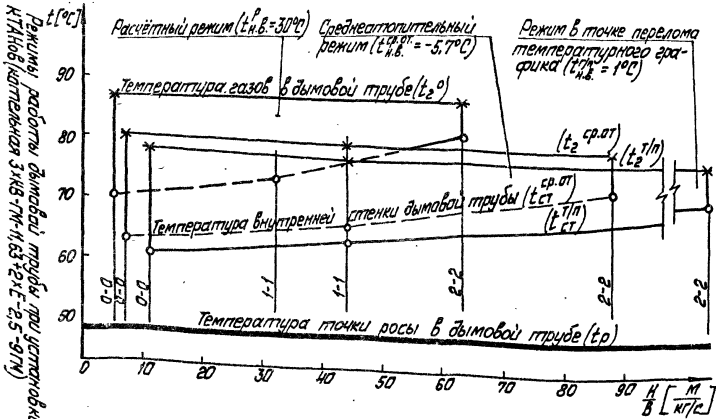
Перегпуск вымойных газов 20%

- 0-0 - сечение на входе в вымойную трубу
- 1-1 - среднее сечение вымойкой трубы
- 2-2 - сечение на выходе вымойкой трубы
- H - высота вымойкой трубы, м
- V - расход топлива на котельную, кг/с



Перепуск дымовых газов 30%

Рис. 5.1.



Перепуск выхревых газов 40%

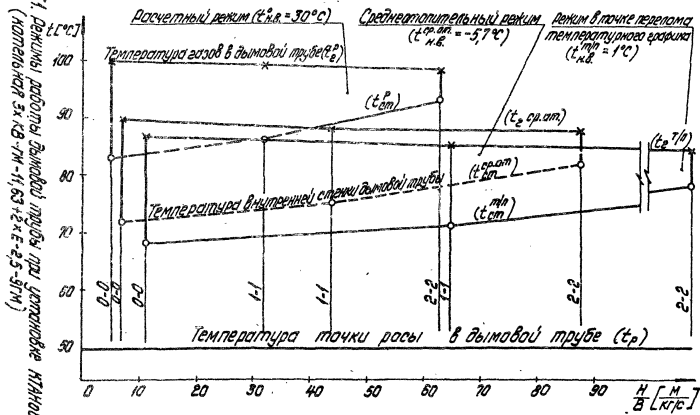


Рис. 5.1. Режимы работы гидравлических турбин при установке ИТАНов (капельной зоны КВ-ГИ-11,63+2хЕ-2,5-ЭГИ)

903-01-258.87

146

10 - 79622-44 मानवादी

При работе котлов с КТАНами результаты могут быть иными по следующим причинам:

1. Суммарный к.п.д. котла с КТАНом будет практически постоянным и не будет зависеть от температуры дымовых газов за котлом, т.к. определяющей в этом случае будет температура дымовых газов за КТАНом.

2. Расход дымовых газов, перепускаемых помимо КТАНа для подушки, зависит от температуры дымовых газов после котла. При работе котла на пониженных параметрах температура дымовых газов за котлом падает, а требуемый расход перепускаемых газов возрастает. Это может привести к снижению экономичности котельной при работе с КТАНом, однако окончательный вывод об экономичности того или иного режима работы можно сделать только после проведения соответствующих расчетов для конкретных условий работы котельной.

5.6. Выводы

1) В каждом конкретном случае при установке КТАнов-утилизаторов в котельных необходим расчет по определению температуры внутренней стенки дымовой трубы.

2) Результаты расчета серии типовых проектов котельных показывают, что предел загрузки КТАНов-утилизатора (при охлаждении дымовых газов в нем до 40°C и поддержания температуры внутренней стенки дымовой трубы $t_{ст}$ более точки росы t_p) составляет 40-60%.

3) Загрузку КТАнов-утилизаторов при экономическом обосновании можно увеличить за счет изменения режима работы котлов в разрезе года путем отказа от параллельной работы всеми котлами и перехода на работу с меньшим числом котлов и максимальной их нагрузкой. Это приведет к росту температуры дымовых газов на выхо-

Лист

II 19

908-01-258,87

де из котлов, что позволит уменьшить перепуск.

4) Загрузку КТАНов-утилизаторов можно также увеличить, охлаждая дымовые газы ниже 40°C , уменьшая температуру точки росы дымовых газов, и увеличивая разность ($t'_{\text{ст}} - t_p$).

5) Полная загрузка КТАНов-утилизаторов, при отсутствии перепуска, вызывает интенсивную конденсацию влаги из дымовых газов на внутренних поверхностях борова и дымовой трубы. В таком случае возможно строительство специальной дымовой трубы, допускающей возможность конденсации, однако для обоснования необходимости строительства такой трубы требуется провести технико-экономический расчет, который учитывал бы в комплексе удороожание дымовой трубы и дополнительную экономию топлива, появляющуюся в результате увеличения загрузки КТАНов-утилизаторов.

903-01-258.87

Лист
120

Формат А4 22987-01

**6. РЕКОМЕНДАЦИИ ПО ОПРЕДЕЛЕНИЮ ЭКОНОМИЧЕСКОЙ
ЭФФЕКТИВНОСТИ ПРИ УСТАНОВКЕ КТАНОВ**

Лист

121

903-01-258.87

6.1. Общие принципы определения экономической эффективности

В схемах утилизации теплоты дымовых газов и других вторичных энергоресурсов с установкой КТАнов основой экономической эффективности их использования является достигаемая при этом экономия первичного топлива в народном хозяйстве и обеспечиваемая за счет этого экономия народнохозяйственных затрат по добыче и транспорту топлива.

Важнейшим условием определения экономической эффективности использования теплоты дымовых газов является поэтому правильное определение количества топлива, которое экономится при утилизации. При тепловом направлении использования вторичных энергоресурсов экономия топлива определяется сокращением его расхода в основных энергетических установках (котельных агрегатах) в результате уменьшения там выработки теплоты на величину использования ВЭР.

Экономия топлива за счет вторичных энергоресурсов определяется по величине использования ВЭР.

В соответствии с действующей типовой методикой основой для оценки экономической эффективности капиталовложений является значение величины приведенных затрат по данной схеме энергоснабжения:

$$\mathcal{Z} = S_{год} + E_H \cdot K \quad (6.1)$$

где \mathcal{Z} - приведенные затраты, руб/год;

$S_{год}$ - годовые эксплуатационные расходы, руб/год;

E_H - коэффициент эффективности капиталовложений, принимаемый в расчетах, связанных с применением новой техники, новых или более совершенных технологических процессов производства, равным 0,15 л/год;

903-01-258.87

Лист
122

Формат А4 22967-01 128

К – капиталовложения, руб.

Экономически наиболее эффективным вариантом решения является вариант, характеризующийся минимумом приведенных затрат ($Z = \min$).

При определении экономической эффективности использования вторичных энергетических ресурсов сопоставлению подлежат варианты энергоснабжения, обеспечивающие:

- удовлетворение потребности данного производства во всех видах энергии с учетом использования вторичных энергетических ресурсов;
- удовлетворение тех же потребностей данного производства во всех видах энергии без учета использования вторичных энергетических ресурсов (базисный вариант).

В соответствии с основными методическими положениями технико-экономических расчетов в энергетике, рассматриваемые варианты энергоснабжения для обеспечения их сопоставимости должны удовлетворять требованиям:

- равного эффекта энергоснабжения, т.е. каждый из вариантов должен обеспечивать одинаковую как по расходу, так и по заданному режиму подачу энергии потребителю;
- создания оптимальных для каждого из рассматриваемых вариантов условий их реализации, т.е. использования для каждого из них технически наиболее совершенного оборудования;
- обеспечения одинаковой надежности энергоснабжения, т.е. варианты с пониженной надежностью приводятся к варианту с необходимой надежностью путем дополнительного включения оборудования в схему энергоснабжения на необходимом уровне.

Целесообразность реализации схем утилизации ВЭР с установкой

903-01-258.87

Лист

123

КТАнов определяется на основе расчетов сравнительной эффективности капитальных вложений. Окончательное решение принимается на основе комплексного анализа стоимостных и натуральных показателей.

Стоимостные показатели сравниваемых вариантов отражаются, как указывалось выше, приведенными затратами.

Для определения экономической эффективности предложений вариант сравнивается с базисным, согласно которому предлагается теплоту, получаемую за счет ВЭР, получать за счет сжигания органического топлива в котельной.

Технико-экономическая эффективность определяется следующим образом:

$$\mathcal{E} = \mathcal{Z}_f - \mathcal{Z}, \text{ руб/год (6.2),}$$

где \mathcal{E} – экономия приведенных затрат (экономический эффект);

\mathcal{Z}_f – приведенные затраты по базисному варианту;

\mathcal{Z} – приведенные затраты по варианту, предусматривающему использование теплоты ВЭР.

Установку КТАнов в котельной и ввод их в эксплуатацию возможно, как правило, осуществить в течение одного календарного года. Поэтому приводимые ниже рекомендации по расчету эффективности не учитывают влияние фактора времени. Однако, в тех случаях, когда комплекс мероприятий по утилизации возможно реализовать только в течение нескольких лет, фактор времени при определении экономической эффективности необходимо учитывать /14/, пользуясь при этом общепринятой методикой.

6.2. Определение капитальных вложений и годовых эксплуатационных расходов по варианту с использованием ВЭР

6.2.1. Определение капитальных вложений.

903-01-258.87

Лист
124

Формат А4 22967-01

Определение капитальных вложений производится путем составления сводки затрат на выбранное согласно тепломеханическим расчетам утилизационное оборудование и дополнительные объемы работ по газоходам, трубопроводам, тепловым сетям, изоляционным и другим, сопутствующим мероприятиям по утилизационным работам.

Стоимость оборудования, материалов и монтажа определяется по действующим ценникам и прейскурантам.

6.2.2. Определение годовых эксплуатационных расходов

В общем случае годовые эксплуатационные расходы определяются как сумма затрат на топливо, электроэнергию, амортизацию, текущий ремонт, заработную плату, прочие расходы:

$$S_{год} = S_7 + S_{эл} + S_{ам} + S_{тр} + S_{зрн} + S_{пр}, \text{руб/год}, \quad (6.3).$$

При использовании вторичных энергоресурсов затраты на топливо принимаются равными нулю.

Затраты на электроэнергию определяются по формуле:

$$S_{эл} = \mathcal{Z}_{эл} \cdot \mathcal{Э}_{год}, \text{руб/год} \quad (6.4),$$

где $\mathcal{Э}_{год}, \text{МВт}\cdot\text{ч}$ – дополнительный годовой расход электроэнергии, который определяется в зависимости от потребляемой мощности оборудования и режима его работы в течение года;

$\mathcal{Z}_{эл}$ – замыкающие затраты на электроэнергию.

Затраты на амортизацию по действующим нормам амортизационных отчислений принимаются для котельных в размере 8,5% от стоимости оборудования и монтажа и 2,6% от стоимости строительных работ:

$$S_{ам} = 0,085 \cdot K_{об+монтаж} + 0,026 \cdot K_{стр}, \text{руб/год} \quad (6.5).$$

Затраты на текущий ремонт принимаются в размере 20% от амор-

903-01-258.87

Лист

125

тизационных отчислений

$$S_{tp} = 0,2 \cdot S_{am} \quad , \text{руб/год} \quad (6.6).$$

Как правило, при установке КТАНов дополнительный обслуживающий персонал не требуется.

При установке большого числа КТАНов и сложном режиме их работы в течение суток может потребоваться специальный обслуживающий персонал.

При определении затрат на заработную плату в этих случаях условно можно принимать, что зарплата одного работающего составляет 200 руб/мес. или 2,4 тыс.руб/год.

Прочие затраты определяются в размере 25+30% от сумм затрат на амортизацию, текущий ремонт и заработную плату:

$$S_{np} = (0,25 + 0,35) \cdot (S_{am} + S_{tp} + S_{zph}) \quad , \text{руб/год} \quad (6.7).$$

6.3. Определение приведенных затрат по базисному варианту

Приведенные затраты по базисному варианту складываются из затрат на топливо, сэкономленное при использовании ВЭР. При этом учитывается только топливная составляющая годовых эксплуатационных расходов потому, что остальные составляющие (амортизация, текущий ремонт, зарплата, электроэнергия, прочие расходы) присутствуют в одинаковом размере как в базисном варианте, так и в варианте, предусматривающем использование ВЭР, и при сопоставлении вариантов они взаимно исключают друг друга.

Такое положение обусловлено тем, что при проведении мероприятий по установке КТАНов принято, что все установки, использующие теплоту от КТАНов, должны дублироваться теплоисточником, сжигающим органическое топливо, т.е. потребители теплоты должны работать по схеме, предусматривающей использование ВЭР, но при

903-01-258.87

Лист
126

необходимости переключаться на существующую схему теплоснабжения.

Другими словами, мероприятия по утилизации ВЭР не уменьшают на основном теплоисточнике количество установленного оборудования и обслуживающего персонала, а только дают возможность сократить расход топлива и снизить число часов использования установленной мощности, т.е. годовые эксплуатационные расходы по основному теплоисточнику, за исключением топливной составляющей, остаются неизменными. Некоторое снижение расхода электроэнергии на основном теплоисточнике за счет снижения числа часов использования установленной мощности в расчетах не учитывается.

Годовой расход сэкономленного топлива определяется по годовой экономии теплоты с учетом к.п.д. котлоагрегатов.

Тогда стоимость топлива равна:

$$S_T = \mathcal{Z}_T \cdot V_{год} , \text{ руб/год (6.8),}$$

где $V_{год}$ — годовой расход сэкономленного природного газа в пересчете на условное топливо, т.у.т./год;

\mathcal{Z}_T — замыкающие затраты на топливо.

Начиная с конца 1984 года, Госстроем СССР рекомендовано (письмо № ИИ-4448-19/5 от 06.09.84 и др.) принимать в расчетах следующие значения замыкающих затрат для Европейской части СССР:

— природный газ — 60 руб/ т у.т.;

электроэнергия:

- 19-20 руб/МВт.ч при числе часов использования установленной мощности 6500+7000 часов;
- 29-34 руб/МВт.ч при числе часов использования установленной мощности 3000+4000 часов;
- 47-53 руб/МВт.ч при числе часов использования установленной мощности 500+1000 часов.

903-01-258.87

Письм

127

6.4. Определение хозрасчетного экономического эффекта

Помимо народнохозяйственной эффективности для предприятий также рассчитывается хозрасчетный экономический эффект (Эн), который определяется как разность между приростом прибыли на предприятии за счет утилизации ВЭР с установкой КТАНов и проведенными капиталовложениями, необходимыми для осуществления схемы утилизации

$$\text{Эн} = \Delta \Pi \times \text{Ен} \times \Delta \text{к}, \text{руб/год} \quad (6.9),$$

где $\Delta \Pi$ - прирост прибыли на предприятии за счет использования ВЭР при установке КТАНов;

Ен - нормативный коэффициент эффективности капиталовложений, равный 0,15;

$\Delta \text{к}$ - капиталовложения на осуществление мероприятий по использованию ВЭР при установке КТАНов.

Прирост прибыли при использовании ВЭР достигается за счет сокращения расхода топлива и определяется по формуле:

$$\Delta \Pi = \Delta \text{В} \times \text{Цп} - \Delta \mathcal{S}, \text{руб/год} \quad (6.10),$$

где $\Delta \text{В}$ - экономия топлива за счет использования ВЭР, т.у.т./год;

Цп - цена сэкономленного топлива на предприятии, руб/т.у.т;

$\Delta \mathcal{S}$ - годовые эксплуатационные расходы, связанные с мероприятиями по использованию ВЭР, руб/год.

В соответствии с действующей типовой методикой окончательный вывод о целесообразности вовлечения вторичных энергоресурсов в производство на действующем предприятии следует делать из величины годового народнохозяйственного экономического эффекта, рассчитанного по разности приведенных затрат в варианты с использованием и без использования ВЭР с учетом замыкающих затрат на топливо и электроэнергию.

903-01-258.87

Лист

128

7. ПРИМЕРЫ ВЫПОЛНЕНИЯ ПОВЕРОЧНОГО
ТЕПЛОВОГО РАСЧЕТА

Лист

903-01-258.87

I29

В данном разделе приводятся два примера выполнения поверочного теплового расчета. Оба расчета выполняются для КТАНа-4,5УГ. В обоих случаях КТАН-4,5УГ устанавливается за котлом КВ-ГМ-30.

В первом примере (расчетная схема показана на рисунке 7а) расход нагреваемой воды, а следовательно, и возможная теплопроизводительность по нагреваемой воде значительно превышают номинальные параметры КТАНа-4,5УГ.

Расчет ведется для определения расхода воды, который возможно нагреть в КТАНе до заданной температуры – t_b' . Во втором примере (расчетная схема показана на рисунке 7б) в КТАН направляется несколько потоков воды заданных параметров, возможная теплопроизводительность по нагреваемым потокам воды меньше номинальной теплопроизводительности КТАНа-4,5УГ.

В расчете определяется количество дымовых газов, необходимых для нагрева этих потоков воды.

В обоих примерах теплопроизводительность котла после установки КТАНа не менялась, т.к. данные потоки воды подогревались за счет теплоты, получаемой от других котлов котельной.

903-01-258.87	Лист 130
---------------	-------------

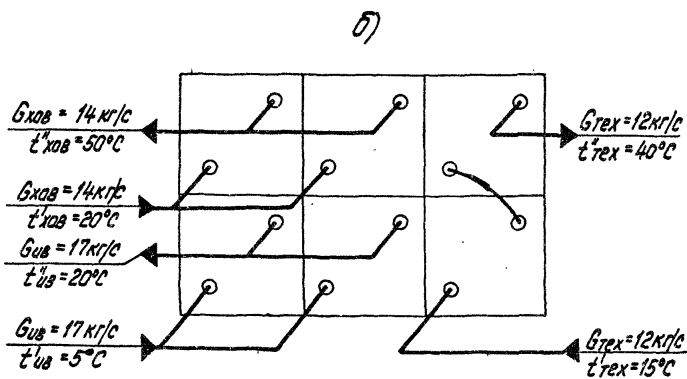
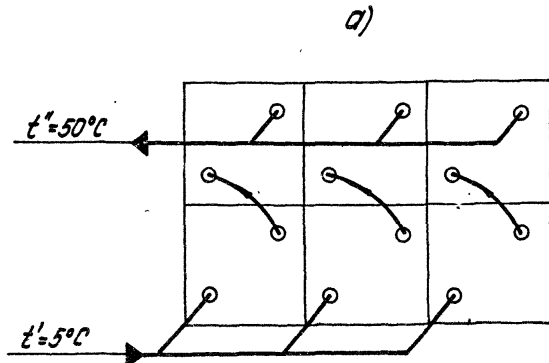


Рис.7. Схема потоков воды, нагреваемых в насадке КТАН-4,5У.

903-01-258.87

Лист

131

ПРИМЕР I

Характеристика котлоагрегата:

- тип котлоагрегата - КВ-ИМ-30;
- температура газов за котлом - $t_r' = 185^{\circ}\text{C}$;
- коэффициент избытка воздуха - $\alpha = 1,15$;
- теплопроизводительность - $Q=35 \text{ МВт}$.

Характеристика сжигаемого топлива (природного газа):

- низшая теплотворная способность топлива - $Q_H^D = 35535 \frac{\text{кДж}}{\text{м}^3}$;
- плотность сухого топлива - $\rho_r^c = 0,73 \frac{\text{кг}}{\text{м}^3}$;
- теоретически необходимый объем воздуха для горения 1 м³ топлива - $V^o = 9,45 \text{ м}^3/\text{м}^3$;
- объем азота в продуктах сгорания 1 м³ топлива - $V_{N_2} = 7,47 \text{ м}^3/\text{м}^3$;
- объем трехатомных газов в продуктах сгорания 1 м³ топлива - $V_{Ko_2} = 0,99 \text{ м}^3/\text{м}^3$;
- теоретический объем водяных паров в продуктах сгорания 1 м³ топлива - $V_{H_2O}^o = 2,01 \text{ м}^3/\text{м}^3$;
- влагосодержание воздуха, подаваемого на горение - $d_f = 0,01 \text{ кг}/\text{кг с.в.}$

Характеристика нагреваемого в КТАНе потока воды:

- температура нагреваемой воды на входе в КТАН - $t_f' = 5^{\circ}\text{C}$;
 - температура нагреваемой воды на выходе из КТАНа - $t_f'' = 50^{\circ}\text{C}$.
- I) Расчет параметров дымовых газов на входе в КТАН.

Объем водяных паров в дымовых газах на 1 м³ топлива при влагосодержании воздуха $d_f = 0,01 \text{ кг}/\text{кг с.в.}$

$$V_{H_2O} = V_{H_2O}^o + 0,0161 \cdot (\alpha - 1) \cdot V^o = \\ = 2,01 + 0,0161 (1,15 - 1) 9,45 = 2,24 \text{ м}^3/\text{м}^3.$$

903-01-258.87	ГИСТ 132
---------------	-------------

Объем дымовых газов на I м3 топлива

$$V_r = (\alpha - 1) \cdot V^o + V_{H_2O} + V_{CO_2} + V_{N_2} = \\ = (I,15-I) 9,45 + 2,24 + 0,99 + 7,47 = I2, I2 \text{ м3/м3.}$$

Массовый расход сухих дымовых газов на I м3 топлива:

$$\bar{G}_r^c = V_{CO_2} \cdot \rho_{CO_2} + V_{N_2} \cdot \rho_{N_2} + V^o \cdot \rho_o \cdot (\alpha - 1) = \\ = 0,99 \cdot I,96 + 7,47 \cdot I,25 + I,29 \cdot 9,45 \cdot I,01 = I3, I2 \text{ кг/м3.}$$

Массовый расход влажных дымовых газов на I м3 топлива при
 $d_f = 0,01 \text{ кг/кг с.в.}$:

$$\bar{G}_r = \bar{G}_r^c + \rho_o \cdot \alpha \cdot V^o = \\ = 0,73 + I,3 \cdot I,15 \cdot 9,45 = I4,86 \text{ кг/м3.}$$

Благосодержание дымовых газов на входе в КТАН:

$$d' = \frac{\bar{G}_r - \bar{G}_r^c}{\bar{G}_r^c} = \frac{I4,86 - I3, I2}{I3, I2} = 0, I32 \frac{\text{кг}}{\text{кг с.в.}}$$

Энталпия дымовых газов на входе в КТАН

$$J' = c_{cr} \cdot t'_r + d' \cdot (c_p \cdot t'_r + r) = \\ = I,0xI85 + 0, I32(I,97xI85 + 2490) = 56I,8 \text{ кДж/кг.}$$

2) Теплобалансовый расчет. Принимается: $\eta_{ob} = 0,9$ и температура газов за КТАНом $t''_r = 40^\circ\text{C}$, по таблице 4.7 находим:

$$d'' = 0,044 \text{ кг/кг}; \quad J''_r = I53,46 \text{ кДж/кг.}$$

Теплоизводительность КТАНа равна:

$$Q_{KT} = \bar{G}_r^c \cdot \Delta J \cdot B \cdot \eta_{ob} = \\ = I3, I2 \cdot (56I,8 - I53,46) \cdot I,072 \cdot 0,9 = 5, I86 \text{ МВт.}$$

Расход воды, нагреваемой в насадке:

$$\bar{G}_f = \frac{0,98 \cdot Q_{KT}}{c_f \cdot (t''_f - t'_f)} = \\ = \frac{0,98 \cdot 5, I86}{4,186 \cdot (50 - 5)} = 27 \text{ кг/с.}$$

903-01-258.87

Лист

133

3) Расчет поверхности теплообмена.

Объемный расход дымовых газов в насадке КТАНа

$$V = V_r \cdot B \cdot \eta_{ad} \cdot \frac{273 + t_r^{ap}}{273} = \\ = 12,12 \times 1,072 \times 0,9 \frac{273 + 70}{273} = 14,8 \text{ м}^3/\text{с.}$$

Скорость дымовых газов в насадке КТАНа:

$$w_r = \frac{V}{S_r^{np}} = \\ = \frac{14,8}{1,73} = 8,55 \text{ м/с.}$$

Скорость нагреваемой в КТАНе воды:

$$w_\beta = \frac{G_\beta}{S_\beta^{np} \cdot \rho_\beta} = \\ = \frac{27}{1,86 \times 10^{-2}} = 1,45 \text{ м/с.}$$

По номограмме 4.2 определяется коэффициент теплоотдачи со стороны дымовых газов к трубкам насадки:

$$\alpha_r = 709 \frac{\text{Вт}}{\text{м}^2 \times {}^\circ\text{C}}.$$

По номограмме 4.3 определяется коэффициент теплоотдачи со стороны трубок насадки в нагреваемой воде:

$$\alpha_\beta = 6140 \frac{\text{Вт}}{\text{м}^2 \times {}^\circ\text{C}}.$$

Определяется коэффициент теплопередачи:

$$K = \frac{C}{\frac{1}{\alpha_r} + \frac{d}{\lambda} + \frac{1}{\alpha_\beta}} = \\ = \frac{0,95}{\frac{1}{709} + \frac{0,002}{45} + \frac{1}{6140}} = 596 \frac{\text{Вт}}{\text{м}^2 \times {}^\circ\text{C}}$$

ПМСТ
134

903-01-258.87

Определяется логарифмическая разность температур:

$$\Delta t_z = \frac{(t_r' - t_b'') - (t_r'' - t_b')}{\ln \frac{t_r' - t_b''}{t_r'' - t_b'}}$$

$$= \frac{(185-50)-(40-5)}{\ln \frac{185-50}{40-5}} = 74^{\circ}\text{C}.$$

Расчетная поверхность нагрева равна:

$$F = \frac{Q_{kr}}{K \cdot \Delta t_z} = \frac{5186 \cdot 10^3}{596 \cdot 74} = 117,6 \text{ м}^2.$$

Отношение:

$$\frac{F_{kr} - F}{F_{kr}} = \frac{135,8 - 117,6}{135,8} = 0,13 > 0,05,$$

следовательно необходим перерасчет с новым значением t_r'' .

Принимаем $t_r'' = 35^{\circ}\text{C}$.

4) Теплобалансовый расчет (второе приближение).

По таблице 4.7 находим $d'' = 0,032 \text{ кг}/\text{кг}$; $J_r'' = 117,2 \frac{\text{кДж}}{\text{кг}}$.

Теплопроизводительность КТАНа равна:

$$Q_{kr} = G_r c \cdot \Delta J \cdot B \cdot \eta_{ob} =$$

$$= 13,12 (561,8 - 117,2) \times 1,072 \times 0,9 = 5628 \text{ кВт} = 5,628 \text{ МВт}.$$

Расход воды, нагреваемой в насадке:

$$G_b = \frac{0,98 \cdot Q_{kr}}{c_b \cdot (t_b'' - t_b') \cdot 10^3} = \frac{0,98 \times 5628}{4,186(50-5)} = 29,3 \text{ кг}/\text{с}.$$

5) Расчет поверхности теплообмена (второе приближение).

Скорость нагреваемой в КТАНе воды:

$$W_b = \frac{G_b}{S_b'' \cdot \rho_b} = \frac{29,3}{1,86 \times 10^{-2} \cdot 1000} = 1,58 \text{ м}/\text{с}.$$

903-01-258.87

Пист

135

По nomogramme 4.2 определяется коэффициент теплоотдачи со стороны дымовых газов к трубкам насадки: $\alpha_r = 733 \frac{\text{Вт}}{\text{м}^2 \times {}^\circ\text{C}}$.

По nomogramme 4.3 определяется коэффициент теплоотдачи со стороны трубок насадки к нагреваемой воде: $\alpha_B = 650 \frac{\text{Вт}}{\text{м}^2 \times {}^\circ\text{C}}$.

Определяется коэффициент теплопередачи:

$$K = \frac{C}{\frac{1}{\alpha_r} + \frac{d}{\lambda} + \frac{1}{\alpha_B}} = \frac{0.95}{\frac{1}{733} + \frac{0.002 \cdot I}{45} + \frac{1}{650}} = 608,2 \frac{\text{Вт}}{\text{м}^2 \times {}^\circ\text{C}}$$

Определяется логарифмическая разность температур:

$$\Delta t_L = \frac{(t_r' - t_B'') - (t_r'' - t_B')}{\ln \frac{t_r' - t_B''}{t_r'' - t_B'}} = \frac{(185 - 50) - (35 - 5)}{\ln \frac{185 - 50}{35 - 5}} = 70 {}^\circ\text{C}.$$

Расчетная поверхность нагрева равна:

$$F = \frac{Q_{kT}}{K \cdot \Delta t_L} = \frac{5628 \cdot 10^3}{608,2 \cdot 70} = 132,5 \text{ м}^2.$$

Отношение:

$$\frac{F_{kT} - F}{F_{kT}} = \frac{135,8 - 132,5}{135,8} = 0,02 < 0,05.$$

Следовательно расчетная поверхность практически совпадает с поверхностью КТАНа.

Теплопроизводительность (расчетная) КТАНа-4,5У, установленного за данным котлом, составит $Q_{kT} = 5,63 \text{ МВт}$, а дымовые газы охладятся с $t_r' = 185 {}^\circ\text{C}$ до $t_r'' = 35 {}^\circ\text{C}$.

903-01-258.87	Пист 136
---------------	-------------

ПРИМЕР 2

1) Расчет параметров дымовых газов на входе в КТАН совпадает с расчетом примера I.

2) Теплобалансовый расчет.

Определяется теплопроизводительность КТАНа по нагреваемой воде:

$$Q_{KT} = G_{nb} \cdot (t''_{nb} - t'_{nb}) + G_{xob} \cdot (t''_{xob} - t'_{xob}) + G_{rex} \cdot (t''_{rex} - t'_{rex}) \cdot \frac{C_B}{0,98} =$$

$$= (17 \cdot (20-5) + 14 \cdot (50-20) + 12 \cdot (40-15)) \cdot \frac{4,186}{0,98} = 4164 \text{ кВт.}$$

Задаемся температурой дымовых газов за КТАНом $t''_{rB} = 40^\circ\text{C}$, по nomogramme 4.I для $t'_r = 185^\circ\text{C}$ и $d' = 0,132 \text{ кг/кг с.г.}$ определяем ΔJ – разность энталпий дымовых газов на входе в КТАН и выходе из КТАНа: $\Delta J = 410 \text{ кДж/кг.}$

Определяется коэффициент, учитывающий обвод дымовых газов помимо КТАНа:

$$\eta_{ob} = \frac{Q_{KT}}{G_r^c \cdot \Delta J \cdot B} = \frac{4164}{13,12 \cdot 410 \cdot 1,072} = 0,72$$

Средневзвешенная температура воды на входе в КТАН:

$$t'_B = \frac{G_{nb} \cdot t'_{nb} + G_{rex} \cdot t'_{rex}}{G_{nb} + G_{rex}} = \frac{17 \times 5 + 12 \times 15}{17 + 12} = 9^\circ\text{C.}$$

Средневзвешенная температура воды на выходе из КТАНа:

$$t''_B = \frac{G_{xob} \cdot t''_{xob} + G_{rex} \cdot t''_{rex}}{G_{xob} + G_{rex}} = \frac{14 \times 50 + 12 \times 40}{14 + 12} = 45,4^\circ\text{C.}$$

Эквивалентный расход нагреваемой воды:

$$G_B = \frac{Q_{KT} \cdot 0,98}{C_B \cdot (t''_B - t'_B)} = \frac{4164 \times 0,98}{4,186 \times (45,4 - 9)} = 26,8 \text{ кг/с}$$

3) Расчет поверхности теплообмена.

Расход дымовых газов в активной насадке:

903-01-258.87

Лист

137

$$V = V_r \cdot B \cdot \eta_{od} \cdot \frac{273 + t_r^{\phi}}{273} = \\ = 12,12 \times 1,072 \times 0,72 \frac{273 + 70}{273} = 11,8 \text{ м}^3/\text{с.}$$

Скорость дымовых газов в насадке:

$$\bar{w}_r = \frac{V}{S_r^{\phi}} = \frac{11,8}{1,73} = 6,80 \text{ м/с.}$$

Скорость нагреваемой в КТАНе воды:

$$\bar{w}_\beta = \frac{G_\beta}{S_\beta^{\phi} \cdot \rho_\beta} = \frac{26,8}{1,86 \times 10^{-2} \cdot 1000} = 1,44 \text{ м/с.}$$

По номограмме 4.2 определяется коэффициент теплоотдачи со стороны дымовых газов к трубкам насадки:

$$\alpha_r = 570 \frac{\text{Вт}}{\text{м}^2 \times {}^\circ\text{C}}$$

По номограмме 4.3 определяется коэффициент теплоотдачи со стороны трубок насадки к нагреваемой воде: $\alpha_\beta = 5466 \frac{\text{Вт}}{^\circ\text{C} \times \text{м}^2}$.

Коэффициент теплопередачи:

$$K = \frac{C}{\frac{1}{\alpha_r} + \frac{\delta}{\lambda} + \frac{1}{\alpha_\beta}} = \frac{0,95}{\frac{1}{570} + \frac{0,002}{45} + \frac{1}{5466}} = 480 \frac{\text{Вт}}{^\circ\text{C} \times \text{м}^2}$$

Логарифмическая разность температур:

$$\Delta t_L = \frac{(t_r' - t_\beta'') - (t_r'' - t_\beta')}{\ln \frac{t_r' - t_\beta''}{t_r'' - t_\beta'}} \\ = \frac{(185 - 45,4) - (40 - 9)}{\ln \frac{185 - 45,4}{40 - 9}} = 72,2 {}^\circ\text{C.}$$

$$\ln \frac{185 - 45,4}{40 - 9}$$

903-01-258.87

Пист
I36

Поверхность теплообмена

$$F = \frac{Q_{kt} \cdot 10^6}{K \cdot \Delta t_L} = \frac{4164 \cdot 10^3}{480 \times 72,2} = 120 \text{ м}^2.$$

Отношение:

$$\frac{F_{kt} - F}{F_{kt}} = \frac{135,8 - 120}{135,8} = 0,12 > 0,05,$$

следовательно необходим пересчет с новым значением η_{od} и t_r'' .
Принимаем $t_r'' = 35^\circ\text{C}$.

4) Теплобалансовый расчет (второе приближение): при $t_r'' = 35^\circ\text{C}$ по таблице 4.7 определяется $d'' = 0,032 \text{ кг}/\text{кг}; J_r'' = 117,2 \text{ ккал}/\text{кг}$.

По номограмме 4.1 разность энталпий $\Delta J = 455 \text{ кДж}/\text{кг}$.

Коэффициент, учитывающий обвод дымовых газов определяется по формуле:

$$\eta_{od} = \frac{Q_{kt}}{G_r^c \cdot \Delta J \cdot B} = \frac{4164}{13,12 \cdot 456 \cdot 1,072} = 0,64.$$

5) Расчет поверхности теплообмена (второе приближение).

Расход дымовых газов в активной насадке:

$$V = V_r \cdot B \cdot \eta_{od} \cdot \frac{273 + t_r''}{273} = \\ = 12,12 \times 1,072 \times 0,64 \frac{273 + 70}{273} = 10,4 \text{ м}^3/\text{с.}$$

Скорость дымовых газов в насадке:

$$W_r = \frac{V}{S_r^{np}} = \frac{10,4}{1,73} = 6,0 \text{ м}/\text{с.}$$

По монограмме 4.2 определяется коэффициент теплоотдачи со стороны дымовых газов к трубкам насадка: $\alpha_r = 529 \frac{\text{Вт}}{\text{м}^2 \text{ }^\circ\text{C}}$

Коэффициент теплопередачи:

903-01-258.87

Пист

139

$$K = \frac{C}{\frac{1}{\alpha_r} + \frac{\delta'}{\lambda} + \frac{1}{\alpha_f}} = \frac{0,95}{\frac{I}{529} + \frac{0,002}{45} + \frac{I}{5466}} = 452,0 \frac{\text{Вт}}{\text{м}^2 \text{ } ^\circ\text{С}}$$

Логарифмическая разность температур:

$$\Delta t_L = \frac{(t_r' - t_b'') - (t_r'' - t_b')}{\ln \frac{t_r' - t_b''}{t_r'' - t_b'}} = \frac{(185 - 45,4) - (35 - 9)}{\ln \frac{185 - 45,4}{35 - 9}} = 67,6^\circ\text{С}.$$

Поверхность теплообмена

$$F = \frac{Q_{kt} \cdot 10^6}{K \cdot \Delta t_L} = \frac{4164 \cdot 10^3}{452 \times 67,6} = 134,9 \text{ м}^2$$

Отношение

$$\frac{F_{kt} - F}{F_{kt}} = \frac{135,8 - 134,9}{135,8} = 0,006 < 0,05.$$

Расчетная поверхность F практически совпадает с поверхностью КТАНа. Теплопроизводительность КТАНа составит $Q_{kt} = 4,164$ МВт, температура дымовых газов уменьшается с 185°С до 35°С .

903-01-258.87

Гимст
140

8. ПРИМЕР АЭРОДИНАМИЧЕСКОГО РАСЧЁТА
ГАЗОВОГО ТРАКТА КОТЛА С КТАНОМ

903-01-258.87

Лист

141

Расчёт выполнен для котла ГМ-50-14 с установкой КТАН-4,5УГ.
Методика расчёта, формулы и графики взяты из /9/.

Расчётная схема газового тракта приведена на рис.8.1. Газовый тракт котла ГМ-50-14 с КТАНом-4,5УГ изображен на рис.8.2.

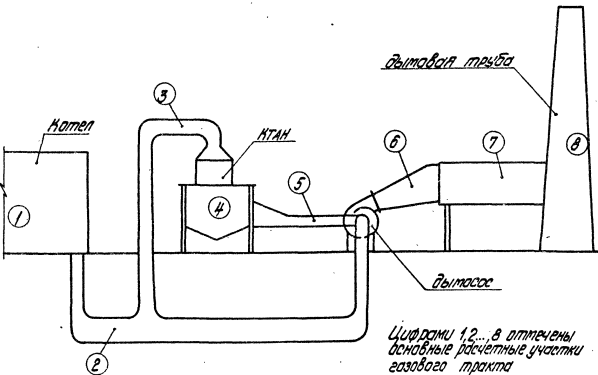
Расчёт выполняется для летнего режима работы котельной. В расчёте принято, что в летнем режиме из всех котлов котельной работают два котла ГМ-50-14.

За одним из котлов установлен КТАН-4,5УГ. Тепловая нагрузка котлов в разрезе года принята постоянной. В таких условиях расчёт выполняется для летнего режима, так как в летнем режиме самотяга дымовой трубы ниже, чем в других режимах и поэтому общее сопротивление газового тракта котла ГМ-50-14 будет максимальным.

903-01-258.87

Лист
I42

Рис. 8.1. Расчетная схема газового тракта



Цифрами 1, 2... 8 отмечены основные расчетные участки газового тракта

903-01-258.87

22967-01 119 формат А4

143

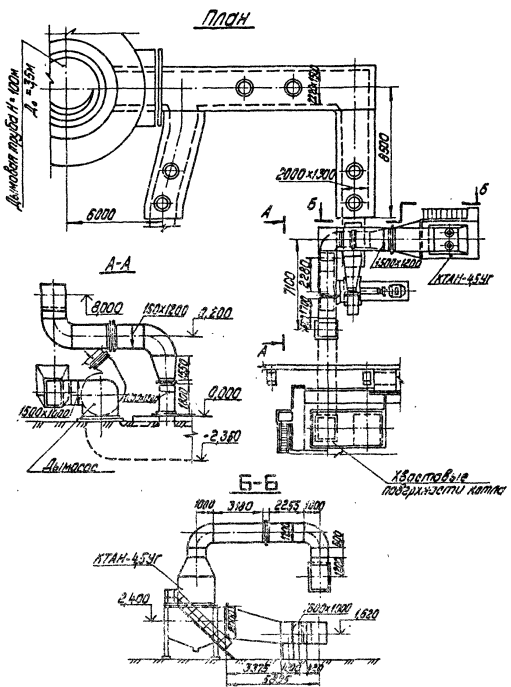


Рис.8.2. Газобаллонный транспорт контура ТМ-50-14 с АТАНом-4,5У

903-01-258.87

145м

144

Напечатано в Фотокопии

Формат А4 22967-01

Пример аэродинамического расчета

Рассчитываемая величина	Обозначение	Размерность	Формула или обоснование	Расчет или другие данные
Исходные данные				
Расход топлива	V_p	m^3/s	Тепловой расчет котла	3700
Температура уходящих газов	t_{yx}	°C	— I —	126
Объем теоретически необходимого воздуха	V^0	m^3/m^3	— II —	9,58
Объем водяных паров	$V_{H_2O}^0$	m^3/m^3	— II —	2,186
Объем трехатомных газов	$V_{RO_2}^0$	m^3/m^3	— II —	1,02
Объем азота	$V_{N_2}^0$	m^3/m^3	— I —	7,6
Коэффициент избытка воздуха	α	—	— II —	1,3
Объем дымовых газов	V_r	m^3/m^3	$(\alpha-1)V^0 V_{H_2O}^0 + V_{RO_2}^0 + V_{N_2}^0$ $/1,3-1) 9,58 + 2,186 + 1,02 + 7,6 = 13,68$	
Расход дымовых газов	V	m^3/s	$V_r B(273+t_{yx})$ $3600 \cdot 273$	$13,68 \cdot 3700 / 273 + 126$ $3600 \cdot 273$ 20,55
Температура дымовых газов после КТАН	t''_{KT}	°C		40
Температура дымовых газов в КТАН	t_{KT}	°C		75

903-01-258.87

Лист

145

Пример аэродинамического расчёта (продолжение)

Рассчитываемая величина	Обозначение	размерность	Формула или обозначение	расчёт или другие данные
<u>Расчёты</u>				
① Котёл ГК-50-14 экономайзером сопротивление котла	Δh_1	ккал/м ²	аэродинамический расчёт котла	225
② участок от экономайзера до выхода из канала				
Сопротивление трения участка	Δh_2	кгс/м ²	$\lambda \frac{L}{d_3} h_9$	$0,023 \frac{7}{1,33} \cdot 58 = 0,7$
коэффициент сопротивления трения	λ	—	рис. VII-3 $R_2 = \frac{1,142 \cdot 1,33}{23,6 \cdot 10^{-6}} = 64,0$ $K = 25 \cdot 10^{-3} m$	0,023
эквивалентный диаметр	d_3	м	$\frac{4F}{U}$	$\frac{2 \cdot 15 \cdot 1,2}{1,5 + 1,2} = 1,33$
длина участка	L	м	по чертежу	7
скорость газов	W	м/сек	$\frac{V}{F}$	$\frac{20,55}{1,8} = 11,42$
динамическое давление	h_9	кгс/м ²	рис. VII-2 $t = 126^{\circ}C$	5,8
② поворот на 90° без изменения сечения				
местное сопротивление поворота	Δh_{21}	кгс/м ²	$E h_9$	$0,84 \cdot 5,8 = 4,87$
коэффициент местного сопротивления	E	—	$K_E \cdot \delta$	$0,48 \cdot 1,75 = 0,84$

903 - 01 - 258. 87

Лист
146

Копировано с ИМК

формат АЧ 22957-01 152

Пример аэродинамического расчета (продолжение)

Рассчитываемая величина	Обозначение	Размерность	Формула или обоснование	Расчет или другие данные
произведение	$X_0 \gamma_0$	—	рис. VII-15 $\frac{r}{\delta} = \frac{0,35}{1,5} = 0,23$	0,48
поправочный коэффициент f (узел поворота)	B	—	рис. VII-16 $\gamma = 90^\circ$	1
поправочный коэффициент f (формы сечения)	C	—	рис. VII-17 $\frac{\alpha}{\beta} = 0,8; \frac{R}{\delta} = 0,5$	1,75
скорость газов	W	м/с	$\frac{V}{F}$	$\frac{20,55}{1,8} = 11,42$
динамическое давление	hg	кгс/м ²	рис. VII-2 $t = 126^\circ C$	5,8
(2) раздающий тройник				
местное сопротивление	Δh_{22}	кгс/м ²	$C_3 \cdot hg$	8,14
коэффициент сопротивления	ξ_f	—	рис. VII-20 $\frac{W_f}{W_c} = 1,12; \alpha = 90^\circ$	1,1
скорость потока в боковом ответвлении	W_B	м/сек.	$\frac{0,75 V}{F_B}$	$\frac{15,49}{12,1} = 1,2,8$
скорость потока в проходе	W_c	м/сек.	$\frac{0,25 V}{F_c}$	$\frac{5,14}{1,8} = 2,85$
динамическое давление	hg	кгс/м ²	рис. VII-2 $t = 126^\circ C$	7,4
общее сопротивление участка	Δh_2	кгс/м ²	$\Delta h_2^{tr} + \Delta h_{21} + \Delta h_{22}$	$0,7 + 4,87 + 8,14 = 13,71$

903-01-258.87

22967-01 153 формат А4

Лист
147

Пример аэродинамического расчёта (продолжение)

Рассчитываемая величина	Обозначение	Размерность	Формула или обоснование	Расчёт или другие данные
(3) Участок выхода из канала - выход в КТАН				
сопротивление трения	Δh_3	$\text{НГС}/\text{м}^2$	$\lambda \frac{l}{d_3} h_0$	$0,02 \cdot \frac{23}{1,37} \cdot 2,85 = 0,95$
коэффициент трения	λ	—	рис. VII-2	0,02
эквивалентный диаметр	d_3	м	$\frac{4F}{l}$	$\frac{2 \cdot 1,6 \cdot 1,2}{1,6 + 1,2} = 1,37$
длина участка	l	м	—	23
скорость газа	W	$\text{м}/\text{сек.}$	$\frac{V}{F}$	$\frac{15,41}{1,92} = 8,03$
динамическое давление	h_0	$\text{НГС}/\text{м}^2$	рис. VII-2 $t = 126^\circ\text{C}$	2,85
(3) диффузор				
местное сопротивление диффузора	$\Delta h_{3,1}$	$\text{НГС}/\text{м}^2$	$\varphi_{\text{диф.}} h_0$	$0,084 \cdot 7,4 = 0,62$
коэффициент сопротивления диффузора	$\varphi_{\text{диф}}$	—	$\varphi_p \cdot \varphi_{\text{бых}}$	$0,7 \cdot 0,12 = 0,084$
коэффициент полноты узара	φ_p	—	рис. VII-12 $d = 270$	0,7
коэффициент	$\varphi_{\text{бых}}$	—	рис. VII-11 $\frac{F_M}{F_0} = \frac{1,2}{1,92} = 0,63$	0,12

903-01 - 258. 87

148

Копировано с Maxi

Формат А4 22967-01 154

Пример аэродинамического расчета (продолжение)

Рассчитываемая величина	Обозначение	размерность	формула или обоснование	расчет или другие данные
скорость газов	ω	м/сек.	$\frac{V}{F}$	$\frac{15,41}{1,2} = 12,83$
динамическое давление	hg	кг/м^2	рис. VII-2 $t=126^\circ\text{C}$	7,4
(3.2) поворот на 90° без изменения сечения - 2 шт.				
местное сопротивление поворота	Δh_{32}	kгс/м^2	$\xi \cdot hg$	$0,44 \cdot 2,85 = 1,25$
произведение	$K_d \cdot \xi_0$	-	рис. VII-15 $R = 1,35$ $B = 1,8$ $\xi = 0,84$	0,4
поправочный коэффициент	B	-	рис. VII-16 $\gamma = 90^\circ$	1
поправочный коэффициент	C	-	рис. VII-17 $R/B = 0,84$ $C/B = 0,75$	1,1
скорость газов	ω	м/с	$\frac{V}{P}$	$\frac{15,41}{1,92} = 8,03$
динамическое давление	hg	kгс/м^2	рис. VII-2 $t=126^\circ\text{C}$	2,85
коэффициент сопротивления поворота	ξ	-	$K_d \cdot \xi_0 \cdot BC$	$0,4 \cdot 1 \cdot 1,1 = 0,44$
(3.3) поворот на 90° без изменения сечения - 2 шт.				
местное сопротивление поворота	Δh_{33}	kгс/м^2	$\xi \cdot hg$	$0,45 \cdot 2,85 = 1,31$

903-01-258. 87

229Б7-01 155 . Формат А4

Чист

149

Пример аэродинамического расчета (продолжение)

Рассчитываемая величина	Обозначение	размерность	Формула или обоснование	Расчет или другие данные
Коэффициент сопротивления поворота	ξ	—	$K_d \xi_0 BC$	$0,42 \cdot 1,1 = 0,46$
произведение $K_d \xi_0$		—	VII-15 $R/B = 0,83$	0,42
коэффициенты B/C		—	$\gamma = 90^\circ$ VII-17 $R/B = 0,84$ $C/B = 0,75$	1 1,1
скорость газов w	m/c		$\frac{V}{F}$	$\frac{15,41}{1,92} = 8,03$
динамическое давление hg	$\frac{kg}{m^2}$		VII-2	2,85
3.4 диффузор				
местное сопротивление диффузора	$\Delta h_{3,4}$	$\frac{kgc}{m^2}$	диф. hg	$0,56 \cdot 2,85 = 1,6$
коэффициент сопротивления диффузора	$\xi_{\text{диф.}}$	—	$\gamma_p \cdot \xi_{\text{вых.}}$	$2 \cdot 0,28 = 0,56$
коэффициент полноты чара	γ_p		VII-12 $\alpha = 57^\circ$	2
коэффициент вых.	—		VII-11 $F_M/F_D = \frac{1,92}{4} = 0,48$	0,28
скорость газов w	m/c		$\frac{V}{F}$	$\frac{15,4}{1,92} = 8,03$
динамическое давление hg	$\frac{kg}{m^2}$		VII-2 $t = 125^\circ C$	2,85

903-01-25 8.87

АИСТ
150

22967-01/156 формат А4

Пример аэродинамического расчета (продолжение)

Рассчитываемая величина	Обозначение	Размерность	Формула или обоснование	Расчет или другие данные
Общее сопротивление участка	Δh_3	$\text{кгс}/\text{м}^2$	$\Delta h_3 \text{тр} + \Delta h_{31} + 2\Delta h_{32} + 2\Delta h_{33} + \Delta h_{34}$	$0,96 + 0,62 + 2 \cdot 1,25 + 2 \cdot 1,3 + 1,6 = 8,3$
(4) КТАН-4,5 уг			Аэродинамический расчет	
			Исходные данные	
Номинальное сопротивление КТАН-4,5 уг	$\Delta h_{\text{нк}}$	$\text{кгс}/\text{м}^2$	аэродинамический расчет КТАНА	68,5
Номинальная скорость в КТАНЕ	w^N	$\text{м}/\text{с}$		8,55
Проходное сечение по газу	$S_{\text{гп}}$	м^2		1,73
			Расчет	
Скорость газов в КТАНе	w^t	$\text{м}/\text{с}$	$\frac{B_r V_r / (273 + t_r^N)}{S_{\text{гп}} p_{273} \cdot 3600}$	$\frac{3700 \cdot 13,7348 \cdot 0,75}{1,73 \cdot 273 \cdot 3600} = 7,8$
Коэффициент пересчета			$\frac{(w^N)^2}{w^2}$	$\frac{8,55^2}{7,8^2} = 1,2$
Сопротивление в КТАНе	Δh_4	$\text{кгс}/\text{м}^2$	$\frac{\Delta h_{\text{нк}}}{1,73}$	$\frac{58,8}{1,2} = 57,1$
(5) Участок выхода из КТАНа				
Вход в карман дымососа				расчет местного сопротивления участка 5,1 см. л. 1,0
Расход дымовых газов за КТАНом	V_r	$\text{м}^3/\text{с}$	$\frac{V_r B \cdot 0,75 / (273 + t_r^N)}{3600 \cdot 273}$	$\frac{13,68 \cdot 3700 \cdot 0,75 \cdot 0,75}{3600 \cdot 273} = 12,1$

903-01-258.87

лист
151

Пример аэродинамического расчета (продолжение)

Рассчитываемая величина	Обозначение	размерность	формула или обоснование	Расчет или другие данные
Сопротивление трения участка	$\Delta h_{5\text{тр}}$	$\text{kгс}/\text{м}^2$	$\lambda \frac{e}{d_3} h_g$	$0,02 \cdot \frac{10}{1,23} \cdot 3,3 = 0,54$
Коэффициент трения	λ	—	рис. VII-2 стр. 172	0,02
эквивалентный диаметр	d_3	м	$\frac{4F}{U}$	$\frac{2 \cdot 1,6 \cdot 1}{1,6 + 1} = 1,23$
длина участка	e	м	по чертежу	10
скорость газов	w	м/сек.	$\frac{V}{F}$	$\frac{12,1}{1,6} = 7,56$
динамическое давление	h_g	$\text{kгс}/\text{м}^2$	рис. VII-2 $t = 40^\circ\text{C}$	3,3
(5.2) Поворот на 90° без изменения сечения				
местное сопротивление поворота	Δh_{52}	$\text{kгс}/\text{м}^2$	ξh_g	$0,24 \cdot 3,3 = 0,79$
коэффициент сопротивления поворота на 90°	ξ	—	$K_4 \xi \cdot BC$	$0,25 \cdot 0,95 = 0,24$
произведение	$K_A \xi$	—	рис. VII-15 $R/B = 1,1 / 1 = 1,1$	0,25
коэффициенты B и C	B C	B C	$\varphi = 90^\circ$ $\gamma_B = 1,1 / 1 = 1,1$ $\gamma_C = 1,1 / 1 = 1,1$	1 0,95
динамическое давление	h_g	$\text{kгс}/\text{м}^2$	рис. VII-2 $t = 40^\circ\text{C}$ $W:V:F = 12,1 / 1,6 \cdot 7,56$	3,3

903-01-258.87

МСТ
152

22967-01 158 Формат А4

Пример аэродинамического расчета (продолжение)

Рассчитываемая величина	Обозначение	размерность	формула или обоснование	расчет или другие данные
(53) Карман				
местное сопротивление кармана Δh_{53}	kg/m^2		$\frac{C}{4} h_g$	$1 \cdot 6.4 = 6.4$
коэффициент сопротивления кармана	C	-	F_M/F_B п 233	1
скорость газов	w	$m/sек.$	$\frac{V_8/273 + t_{cm}}{3600 \cdot 273 \cdot F}$	$15.68 \cdot 3700 \cdot 338.54 / 3600 \cdot 273 \cdot 1 \cdot 4 = 1.06$
динамический напор	h_g	kg/m^2	Рис. VII-2 $t_{cm} = 65.5$ (по издиагр.)	6.4
(54) Конфузор				
местное сопротивление конфузора	Δh_{51}	kg/m^2	$\frac{C}{4} h_g$	$0.33 \cdot 3.3 = 1.1$
коэф-т сопротивления конфузора	C	-	$F_M = \frac{1.6}{4.6} = 0.35$	0.33
динамическое давление	h_g	kg/m^2	Рис. VII-2 $t = 40^{\circ}C$ $w = V/f = 12.1/16 = 0.75$	3.3
общее сопротивление участка	Δh_5	kg/m^2	$\Delta h_5^{T_B} + \Delta h_{51} + \Delta h_{52} + \Delta h_{53}$	$0.54 + 1.1 + 0.79 + 6.4 = 8.83$
(6) Участок выхода из дымососа-вход в борд				
сопротивление трения участка	Δh_{tr}	kg/m^2	$\lambda \frac{D}{d_2} \cdot h_g$	$0.02 \frac{3}{0.95} \cdot 7.7 = 2.1$
коэффициент трения	λ	-	Рис. VII-2 стр. 172	0.02

903-01-258.87

лист

153

22967-01 159 формата А4

Пример аэродинамического расчёта (продолжение)

Расчитываемая величина	Обозначение	Размерность	Формула или обоснование	Расчёт или другие данные
эквивалентный диаметр	d_e	м	$\frac{4F}{U}$	$R \cdot 1.2 \cdot 0.8 = 0.96$ 2
длина участка	l	м	по чертежу	3
динамическое давление	hg	kг/м^2	пш VII-2 $t = 65,5^\circ\text{C}$ $W = \sqrt{V} = 17,5 / 0,96 = 18,2$	17
(6.1) диффузор местное сопротивление	$A_{6.1}$	kgf/cm^2	$E_{\text{диф.}} hg$	$0,12 \cdot 33 = 3,96$
коэффициент сопротивления диффузора	$\zeta_{\text{диф}}$	—	$\zeta_p \cdot E_{\text{вых}}$	$0,23 \cdot 0,5 = 0,12$
коэффициент полноты удара	ζ_p	—	пш. VIII-12 $\alpha = 11^\circ$	0,23
коэффициент сопротивления	$\zeta_{\text{вых}}$	—	пш. VIII-11 $F_M = 1,053 - 0,675$ $F_E = 1,7 - 1,3$	0,5
динамическое давление	hg	kgf/cm^2	пш VII-2 $t = 65^\circ\text{C}$ $W = \frac{V}{F} = \frac{17,5}{0,96} = 18,2$	33
(6.2) поворот на 90° с изменением сечения местное сопротивление	$A_{6.2}$	kgf/cm^2	$E_{\text{вых}}$	$0,2 \cdot 3,8 = 0,76$
коэффициент сопротивления поворота	ζ_p	—	$K_a E_0 BC$	$0,35 \cdot 0,5 \cdot 1,08 = 0,19$
произведение	$K_a E_0$	—	пш. VII-19 $4/8 = 11,7 = 0,6$ $F_2/F_1 = 2,6 / 2,2 = 1,2$	0,35
коэффициенты	B/C	—	пш VII-18 $\alpha = 35^\circ$ $4/8 = 1,7$ $D/B = 0,9$	0,5 1,09

903 - 01 - 258.87

лист
154

Копировано с сайта

Формат А4 22967-01 161

Пример аэродинамического расчета (продолжение)

Рассчитываемая величина	Обозначение	размерность	Формула или обоснование	Расчет или другие данные
скорость газов	ω	м/с	$\frac{V}{\rho}$	$\frac{17,5}{1,7 \cdot 1,3} = 7,9$
динамическое давление	hg	кг/м^2	VII-2 $t = 66^\circ\text{C}$	3,8
общее сопротивление участка	Δh_b	кг/м^2	$\Delta h_{trp} + \Delta h_{s1} + \Delta h_{s2}$	$1,1 + 3,98 + 0,76 = 5,8$
(7) участок: бровь				
сопротивление трения бровь	Δh_{trp}^7	кг/м^2	$\lambda \frac{l}{d_3} \cdot hg$	$0,03 \cdot \frac{20}{1,6} \cdot 2,5 = 0,9$
коэф-т трения	λ	—	VII-2 стр. 172	0,03
эквивалентный диаметр	d_3	м	$\frac{U_F}{U}$	$\frac{2 \cdot 2 \cdot 0 \cdot 1,3}{(2,0 + 1,3)} = 1,6$
длина участка	l	м		20
скорость газов	ω	м/с	$\frac{V}{F}$	$\frac{17,5}{2 \cdot 1,3} = 6,7$
динамическое давление	hg	кг/м^2	VII-2 $t = 66^\circ\text{C}$	2,5
(7.1) поворот на 90° без изменения сечения				
местное сопротивление поворота на 90°	Δh_{71}	кг/м^2	$\xi \cdot hg$	$0,7 \cdot 2,4 = 1,68$

903-01-258.87

лист

155

Пример аэродинамического расчета (продолжение)

Рассчитываемая величина	Обозначение	размерность	Формула или обоснование	Расчетные или другие данные
коэффициент сопротивления поворота на 90°	ζ	—	$K_{\zeta} \frac{C}{S_0} BC$	$0,7 \cdot 1,1 = 0,7$
произведение	$K_{\zeta} \frac{C}{S_0}$	—	рис. VII-15 $r/B = 0,3$	0,7
коэффициент	$\frac{B}{C}$	—	рис. VII-16 $\varphi = 90^\circ$ VII-17	1 1
скорость газов	w	m/c	$\frac{K}{F}$	$\frac{17,5}{2 \cdot 1,3} = 6,73$
динамическое давление	hg	$\frac{kgc}{m^2}$	рис. VII-2 $t = 660^\circ C$	2,4
общее сопротивление участка	Δh_T	$\frac{kgc}{m^2}$	$\Delta h_T^{mp} + \Delta h_T$	$0,9 + 1,68 = 2,58$
8 Участок: ход в вымывую трубу-выход в дым.	расчет вымывои трубы выполняется на летний режим, при этом работают два котла ГЛ-50-14. Температура дым. газов после смешения $t_{t.m.} = 20^\circ C$			
местное сопротивление входа	Δh_{ss}	$\frac{kgc}{m^2}$	ζh_g	$0,62 \cdot 10 = 6,2$
коэффициент местного сопротивления	ζ	—	п. 2.34 стр. 33	0,62
количество уходящих газов от второго котла	V_p^B	m^3/c	$\frac{V_p \cdot B / (273 + t_{t.m.}^H)}{3600 \cdot 273}$	$\frac{13,62 \cdot 3700 / (273 + 126)}{3600 \cdot 273} = 20,6$
общее количество уходящих газов	V_p^{I+II}	m^3/c	$V_p^I + V_p^{II}$	$17,5 + 20,6 = 38,1$
скорость газов	w	m/c	$\frac{V_p \cdot g \cdot z}{F}$	$\frac{38,1}{2 \cdot 1,3} = 14,65$

903 - 01 - 258.87

лист
156

Формат А4 22967-01 162

Пример аэродинамического расчета (продолжение)

Рассчитываемая величина	Обозначение	размерность	формула или обоснование	расчет или другие данные
динамическое давление	hg	$\text{кгс}/\text{м}^2$	рис. VII-2 $t_{4x}^{g,r} = 90^\circ\text{C}$	10
(8.2) сопротивление трения дымовой трубы	Δh_{8T}	$\text{кгс}/\text{м}^2$	$\xi \cdot hg$	$0,3 \cdot 0,6 = 0,18$
коэффициент сопротивления	ξ	—	$\frac{\lambda = 0,05}{8l} \cdot \frac{1}{n \cdot 2,44}$	$\frac{0,05}{8 \cdot 0,02} = 0,3$
скорость газов	w	м/с	$\frac{4 V_r^{g,r}}{\pi D^2}$	$\frac{4,38,1}{\pi \cdot 3,5^2} = 3,96$
динамическое давление	hg	$\text{кгс}/\text{м}^2$	рис. VII-2 $t_{4x}^{g,r} = 90^\circ\text{C}$	0,6
Потеря напора с выходной скоростью	Δh_{82}	$\text{кгс}/\text{м}^2$	$n \cdot 2,44$ $\xi \cdot hg$	$1,0 \cdot 0,5 = 0,5$
самотяга дымовой трубы	h_s	$\text{кгс}/\text{м}^2$	$H(r_B - r_r)$	$100 / (1,2 - 0,97) = 23$
удельный вес воздуха при t_{NB}	γ_B	$\text{кг}/\text{м}^3$	$\gamma_0 \frac{273}{273 + t_{NB}^{h}}$	$1,293 \frac{273}{273 + 20} = 1,2$
удельный вес дымовых газов при t_{4x}	γ_r	$\text{кг}/\text{м}^3$	$\gamma_0 \frac{273}{273 + t_{4x}^{h}}$	$1,293 \frac{273}{273 + 90} = 0,97$
общее сопротивление дымовой трубы с учетом самотяги	Δh_g	$\text{кгс}/\text{м}^2$	$\Delta h_{81} + \Delta h_{82} + \Delta h_{h_s}$	$6,2 + 0,18 + 0,5 - 23 = -16,12$
общее сопротивление газодного тракта	ΔH	$\text{кгс}/\text{м}^2$	$\Delta h_1 + \Delta h_2 + \Delta h_3 + \Delta h_4 + \Delta h_5 + \Delta h_6 + \Delta h_7 + \Delta h_8$	$225 + 13,71 + 8,3 + 57,1 + 8,83 + 5,8 + 2,58 + 16,02 = 305,2$

903-01-258.87

лист

157

Пример аэродинамического расчёта (продолжение)

Рассчитываемая величина	Обозначение	размерность	Формула или основание	Расчёт или другие данные
Проверка дымососа Д-18				
Расчётная производительность дымососа	Qр	м ³ /ч	$\beta_1 \cdot V \frac{760}{\text{бар}}$	$61.52748 \frac{760}{760} = 59022$
Расчётный напор дымососа	Hр	кгс/м ²	$\beta_2 \cdot \Delta H$	$1,8 \cdot 3052 = 366,24$
Переходный коэффициент	Kт	—	$\frac{1,2937 \text{ Н}}{76 \text{ бар бар}}$	$1,293(273+66) \cdot 760 = 0,7$ $1,293 \cdot 1,73 \cdot 760$
Приведённый напор дымососа	Hр пр	кгс/м ²	$0,7 \cdot H_p$	$0,7 \cdot 366,24 = 256,4$
Напор дымососа Д-18 по графику	H	кгс/м ²	рис. VII-44	335
Вывод:				После установки КТА на 4,5-УГЗО котлом ГМ-50-14 общее аэродинамическое сопротивление газобаллонного тракта не превышает напора разыскиваемого дымососом

903-01-258.87

Лист

158

Копировано Онлайн

формат А4

22967-01 154

**9. ПРИМЕР РАСЧЁТА ЭКОНОМИЧЕСКОЙ
ЭФФЕКТИВНОСТИ ПРИ УСТАНОВКЕ КТАНа**

903-01-258.87

Лист

159

Копировал

22967-01 165 Формат А4

Расчёт выполнен для котельной с двумя котлами ДКВР-6,5-13. За одним из котлов установлен КТАН-0,8УГ. Установка КТАНа за вторым котлом по условиям компоновки невозможна.

В КТАНе предусмотрен подогрев до 50⁰С части воды для технологических нужд предприятия.

Нагревая вода последовательно проходит оба слоя насадки КТАНа. В I смену вода после КТАНа направляется непосредственно в подогреватель технологической воды, где догревается до необходимой температуры, и поступает в технологические аппараты. В течение 2 и 3 смен, в моменты, когда потребление горячей воды на технологию отсутствует, вода из КТАНа заполняет бак-аккумулятор ёмкостью 50 м3. Вода из бака расходуется в течение I смены. Из бака вода поступает в подогреватель технологической воды одновременно с водой, непосредственно нагретой в КТАНе. После заполнения бака КТАН отключается на 3 часа.

9.1. Определение годового количества утилизированной теплоты и топлива

Количество утилизированной теплоты в рассматриваемом примере складывается из теплоты нагретой воды, поступающей непосредственно от КТАНа к потребителю и из теплоты воды, накопленной в баке-аккумуляторе при работе КТАНа в моменты, когда потребление отсутствует. При числе часов работы потребителей N сут.=II час/сут. (8 час. - I смена; 2 часа - 2 смена и 1 час - 3 смена), объёме бака-аккумулятора $G_{ак} = 50$ м3 и температуре подогрева воды

$\Delta t_b = 45^0\text{C}$ (согласно тепловому расчёту), суточный расход утилизированной теплоты составит:

903-01-258.87	лист 160
---------------	-------------

$$Q_{\text{сут.}} = Q_{\text{КТАН}} \cdot n_{\text{сут.}} + G_{\text{ак}} \cdot c_{\text{в}} \cdot \Delta t_{\text{в}},$$

где $Q_{\text{КТАН}}$ — теплопроизводительность КТАНа, $Q_{\text{КТАН}} = 0,9 \text{ ГДж/ч}$
(согласно тепловому расчёту);

$$c_{\text{в}} = \frac{4,186 \text{ кДж}}{\text{кг} \cdot \text{град}} \text{ — теплоёмкость воды;}$$

$$Q_{\text{сут.}} = 0,9 \times 11 + 50 \times 4,186 \times 43 \times 10^{-3} = 18,9 \text{ ГДж/сут.}$$

При числе рабочих дней в году $N_{\text{раб.}} = 260$ сут. годовой расход утилизированной теплоты будет равен:

$$Q_{\text{год}} = Q_{\text{сут.}} \cdot N_{\text{раб.}} = 4,52 \times 260 = 4939 \text{ ГДж/год.}$$

Котёл ДКВР-6,5-13 при работе на природном газе имеет к.п.д.

$$\eta_k = 0,92.$$

Тогда экономия условного топлива составляет:

$$B_{\text{год}} = \frac{Q_{\text{год}} \cdot 10^3}{Q_{\text{н.у.т.}}^p \cdot \eta_k} = \frac{4939 \times 10^3}{29302 \times 0,92} = 183 \text{ тут/год.}$$

где $Q_{\text{н.у.т.}}^p$ — теплотворная способность условного топлива,
ккал/кг.

9.2. Определение дополнительного расхода электроэнергии

Дополнительный расход электроэнергии при работе утилизационной установки складывается из:

- расхода на привод дымососа для преодоления дополнительного сопротивления, вызванного установкой КТАНа;
- расхода на привод насоса системы орошения;

903-01-258.87

Пист

161

- расхода на привод насоса технологической воды для преодоления дополнительного сопротивления КТАНа и трубопроводов подключения воды к КТАНу.

По результатам аэродинамического и гидравлических расчётов и в соответствии с режимом работы оборудования определяются дополнительная потребляемая мощность (N) и число часов работы электродвигателей (τ). Для нашего примера:

	N , кВт	τ , час
дымосос	0,84	5460
насос орошения	1,2	5460
насос технологической воды	0,6	2600

Тогда дополнительный расход электроэнергии:

$$\begin{aligned} \dot{E}_{\text{год}} &= N_1 \cdot \tau_1 + N_2 \cdot \tau_2 + N_3 \cdot \tau_3 = \\ &= (0,84 \times 5460 + 1,2 \times 5460 + 0,6 \times 2600) \times 10^{-3} = 12,8 \text{ МВт} \cdot \text{ч}/\text{год}. \end{aligned}$$

9.3. Определение экономической эффективности

9.3.1. Определение капитальных вложений

Капитальные вложения определяются путём составления смет на дополнительное, связанное с мероприятиями по утилизации, оборудование и материалы. В нашем примере в объём затрат включены КТАН-0,8УГ, насос орошения, бак орошающей воды, бак-аккумулятор, подключающие газоходы и трубопроводы с арматурой и металлом для их крепления, лестницы и площадки для обслуживания, контрольно-измерительные приборы, электроаппаратура, изоляционные и строительные материалы.

903-01-258.87

Лист
162

В объём затрат также необходимо включить теплообменники, дублирующие нагрев потоков воды в КТАНах при их отключении.

Стоимость оборудования, материалов, монтажных и строительных работ определена по действующим ценникам и прейскурантам и составила:

$$K = 12 \text{ тыс.руб.}$$

9.3.2. Определение годовых эксплуатационных расходов и приведенных затрат

Затраты на электроэнергию при значении замыкающих затрат $S_{эл.} = 20 \text{ руб./МВт}\cdot\text{ч}$ равны:

$$S_{эл.} = S_{эл.} \cdot \vartheta_{год} = 20 \times 12,8 \times 10^{-3} = 0,26 \text{ тыс.руб./год.}$$

Так как стоимость строительных работ в общей сумме затрат в нашем примере незначительна, затраты на амортизацию определяем в размере 8,5% от капиталложений:

$$S_{ам.} = 0,085 \cdot K = 0,085 \cdot 12 = 1,02 \text{ тыс.руб./год.}$$

Затраты на текущий ремонт:

$$S_{т.р.} = 0,2 \cdot S_{ам.} = 0,2 \times 1,02 = 0,2 \text{ тыс.руб./год.}$$

Установка КТАНа в котельной не требует дополнительного обслуживающего персонала, поэтому затраты на заработную плату не учитываются. Тогда прочие затраты:

$$S_{пр.} = 0,3 \cdot (S_{ам.} + S_{т.р.}) = 0,3 \times (1,02 + 0,2) = 0,37 \text{ тыс.руб./год.}$$

Суммарные годовые эксплуатационные расходы:

$$S_{год} = S_{эл.} + S_{ам.} + S_{т.р.} + S_{пр.} = 0,26 + 1,02 + 0,2 + 0,37 = 1,85 \text{ тыс.руб./год.}$$

903-01-258.87

Лист

163

Так как КТАН является новым теплоутилизационным оборудованием и относится к новой технике, нормативный коэффициент сравнительной экономической эффективности принимается равным $E_H=0,15$. Тогда приведенные затраты при установке КТАНа-0,8УГ в котельной равны:

$$Z = S_{год} + E_H \cdot K = 1,85 + 0,15 \cdot 12 = 3,65 \text{ тыс.руб./год.}$$

9.3.3. Определение экономического эффекта

Экономический эффект при установке КТАНа определяется разностью между стоимостью сэкономленного топлива и приведенными затратами на мероприятие по утилизации. Замыкающие затраты на природный газ для нашего примера равны $Z_T = 60 \text{ руб./т у.т.}$ Тогда стоимость сэкономленного топлива или приведенные затраты по базисному варианту:

$$Z_B = S_T = Z_T \cdot V_{год} = 60 \cdot 183 \cdot 10^{-3} = 10,98 \text{ тыс.руб./год.}$$

Народнохозяйственный экономический эффект:

$$\Theta = Z_B - Z = 10,98 - 3,65 = 7,33 \text{ тыс.руб./год.}$$

Хозрасчёты экономический эффект определяется по ценам топлива и электроэнергии на предприятии, которые для нашего примера равны $\Pi_T = 28 \text{ руб./т у.т.}; \Pi_{эл} = 23 \text{ руб./МВт·ч.}$

Прирост прибыли на предприятии:

$$\Pi = \Pi_T \cdot V_{год} - S_{год} = \Pi_T \cdot V_{год} - \Pi_{эл} \cdot \Theta_{год} - S_{ам} - S_{тр} - S_{пр} = 28 \cdot 183 \cdot 10^{-3} - 28 \cdot 12,8 \cdot 10^{-3} - 1,02 - 0,2 - 0,37 = 3,19 \text{ тыс.руб./год.}$$

Хозрасчёты экономический эффект:

$$\Theta_{II} = \Delta \Pi (E_H \cdot K) = 3,19 (0,15 \cdot 12) = 1,39 \text{ тыс.руб./год.}$$

903-01-258.87

Лист

164

10. ИЗМЕНЕНИЕ ВЫХОДНЫХ ПАРАМЕТРОВ ТЕПЛОНОСИТЕЛЕЙ
ПРИ ИЗМЕНЕНИИ ВХОДНЫХ ПАРАМЕТРОВ ТЕПЛОНОСИТЕЛЕЙ
В КТАНе-УТИЛИЗАТОРЕ

903-01-258.87

Лист

165

Типоряд КТАНов-utiлизаторов рассчитан на номинальные параметры котлоагрегатов при условии, что в КТАНе греется вода с 5 до 50°C. Нередко в процессе эксплуатации КТАНа входные параметры теплоносителей изменяются, поэтому важно знать влияние этих изменений на характер изменения выходных параметров теплоносителей. Кроме того, в процессе проверочного расчёта знание того, как изменяются выходные параметры теплоносителей при изменении входных параметров, способствует более быстрому достижению окончательного результата.

В данном разделе приведены результаты анализа изменения выходных параметров теплоносителей при изменении входных параметров.

Анализ производился на основе двух уравнений:

$$- \text{ теплового} \quad F = \frac{Q_{KT}}{K \cdot \Delta t_L} \quad (I0.1);$$

$$- \text{ теплобалансового} \quad (I0.2).$$

$$Q_{KT} = C_B \cdot G_B \cdot \Delta t_B = \eta_{ob} \cdot B \cdot G_g^c \cdot \Delta J.$$

На основании уравнений для общего случая получены следующие уравнения, позволяющие определить выходные параметры теплоносителей и теплопроизводительность КТАНа при изменении входных параметров теплоносителей: (I0.3)

$$\left\{ \begin{array}{l} \frac{\Delta J \cdot w_r}{\Delta t_u \cdot K} = \frac{\Delta J' \cdot w_r'}{\Delta t'_u \cdot K'} \\ \frac{w_r' \cdot \Delta J'}{w_r \cdot \Delta J} = \frac{\Delta t'_g \cdot w_g'}{\Delta t_g \cdot w_g} \end{array} \right.$$

903-01-258,87	ПЧСТ
	I66

где ΔJ , w_r , w_b , Δt_b , Δt_L , K - параметры

теплоносителей в расчётном режиме;

$\Delta J'$, w_r' , w_b' , $\Delta t_b'$, $\Delta t_L'$, K' - параметры теплоно-

сителей при условиях, отличающихся от расчётных.

Результаты расчёта для некоторых наиболее часто встречающихся случаев работы КТАНа-утилизатора приводятся ниже:

I) увеличение расхода нагреваемой воды при постоянном расходе дымовых газов.

При увеличении расхода нагреваемой воды в КТАНе прямо пропорционально увеличивается скорость воды в активной насадке. Уравнения для расчёта следующие:

$$\left\{ \begin{array}{l} \frac{\Delta J}{\Delta t_L \cdot K} = \frac{\Delta J'}{\Delta t_L' \cdot K'} \\ \frac{\Delta J'}{\Delta J} = \frac{\Delta t_b' \cdot w_b'}{\Delta t_b \cdot w_b} \end{array} \right. , \text{ п.к. } w_r = w_r' \quad (10.4).$$

Результаты расчёта показаны на графиках рисунка 10.1.

По графикам можно определить увеличение теплопроизводительности КТАНа при увеличении расхода (скорости) нагреваемой воды. При этом необходимо учитывать, что выходные температуры нагреваемой воды и дымовых газов падают.

Графики изменения температур воды и дымовых газов на выходе из КТАНе построены из условия, что в расчётном режиме $t_g'' = 40^\circ\text{C}$ и $t_b' = 5^\circ\text{C}$. При других значениях t_g'' и t_b' в расчётном режиме характер изменения температур в режимах, отличающихся от расчётного, сохранится, однако абсолютные значения температур будут несколько иными.

903-01-258.87

Лист

167

2) Изменение расхода дымовых газов:

а) в случае, когда изменение расхода дымовых газов прямо пропорционально изменению расхода нагреваемой воды

$$\frac{w_r}{w_{r'}} = - \frac{w_b}{w_{b'}}$$

, система уравнений

следующая:

$$\left\{ \begin{array}{l} \frac{\Delta J \cdot w_r}{\Delta t_u \cdot K} = \frac{\Delta J' \cdot w_{r'}}{\Delta t'_u \cdot K'} \\ \frac{\Delta J'}{\Delta J} = - \frac{\Delta t_b'}{\Delta t_b} \end{array} \right. \quad (I0.5)$$

Расчёты показывают, что в этом случае температуры теплоносителей на выходе из КТАНа-utiлизатора не меняются, а теплопроизводительность КТАНа изменяется прямо пропорционально расходу дымовых газов.

Таким образом, в случае необходимости (например, стесненная компоновка), можно устанавливать за котлами КТАНЫ, предназначенные для установки за котлами меньшей производительности. При этом их номинальная теплопроизводительность может быть увеличена до требуемой за счёт пропуска большего расхода нагреваемой воды и дымовых газов через аппарат. Однако следует учитывать, что в этом случае дымосос и насос циркуляции воды через насадку должны иметь необходимый запас по напору для обеспечения пропуска повышенного расхода дымовых газов и воды;

б) в случае уменьшения расхода дымовых газов при постоянном расходе нагреваемой воды ($w_b = \text{const}$) система уравнений следующая:

903-01-258.87

Гист

168

$$\left\{ \begin{array}{l} \frac{\Delta J \cdot w_f}{\Delta t_L \cdot K} = - \frac{\Delta J' \cdot w_f'}{\Delta t_L' \cdot K'} \\ \frac{\Delta J' \cdot w_f'}{\Delta J \cdot w_f} = - \frac{\Delta t_f'}{\Delta t_f} \end{array} \right. \quad (10.6).$$

Результаты расчёта показаны на графиках рисунка 10.2.

Уменьшение расхода дымовых газов при постоянном расходе нагреваемой воды приводит к уменьшению не только теплопроизводительности КТАНа-утилизатора, но и к уменьшению выходных температур нагреваемой воды и дымовых газов.

3) Изменение выходных параметров КТАНа-утилизатора при начальной температуре греющей воды 20°C (вместо расчётной температуры 5°C) и изменение расхода греющей воды.

Система уравнений для расчёта следующая:

$$\left\{ \begin{array}{l} \frac{\Delta J}{\Delta t_L \cdot K} = \frac{\Delta J'}{\Delta t_L' \cdot K'} \\ \frac{\Delta J'}{\Delta J} = \frac{\Delta t_f'}{\Delta t_f} \cdot \frac{w_f'}{w_f} \end{array} \right.$$

(10.7).

Результаты расчёта показаны на графиках рисунка 10.3.

При подаче в активную насадку воды с температурой 20°C вместо воды с температурой 5°C теплопроизводительность КТАНа подает (при постоянном расходе нагреваемой воды).

Решая представленную систему уравнений, можно получить, что при определенных соотношениях изменения скоростей нагреваемой воды, температура её может превысить температуру мокрого термометра, составляющую для дымовых газов, образующихся при сжигании природного газа, $\sim 56 + 60^\circ\text{C}$.

903-01-258.87

Лист
109

Однако необходимо помнить, что температура нагреваемой в КТАНе воды ограничивается температурой мокрого термометра. Система уравнений этого факта не учитывает, поэтому действительная температура нагреваемой воды будет в этих случаях ниже, чем получаемая в результате расчёта. Увеличение расхода нагреваемой воды (по сравнению с расчётным значением) позволяет уменьшить падение теплопроизводительности КТАНа при подаче воды с температурой 20°C. При увеличении расхода воды в два раза теплопроизводительность КТАНа останется равной расчётной, однако при этом наблюдается падение выходной температуры нагреваемой воды.

Полученные результаты, представленные на графиках, позволяют оценить возможный диапазон изменения теплопроизводительности КТАНов и значений выходных параметров теплоносителей в КТАНах-utiлизаторах, во-первых, при установке КТАНов для работы с отличающимися от расчётных значениями входных параметров теплоносителей, и, во-вторых, при изменении режима работы, КТАНов в процессе эксплуатации.

903-01-258.87

Лист
170

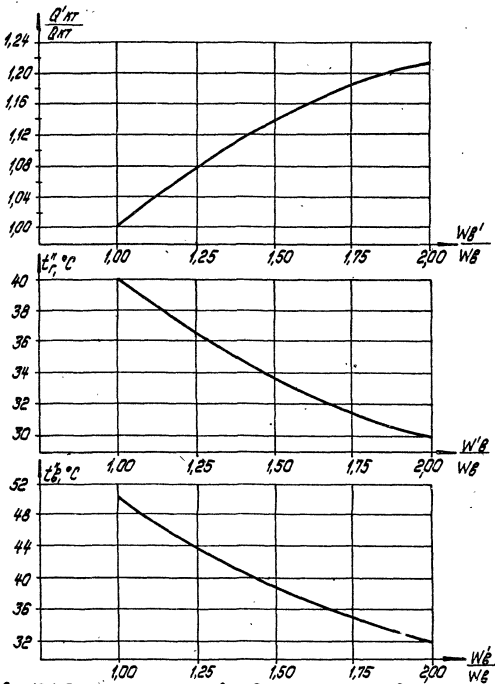


Рис.10.1. Графики изменения выходных параметров теплоносителей при изменении скорости нагреваемой воды в ктаке-утилизаторе при постоянном расходе вымывых газов.

903-01-258.87

Лист

171

22987-01 177 Формат А4

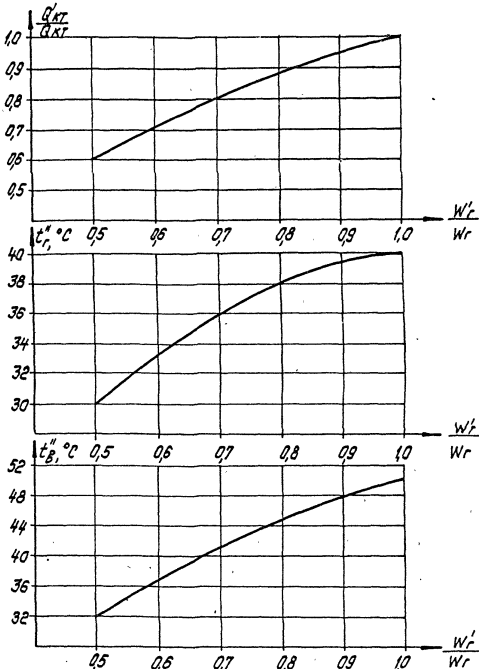


Рис.10.2. Графики изменения выходных параметров теплоносителей при изменении скорости вымывых газов в КТАНе-утилизаторе при постоянном расходе нагреваемой воды

903-01-258.87

Лист
172

копиробот Фурбова

Формат А4 22967-01

Альбом 1

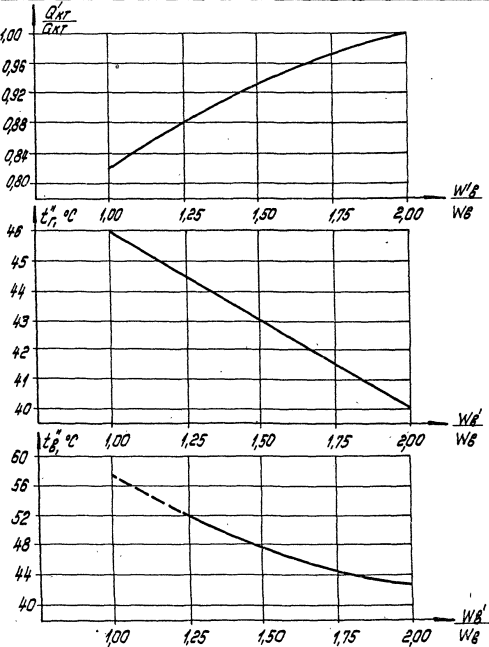


Рис. 10.3. Графики изменения выходных параметров теплообменников при изменении расхода нагреваемой воды (ходовая температура нагреваемой воды $t'_B = 20^{\circ}\text{C}$) при постоянном расходе вымывых газов

Черт. №	Проверка	Подпись	Проверка	Проверка

903-01-258.87

22967-01 179 Формат А4

11

II. ЛИТЕРАТУРА

903-01-258.87

Лист
I74

Формат А4 22967-01 180

- I. "Методика расчёта тепловых схем водогрейных котельных", Латгипропром, Рига, 1980.
2. Кругов В.Б., Шестаков Н.С. и др. "Теплоэнергетика", 1979, № II.
3. Павлов В.А. "Снижение содержания окислов азота в уходящих газах энергетических установок", трубы ЦКТИ вып.151, Ленинград, 1977.
4. "Основные положения по использованию ВЭР и сбросного тепла в схемах теплоснабжения", Латгипропром, Рига, 1985.
5. Гольдин Ш.Л., Медная С.В. в сб.: "Очистка водного и воздушного бассейнов на предприятиях черной металлургии", "Металлургия", М., 1972.
6. Кисин Д.А., Сахарцева В.П., Приходько В.П. "Промышленная и санитарная очистка газов", 1981, № I.
7. Лебедюк Г.К., Вальдберг А.Ю. и др. "Каплеуловители и их применение в газоочистке". Обзорная информация. ЦНИИХИМНЕФТЕМАШ, 1974.
8. Сорокин Ю.Л., Демидова Л.Ч., Кузьмин Н.П. "Химическое и нефтяное машиностроение", 1968, № 8.
9. "Тепловой расчёт котельных агрегатов" (нормативный метод), "Энергия", М., 1973.
10. "Аэродинамический расчёт котельных установок" (нормативный метод), Ленинград, 1977.
- II. Дегтярев Н.В., Барков Б.В. и др. "Кондиционирование воздуха", М., 1953.
12. "Гидравлический расчёт котельных агрегатов" (нормативный метод), М., "Энергия", 1978.

№ подп.	Исп. № подп.
Подпись и дата	Взам. ини.

903-01-258.87	Пист
22967-01. 18/Формат А4	175

- I3. Лебедев П.Д., Щукин А.А. "Теплоиспользующие установки промышленных предприятий", М., "Энергия", 1970.
- I4. "Примеры расчётов по гидравлике", М., Стройиздат, 1977.
- I5. Лебедев П.Д. "Теплообменные сушильные и холодильные установки", М., "Энергия", 1972.
- I6. Шишков И.А. и др. "Дымовые трубы энергетических установок", М., "Энергия", 1976.
- I7. Аронов И.З. "Контактный нагрев воды продуктами сгорания природного газа", Ленинград, "Недра", 1978.

903-01-258.87	ПИСТ I76
---------------	-------------

Копировано

Формат А4 22967-04

ПРИЛОЖЕНИЕ I

КАРДЕУЛАВЛИВАНИЕ В КТАНах

903-QI-258.87

Пись
177

Копировано

22967-01 183 Формат А4

В контактных теплообменниках с активной насадкой, использующих жидкость для срощения насадки, возникает проблема отделения капельной влаги за насадкой от дымовых газов.

Для разделения двухфазных потоков, где одной из фаз является жидкость, используются несколько механизмов осаждения, в частности, гравитационный, центробежный, диффузионный и электростатический.

Процесс брызгоуноса в сепараторах определяется характером взаимодействия между жидкостью и газом. При достижении определенных критических параметров, режим работы сепараторов может резко нарушаться. Возникают такие явления, как вторичный унос уже осевшей жидкости, разрушение пленочного течения и др.

Во всех этих процессах нарушение устойчивости происходит при достижении газом некоторой критической скорости, которая зависит от характера процесса, физических свойств взаимодействующих сред, а также от геометрических размеров и формы аппарата.

При конструировании сепарационного устройства для КТАнов к нему предъявлялись следующие требования:

- высокая улавливающая способность;
- небольшое значение аэродинамического сопротивления;
- компактность;
- небольшая стоимость.

Попытки использовать для КТАнов простейшие известные конструкции сепараторов, такие как осадительная камера, в основе которой лежит гравитационный принцип каплеулавливания, или центробежные сепараторы типа циклонов - не увенчались успехом из-за больших габаритных размеров этих видов сепараторов и трудностей компоновки орошающего устройства и активной насадки с таким сепаратором.

903-01-258.87	ГИСТ
	178

Исследования работы сепараторов в различных технологических установках показывают, что в ряде случаев сепараторы работают недостаточно эффективно по следующим причинам:

- ~ начальное влагосодержание газового потока превышает допустимое значение, необходимое для эффективной работы сепаратора;
- ~ диаметр капель, поступающих в каплеуловитель, изменяется в большом диапазоне, то есть имеется достаточно большое количество капель, диаметр которых меньше допустимого для данного сепаратора.

Аналогичное положение наблюдается при работе КТАнов. Размер капель воды, содержащейся в удаляемых дымовых газах, колеблется в широких пределах, что связано со сложным механизмом тепломассообмена, происходящим в КТАНе. С одной стороны в КТАНе происходит частичное испарение воды, распыливаемой форсунками, а с другой стороны - конденсация водяных паров из дымовых газов.

Испытания первых образцов КТАнов показали, что одноступенчатый сепаратор не обеспечивает требуемую эффективность работы, поэтому в окончательном варианте для КТАНа принят двухступенчатый сепаратор.

Первая ступень сепарации используется для грубого отделения капель и предназначается для снижения начальной влажности второй ступени. Во второй улавливаются капли меньших размеров.

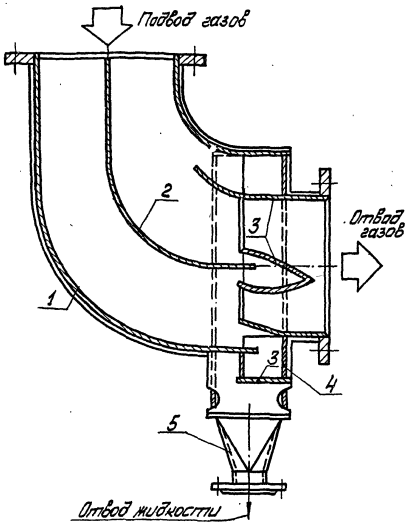
В качестве первой ступени используется коленный сепаратор, одна из его модификаций показана на рисунке II-1.

В коленном сепараторе капельная влага из газа сепарируется под действием центробежных сил и, двигаясь по вогнутым поверхностим лопаток, стекает в лотки, откуда отводится в сливной патрубок.

903-01-258.87

Лист

179



- 1 - корпус; 2 - лотка; 3 - сливные краны;
 4 - трубы для сбора уловленной жидкости;
 5 - устройство для вывода жидкости.

Рис. П-1. Каленный сепаратор

903-01-258.87

Маст
180

Копировано Марк

Формат А4 22967-01

На данном сепараторе проводились эксперименты /5/ при осевых скоростях газового потока $4 + 25$ м/с и удельном количестве капельной жидкости $0,05 + 2,0$ л/м³ газа. При этом среднемедианный размер капель в потоке оценивался в пределах от 60 до 100 мкм.

Исследования показали, что основная часть капель улавливается в нижней и средней секциях каплеуловителя (соответственно 30 и 60% от общего количества), причем капли практически оседают только на вогнутых поверхностях. После установки бункера и влагоотбойного щитка удалось предотвратить вторичный унос и поднять эффективность сепарации с 70 до 95%.

При применении данного сепаратора Латгипропром отказался от верхней лопатки и бункера и изменил конструкцию сливного устройства. Эти изменения приводят к незначительному ухудшению эффективности каплеулавливания сепаратора, но значительно упрощают его конструкцию.

В качестве второй ступени сепарации применен вертикальный жалюзийный сепаратор см. рисунок П-2. В жалюзийных сепараторах применяется инерционный способ каплеулавливания:

при резком изменении направления движения газового потока с помощью жалюзи капли под воздействием инерционной силы стремятся двигаться в прежнем направлении, что позволяет в дальнейшем выделить их из газового потока.

При анализе технико-экономических показателей каплеуловителей /6/ установлено, что инерционные сепараторы имеют самые низкие приведенные затраты. Кроме того, инерционные сепараторы компактны, имеют небольшое аэродинамическое сопротивление, просты в изготовлении.

903-01-258.87

Лист

181

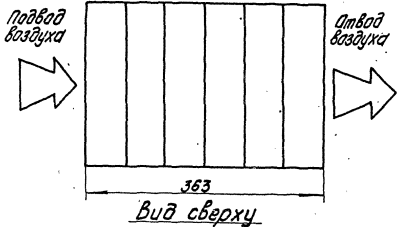


Рис. П-2. Железный сепаратор

903-01-258.87

180
182

В вертикальных жалюзийных сепараторах отвод осевшей жидкости пленочный, в отличии от горизонтальных жалюзийных сепараторов, где отвод осевшей жидкости капельный. При капельном отводе жидкости при достижении критической скорости газового потока наблюдается такое явление, как "захлебывание". Критическая скорость в вертикальных сепараторах в сравнении с горизонтальными выше более, чем в 2 раза. (В вертикальных сепараторах при достижении критической скорости газового потока наблюдается разрушение пленочного течения и "вторичный унос" осевшей жидкости /7/).

Величина критической скорости газа для вертикальных жалюзийных сепараторов, установленных в горизонтальном канале, определяется уравнением:

$$V_{kp} = (0,35 \div 0,45) \left[\frac{K_{const} - 1,69 \left(\frac{1-x}{x} \right)^{0,56} \left(\frac{h \cdot t}{b} \right)^{0,25} \frac{1}{\cos \alpha}}{0,4} \right], \text{ м/с (II-I),}$$

где

K_{const} – параметр, характеризующий максимальную нагрузку по газу для конкретных профилей (для волнистых профилей $K=21 + 22$);

X – степень сухости, %;

h, t, b – высота, шаг и развернутая ширина жалюзийных пластин, м;

2α – угол раскрытия профиля.

Данная зависимость справедлива при начальном содержании влаги от 0 до 60%.

Инв. № подп.	Подпись и дата	Взам. инв. №

Лист	903-01-258.87	183
------	---------------	-----

Исследования показывают, что критическая скорость в межжалозийном канале зависит от угла раскрытия аппарата и от радиуса закрутления жалози. Поэтому при выборе жалозийной насадки следует отдавать предпочтение жалози с оптимальным профилем ($2\alpha = 90^\circ$, $q/v \approx 0,6 + 1,0$ или $2\alpha = 120^\circ$, $q/v \approx 0,1$).

Латгипропром остановился на жалозийной насадке углового профиля $2\alpha = 120^\circ$, $q/v \approx 0,1$.

На рисунке II-3 показан двухступенчатый сепаратор, примененный в КТАНах.

Вода, уловленная на вогнутых листах центробежного углового сепаратора первой ступени, стекает в желоба, из которых трубами отводится в поддон сепаратора. После углового сепаратора дымовые газы поворачивают на 180° и попадают в сепаратор II ступени, где происходит улавливание более мелких кепель. Сепаратор II ступени — вертикальный инерционный жалозийный сепаратор углового профиля.

При вычислениях по формуле II-1 критическая скорость в вертикальном жалозийном сепараторе равна 10 м/с , но, принимая во внимание неравномерность распределения поля скоростей в сепараторе, а также, основываясь на данных /8/, решено ограничить возможную среднюю скорость в сепарационном устройстве КТАН до 6 м/с .

Эффективность жалозийного сепаратора определяется по формуле:

$$\eta = 1 - \exp \left(\frac{0,0174 \alpha_k^2 \rho_{ж} \cdot V_0 \cdot \sum \alpha}{18 \mu g \cdot b} \right) \quad (\text{II-2}),$$

где

$\sum \alpha$ — сумма углов поворота, $\sum \alpha = 270^\circ$;

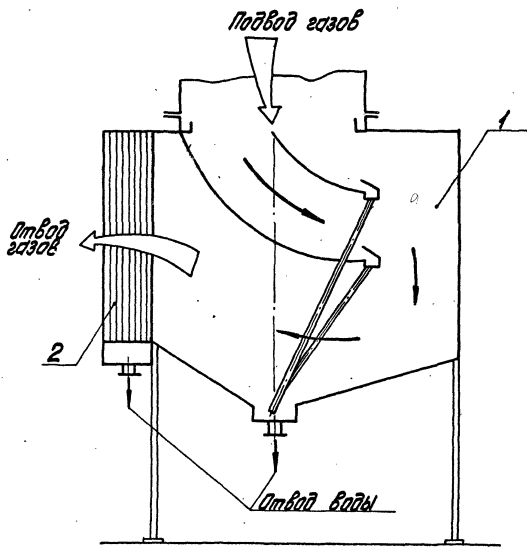
b — расстояние между соседними жалози, $b = 0,029 \text{ м}$;

Инв. № подачи Порядок и Азот Влад. инв. №

903-01-258.87

Лист

184



1 - коленный центробежный сепаратор;
 2 - жалюзиный вертикальный инерционный сепаратор.

Рис. П-3. Двухступенчатый сепаратор

903-01-258.87

22967-01 191 Формат А4

d_k - диаметр, улавливаемых капель, м;

ρ_k - плотность капель, кг/м³, при $t = 40^{\circ}\text{C}$, $\rho_k = 1000 \text{ кг/м}^3$;

v_b - скорость в сепараторе, м/с;

μ_r - динамическая вязкость газового потока, при $t = 40^{\circ}\text{C}$

$\mu_r = 16,10^{-3} \text{ нс/м}^2$.

Выполненные в формуле Н-2 расчёты показывают, что при диаметре капель $d_k = 50\text{--}100 \text{ мкм}$ и скоростях газового потока $v_b = 4\text{--}6 \text{ м/с}$, эффективность жалюзийного сепаратора приближается к 100%. При меньшем диаметре капель эффективность сепаратора падает.

Форсунки орошающего устройства КТАНа обеспечивают распыливание воды со средним диаметром капель 200-250 мкм, значительно превышающим диаметр капель, при котором сепаратор обеспечивает на-дёжное отделение капельной влаги от газового потока, то есть можно сделать вывод, что разработанная конструкция двухступенчатого сепарационного устройства КТАНа позволяет достичь высокой эффективности в удалении орошающей воды и образовавшегося конденсата из дымовых газов.